



Tests experimentales de la Relatividad General:

Die Feldgleichungen der Gravitation.

¿Tenía razón Einstein 100 años después?

Carlos Fernández Sopuerta

Instituto de Ciencias del Espacio (CSIC-IEEC)

sprechen, d. h. die in ihrer allgen

Índice

- 1. Perspectiva Histórica
 - i) Génesis (1887-1919)
 - ii) Glaciación (1920-1960)
 - iii) Edad de Oro (1960-1980)
 - iv) Hacia la Gravedad Extrema (1980-)
- 2. Perspectiva Contemporánea
- 3. Las Ondas Gravitatorias: Intentando "escuchar" el Universo
- 4. Conclusiones

Perspectiva Histórica

• El Génesis de la Relatividad General consiste en el conjunto de experimentos y observaciones anteriores e inmediatamente posteriores a la formulación de la teoría y también a los desarrollos teóricos que facilitaron que completada en 1915.

- El Génesis de la Relatividad General consiste en el conjunto de experimentos y observaciones anteriores e inmediatamente posteriores a la formulación de la teoría y también a los desarrollos teóricos que facilitaron que completada en 1915.
- Los experimentos y observaciones incluyen: El experimento de Eötvös (>1885), el experimento de Michelson-Morley (1887), la observación del avance del perihelio de Mercurio, y la desviación de la luz al pasar cerca de cuerpos masivos.

- El Génesis de la Relatividad General consiste en el conjunto de experimentos y observaciones anteriores e inmediatamente posteriores a la formulación de la teoría y también a los desarrollos teóricos que facilitaron que completada en 1915.
- Los experimentos y observaciones incluyen: El experimento de Eötvös (>1885), el experimento de Michelson-Morley (1887), la observación del avance del perihelio de Mercurio, y la desviación de la luz al pasar cerca de cuerpos masivos.
- Los desarrollos teóricos van desde la formulación de la Relatividad Especial (1905) a los resultados que Einstein fue deduciendo y que fueron previos a la formulación de las ecuaciones de campo [principio de equivalencia, corrimiento al rojo gravitatorio, desviación de la luz (factor de 2 incorrecto), arrastre sistemas de referencia, efectos gravito-magnéticos].



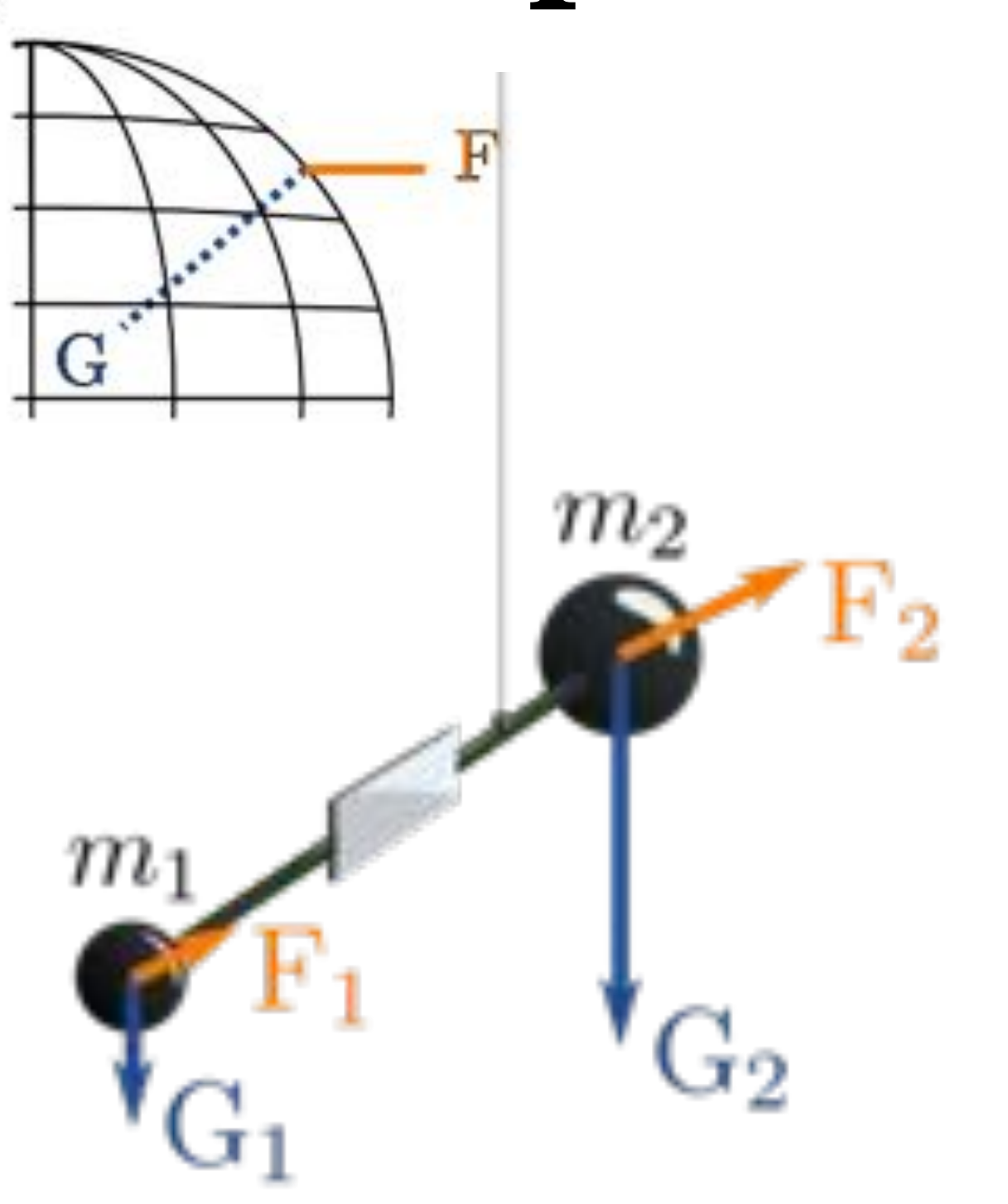


Comprobando la equivalencia entre la masa inercial y la gravitatoria.



Comprobando la equivalencia entre la masa inercial y la gravitatoria.

Hay algunos antecedentes (Newton, Bessel,...) pero los de Eötvös y discípulos (>1885) iniciaron el camino a los experimentos modernos sobre esta cuestión.

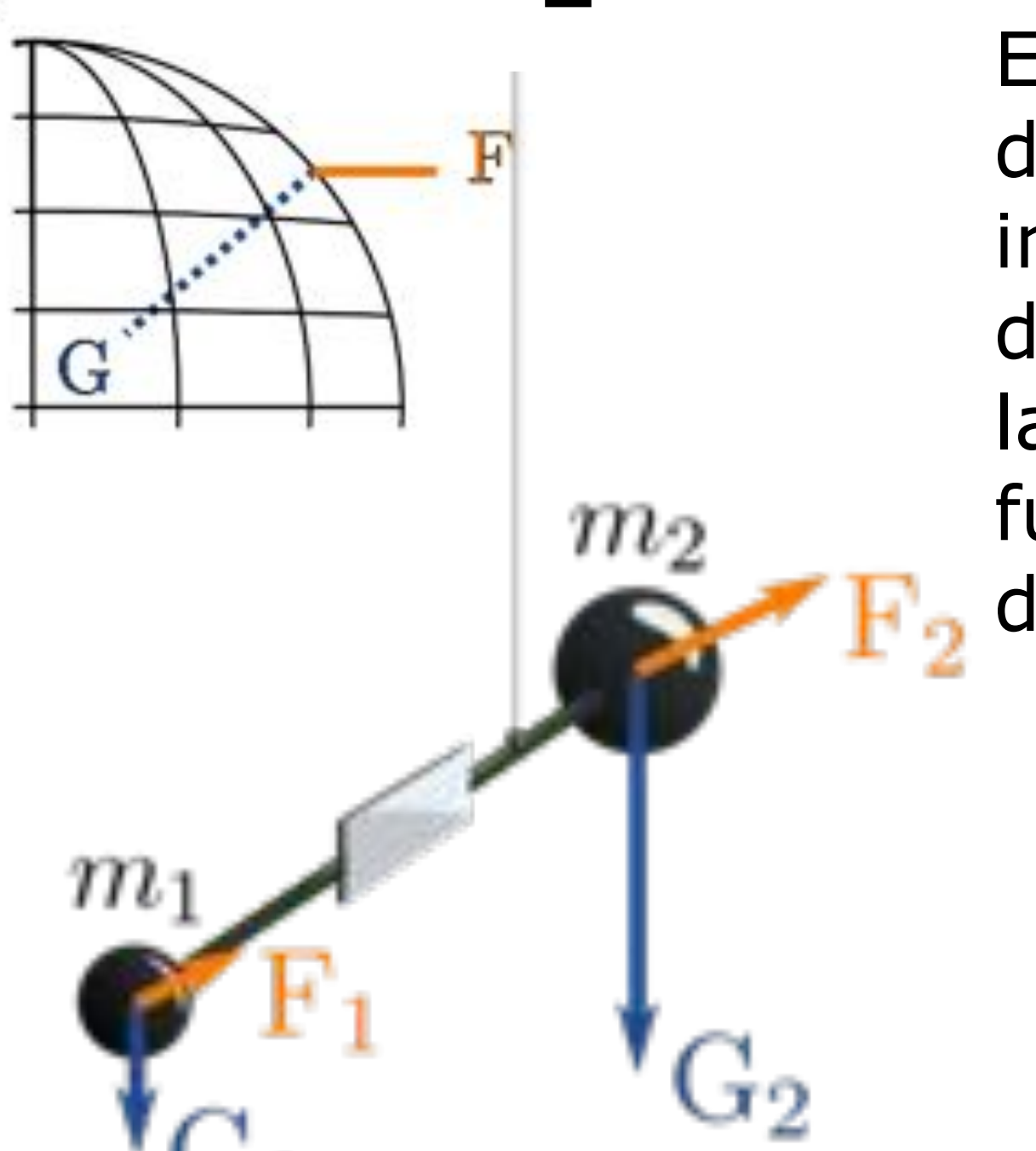


$$\eta \equiv 2 \frac{|a_1 - a_2|}{|a_1 + a_2|} = \left[\frac{m_g}{m_i}\right]_1 - \left[\frac{m_g}{m_i}\right]_2$$

Razón de Eötvös

$$\eta < 10^{-8}$$

El experimento de Eötvös



En el experimento está diseñado de forma que si la masas inerciales y gravitatoria son diferentes la barra rotará debido a la existencia de un momento de fuerza neto (la razón F1/F2 es diferente de la razón G1/G2).

$$\eta \equiv 2 \frac{|a_1 - a_2|}{|a_1 + a_2|} = \left[\frac{m_g}{m_i}\right]_1 - \left[\frac{m_g}{m_i}\right]_2$$

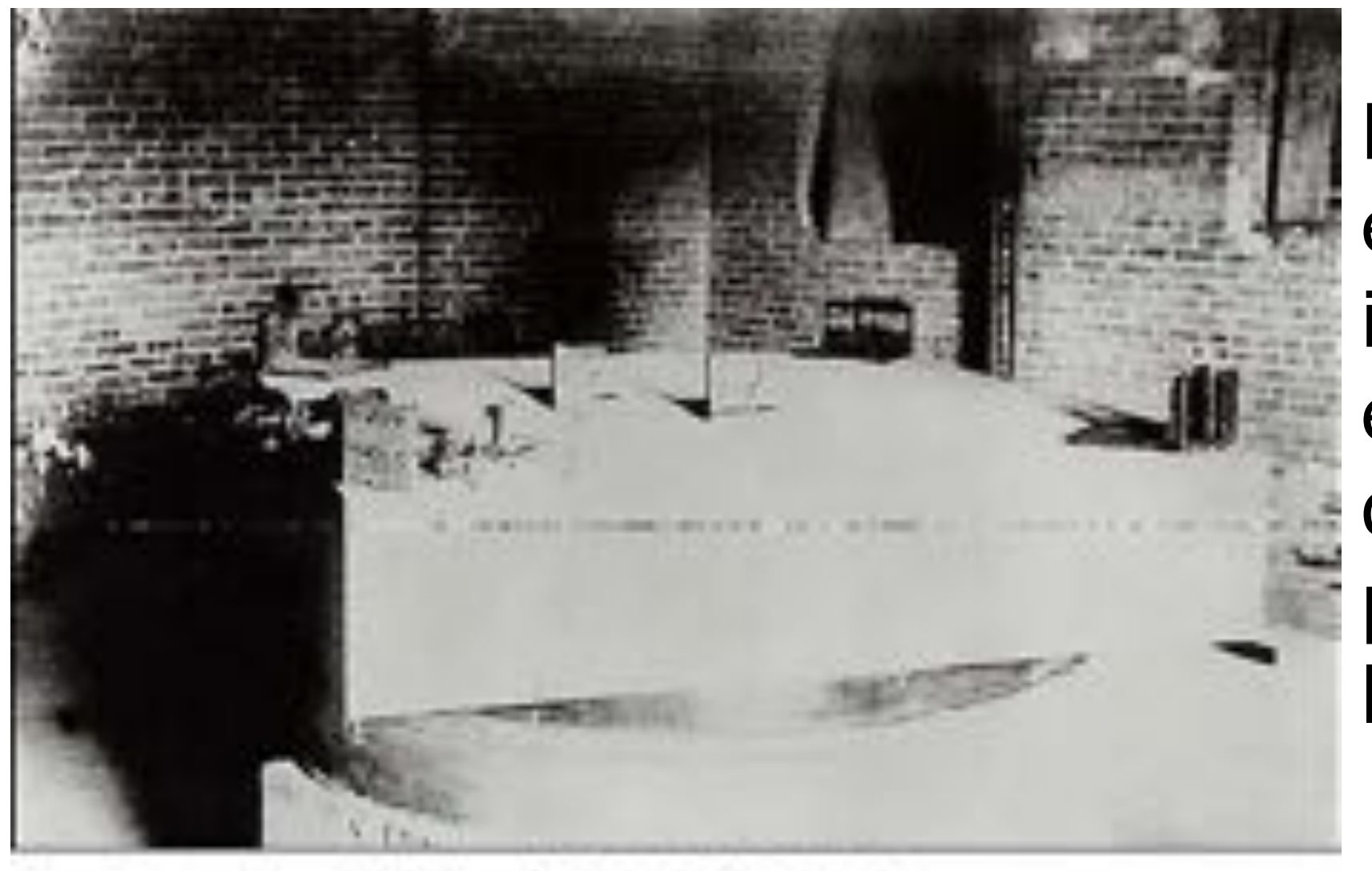
Razón de Eötvös

$$\eta < 10^{-8}$$



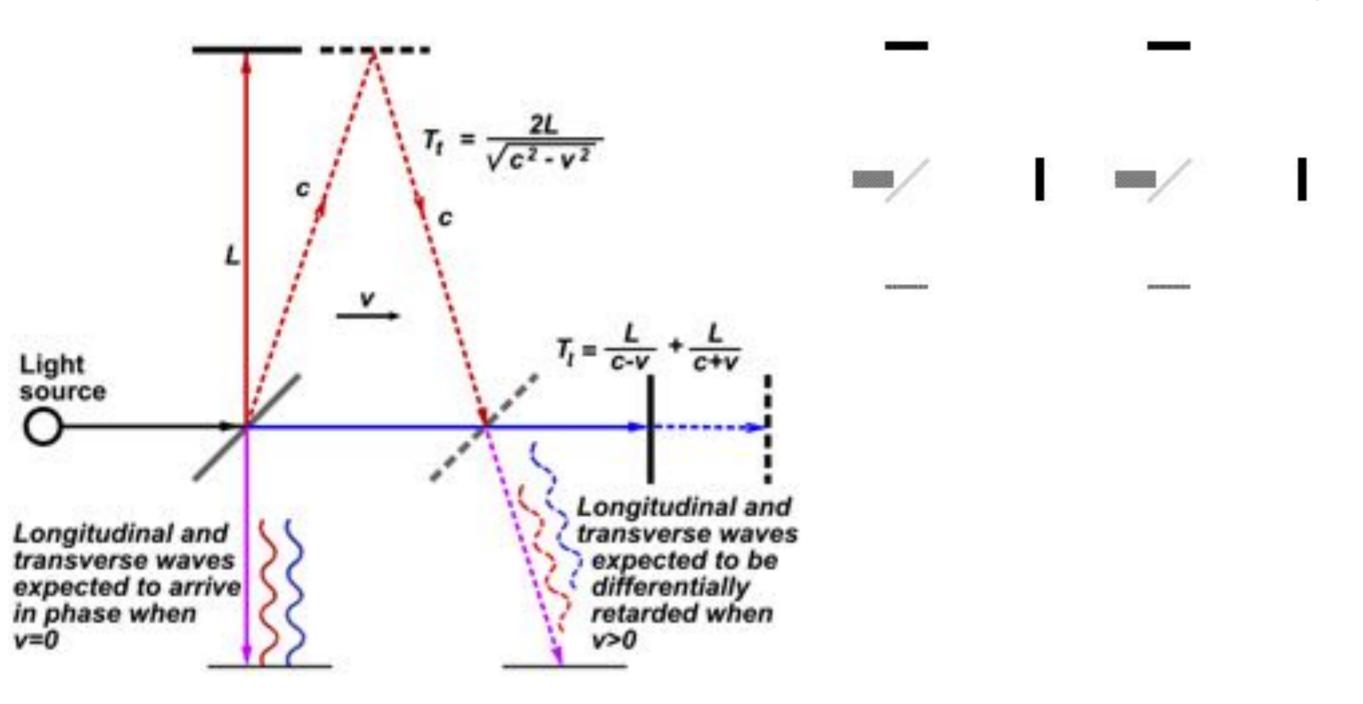
Michelson & Morley's 1887 interferometer built in the basement of Western Reserve Photo: Case Western Reserve Archive

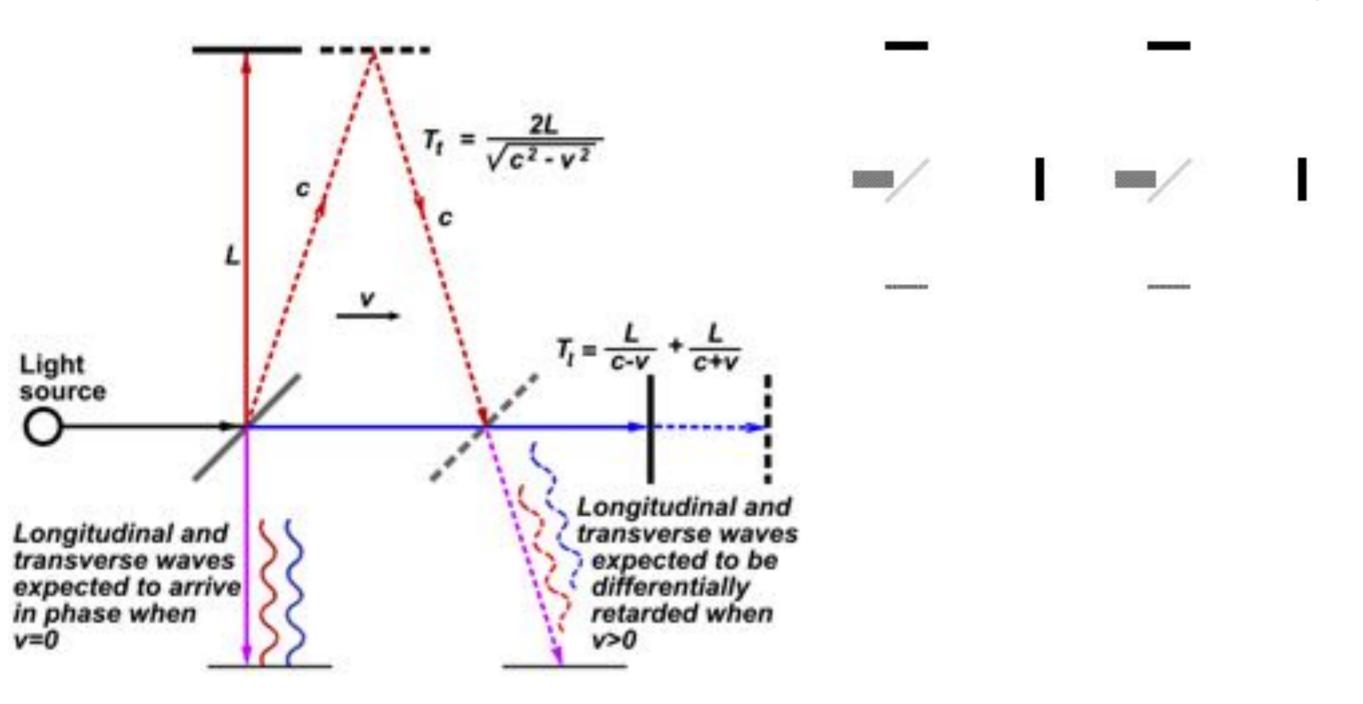
El experimento de Michelson-Morley

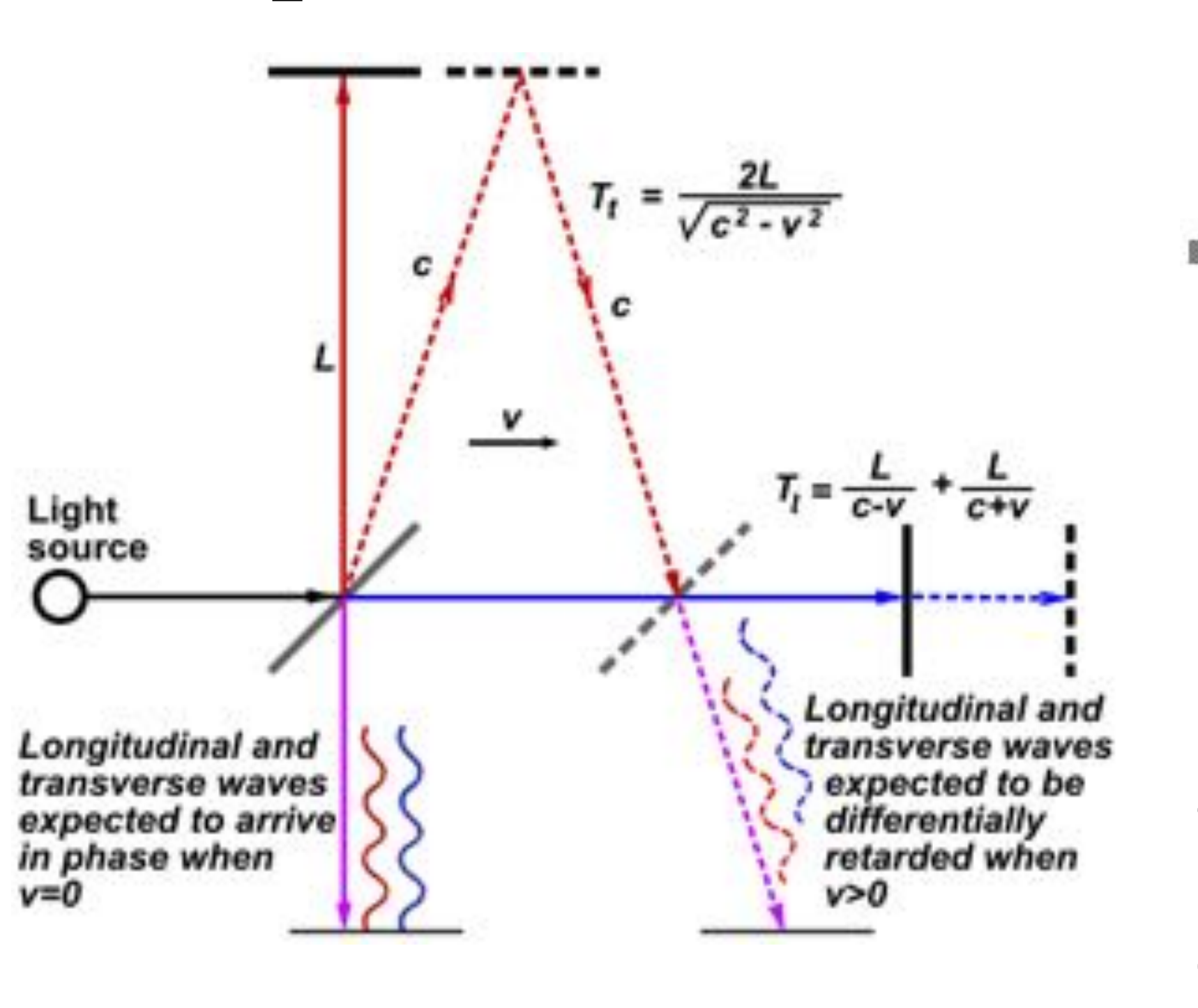


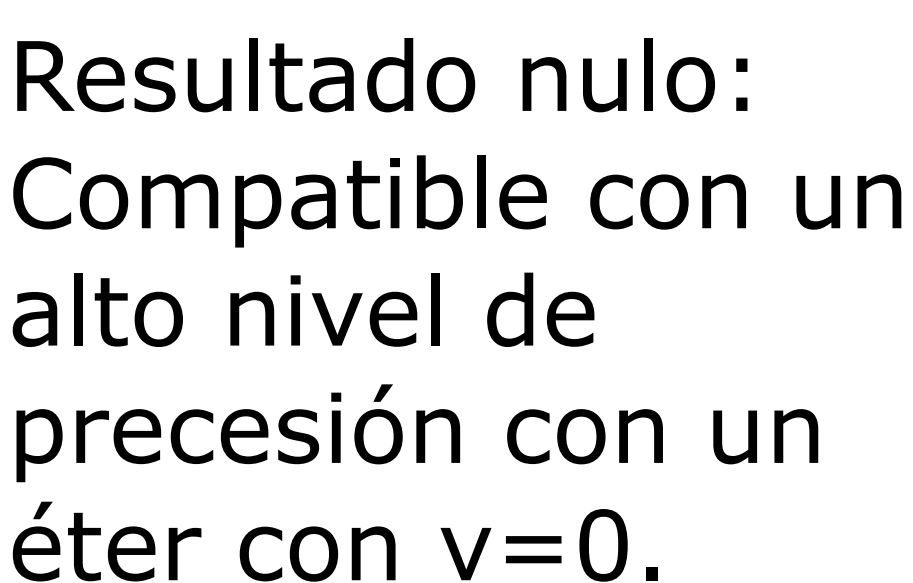
Michelson & Morley's 1887 interferometer built in the basement of Western Reserve Photo: Case Western Reserve Archive

El objetivo de estos experimentos era intentar detectar efectos de arrastre del éter en la propagación de la luz.

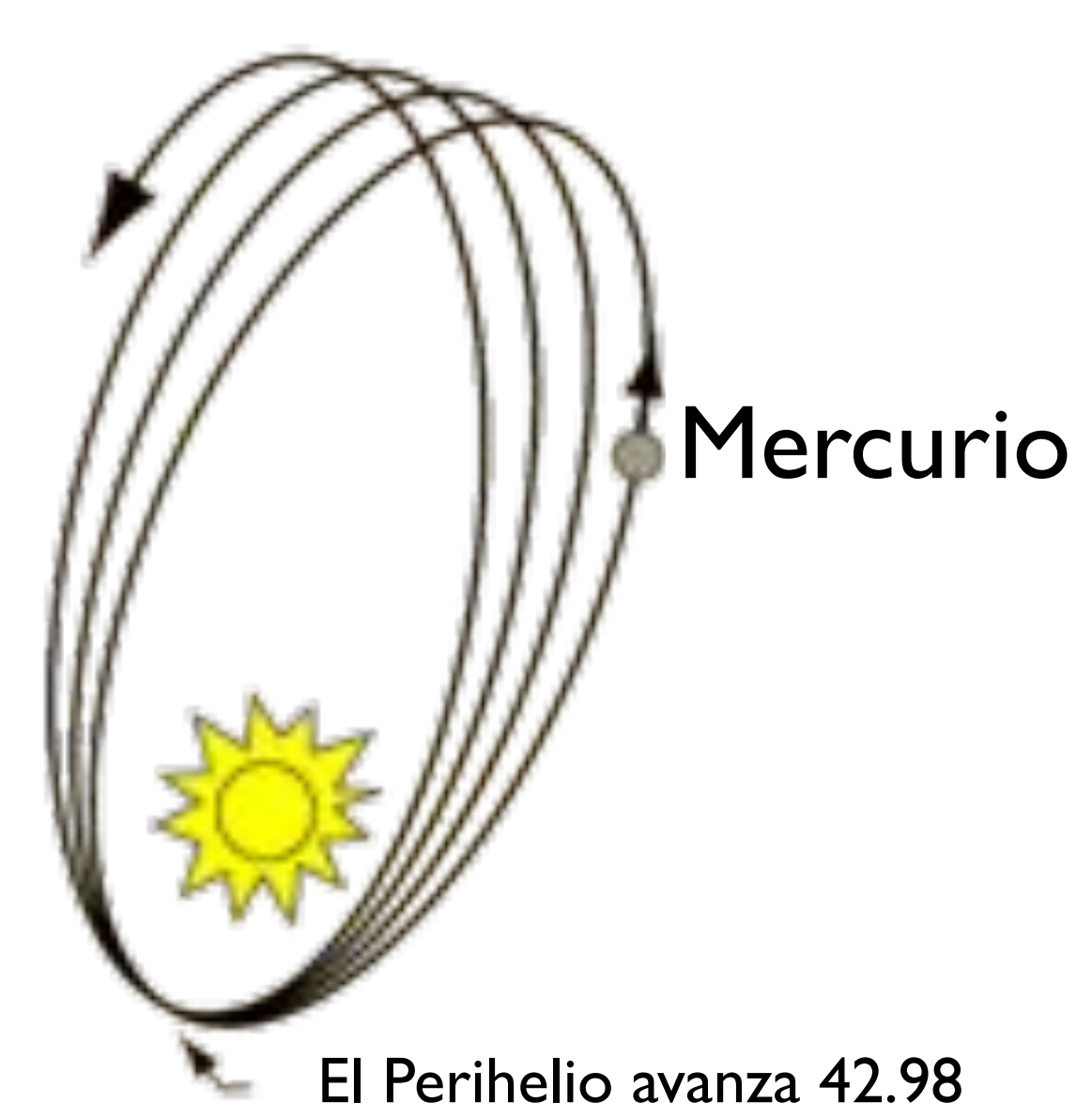








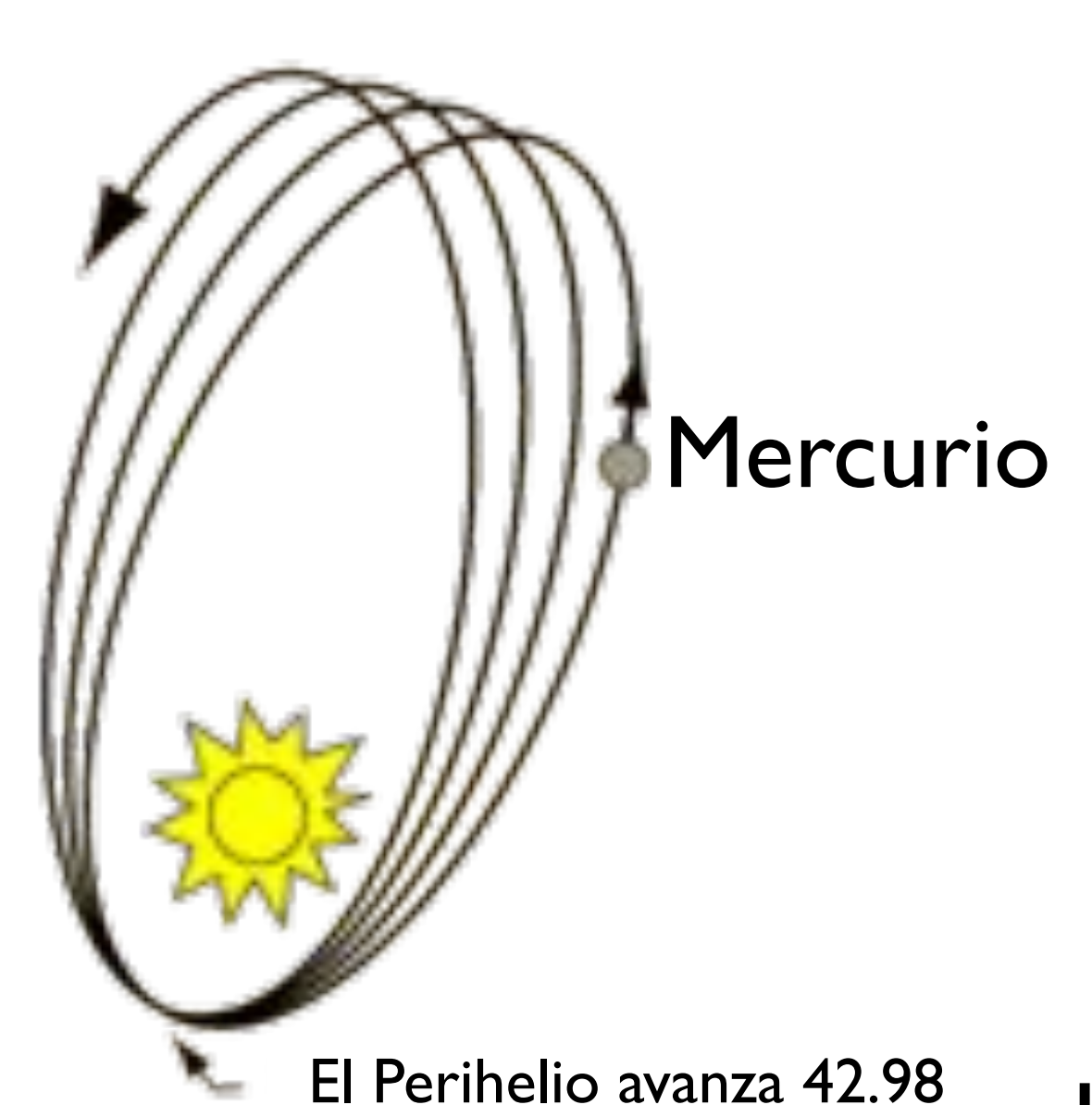
Génesis (1887-1919) El avance del perihelio de Mercurio



segundos de arco por siglo

Le Verrier (1859)

El avance del perihelio de Mercurio



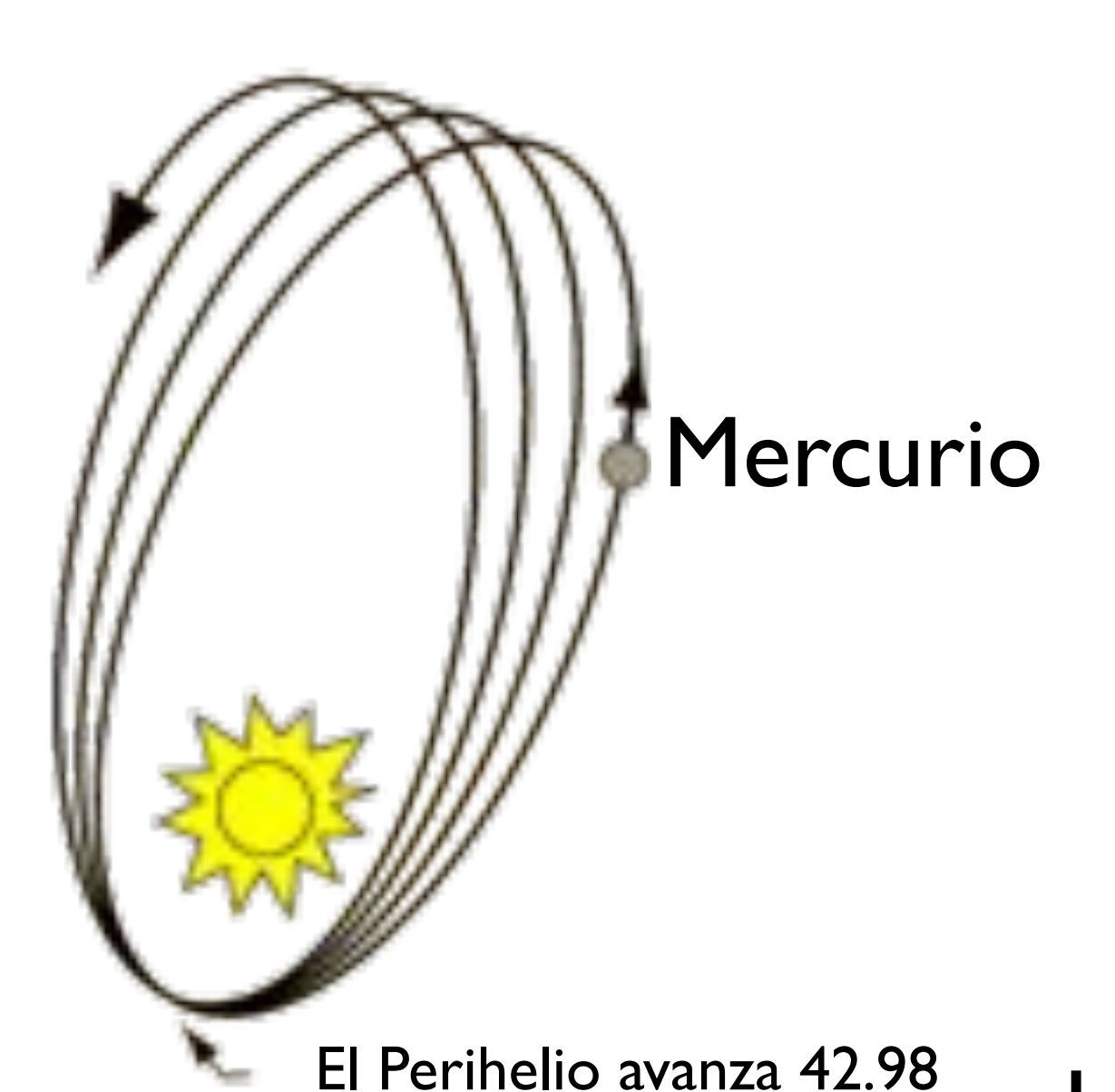
segundos de arco por siglo

Los 42.98 segundos de arco por siglo es el avance anómalo, no explicable por el efecto de otros planetas.

Le Verrier (1859)

10

El avance del perihelio de Mercurio



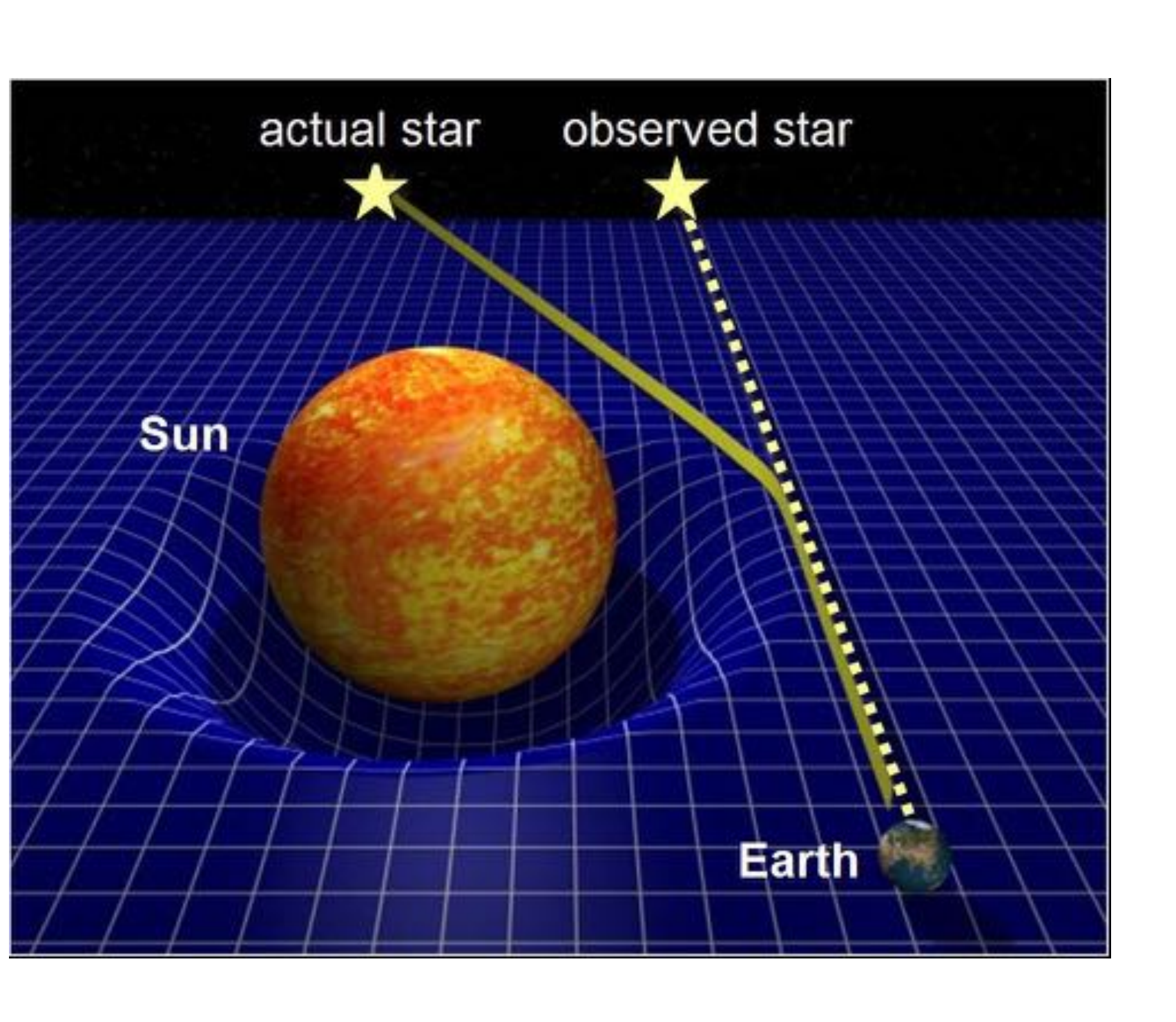
segundos de arco por siglo

Los 42.98 segundos de arco por siglo es el avance anómalo, no explicable por el efecto de otros planetas.

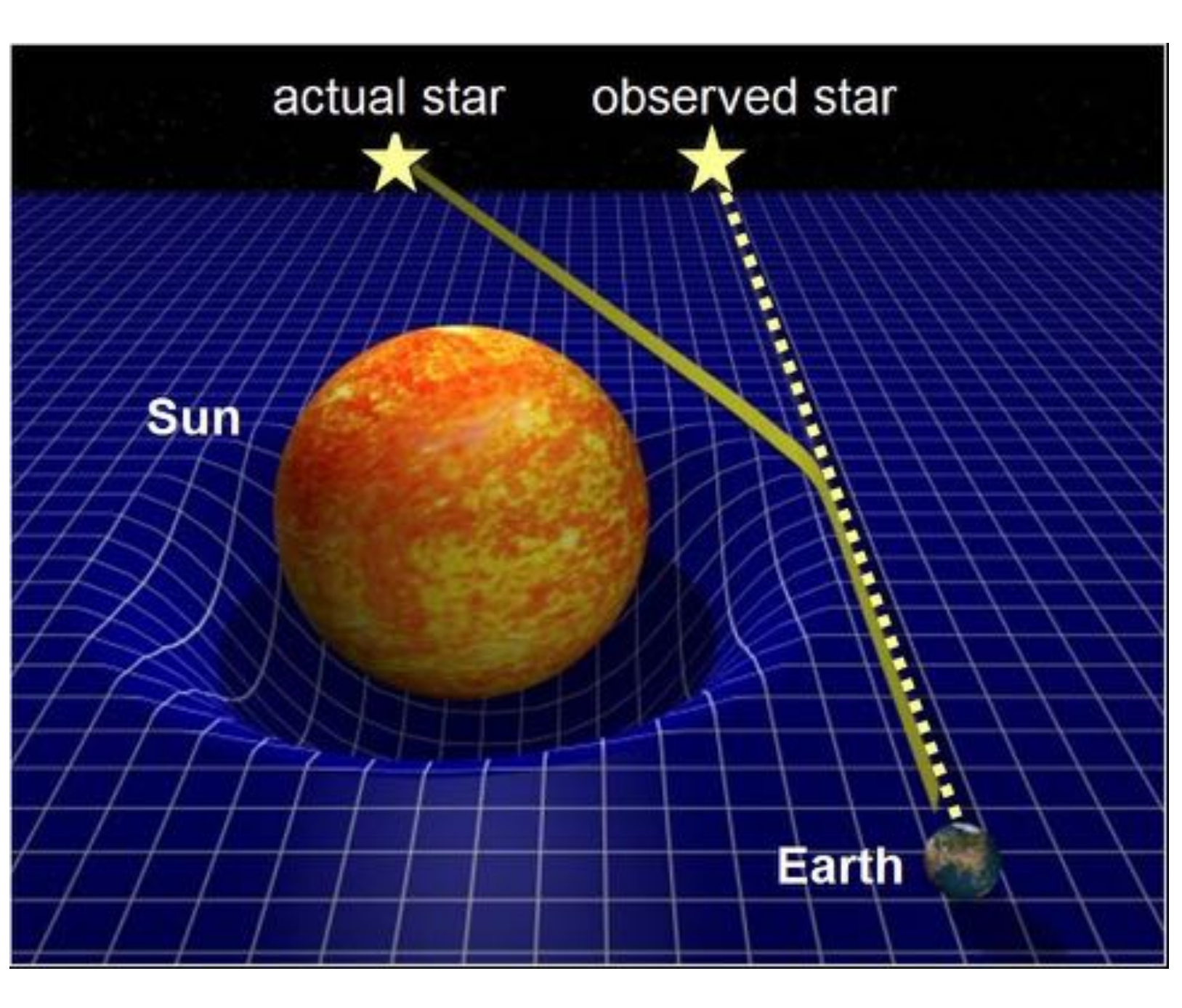
Einstein conocía el problema y demostró que la Relatividad General lo explicaba, constituyendo un gran triunfo para la teoría.

Le Verrier (1859)

La desviación de la luz por cuerpos masivos



La desviación de la luz por cuerpos masivos



La predicción de la Relatividad General sobre el ángulo de deflexión es el doble que la obtenida mediante argumentos newtonianos o puramente basados en el principio de equivalencia.

La desviación de la luz por cuerpos masivos



La desviación de la luz por cuerpos masivos



Sir Arthur Eddington lideró las expediciones para realizar observaciones durante el eclipe solar de 1919. Hubo dos: Sobral (Brasil) y la Isla del Principe (costa africana).

La desviación de la luz por cuerpos masivos



Sir Arthur Eddington lideró las expediciones para realizar observaciones durante el eclipe solar de 1919. Hubo dos: Sobral (Brasil) y la Isla del Principe (costa africana).

Los resultados se presentaron en Londres en Noviembre de 1919, confirmando el factor 2 respecto al caso newtoniano.

La desviación de la luz por cuerpos masivos

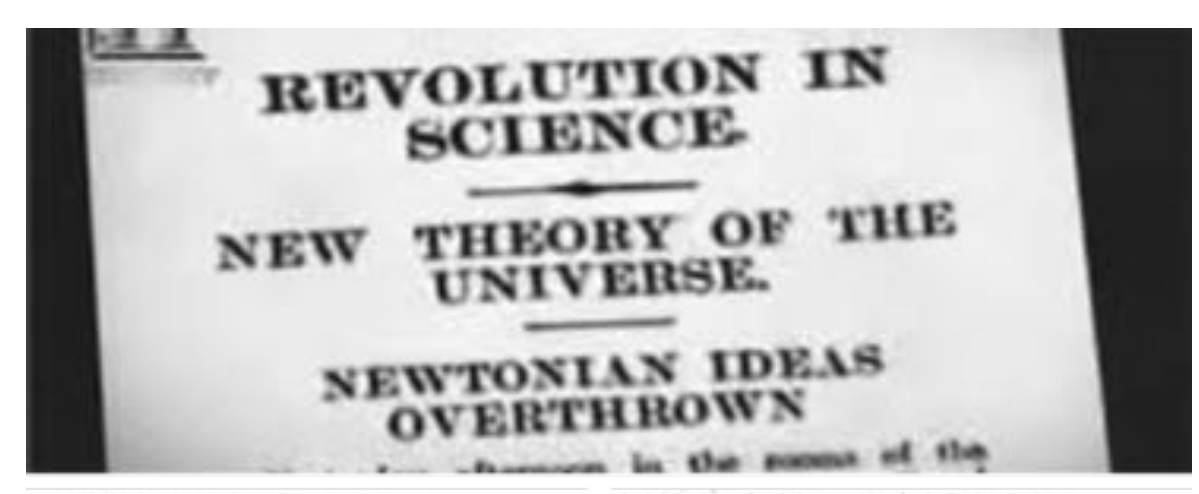


Sir Arthur Eddington lideró las expediciones para realizar observaciones durante el eclipe solar de 1919. Hubo dos: Sobral (Brasil) y la Isla del Principe (costa africana).

Los resultados se presentaron en Londres en Noviembre de 1919, confirmando el factor 2 respecto al caso newtoniano.

No obstante, hubieron dudas sobre estos resultados hasta nuevas mediciones en los años 1960.

La desviación de la luz por cuerpos masivos



LIGHTS ALL ASKEW IN THE HEAVENS

Men of Science More or Less Agog Over Results of Eclipse Observations.

EINSTEIN THEORY TRIUMPHS

Stars Not Where They Seemed or Were Calculated to be, but Nobody Need Worry.

A BOOK FOR 12 WISE MEN

No More in All the World Could Comprehend It, Said Einstein When His Daring Publishers Accepted It.

ECLIPSE SHOWED GRAVITY VARIATION

Diversion of Light Rays Accepted as Affecting Newton's Principles.

The Total Eclipse of 1929 May 29 and the Influence of Gravitation on Light.

The coming octions of the Nan occurs in a region of the sky which is exceptionally rich in bright stars, and for this runson it afferds a very favourable opportunity of investigating the influence of the Sau's attraction on the course of a ray of light. Attention was called by the Astronomer Royal to the importance of this occasion in a paper read before the Royal Astronomical Society in March 1917; and the Joint Parameter Religion Committee has organized two expeditions. The stations selected on the line of totality are Solval in northern Brazil and the island of Principe in the Gulf of Guines; Dr. Cromostin and Mr. Davidson will occupy the former, and Mr. Cottingham and the writer the latter station. In both places totality lasts over 5 minutes. Both expeditions are being equipped together at the Royal Observatory, Greenwich, and will probably leave Royalend about the middle of March. It is intended to concentrate entirely on the one problem of gravitation and light; other ecipes problems can be postponed to a future occasion, but no equally favourable opportunity of measuring the deflection of light will occur for many years.

The prediction which it is boped to confirm or disprove is that

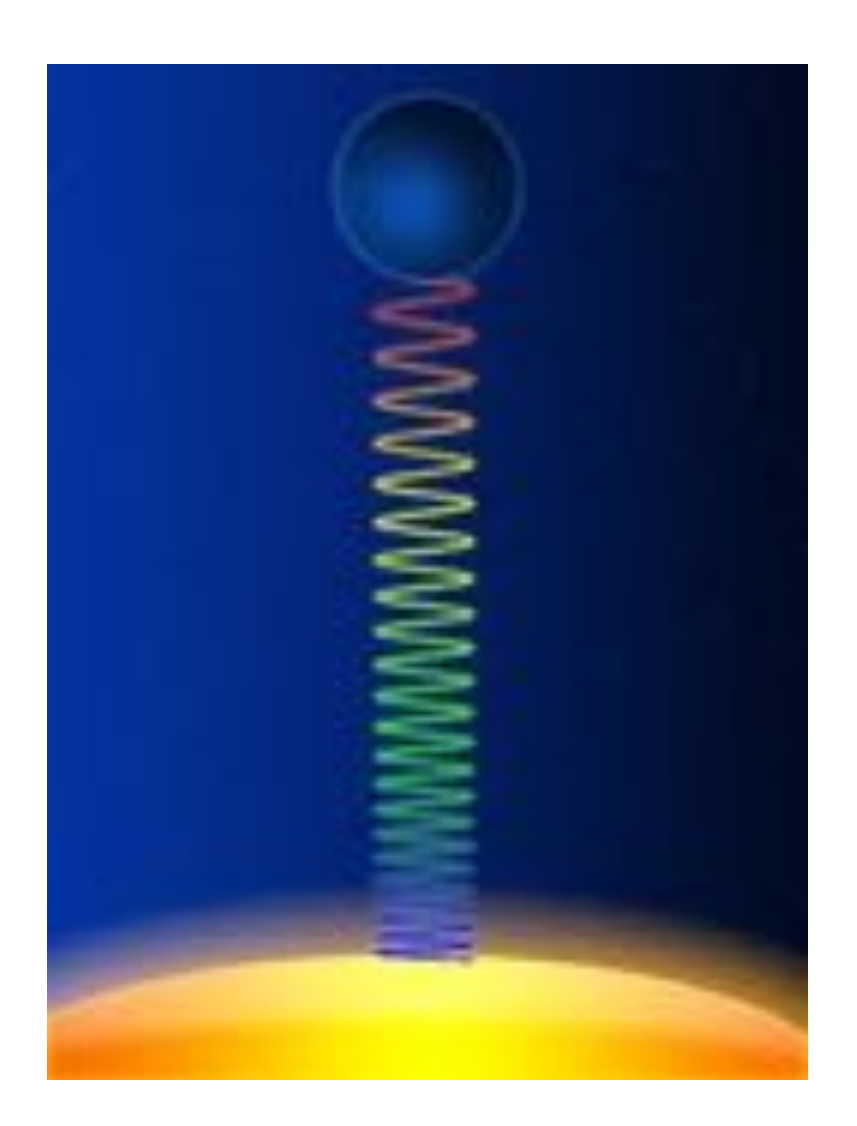
The prediction which it is hoped to confirm or disprove is that a ray of light passing near the Sun will be best, the path being concars to the Sun. It is easily seen that if this is so the star will appear displaced away from the Sun's limb will appear displaced away from the Sun's limb will appear displaced 1"75 from the limb; and for other stars the displacement is inversely proportional to the distance from the Sun's centre. This is the value according to Hinstein's theory, but another less revolutionary hypothesis suggests a deflection of half this amount. It is important that the deflection, if it exists, should be measured sufficiently accountely to discriminate between the different



Esto catapultó a Einstein a la fama mundial.

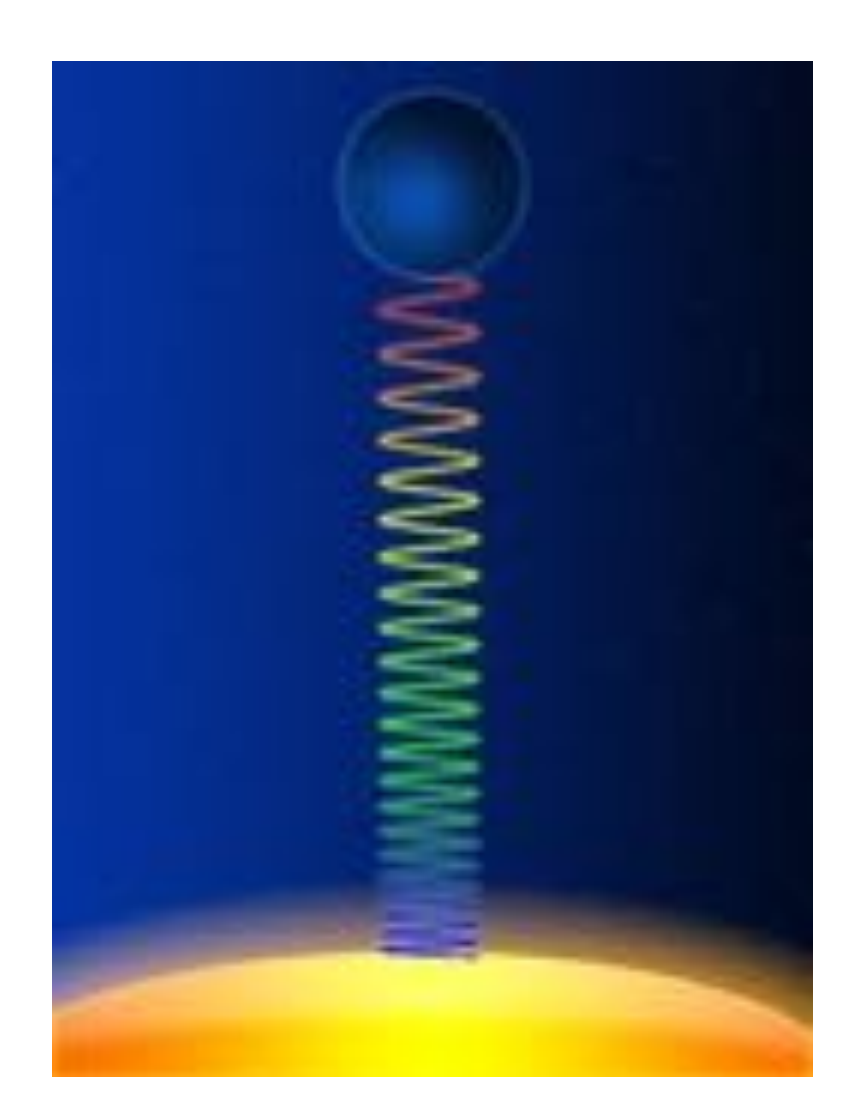
• Dos predicciones de Einstein se quedaron sin confirmación experimental durante muchos años.

• Dos predicciones de Einstein se quedaron sin confirmación experimental durante muchos años.

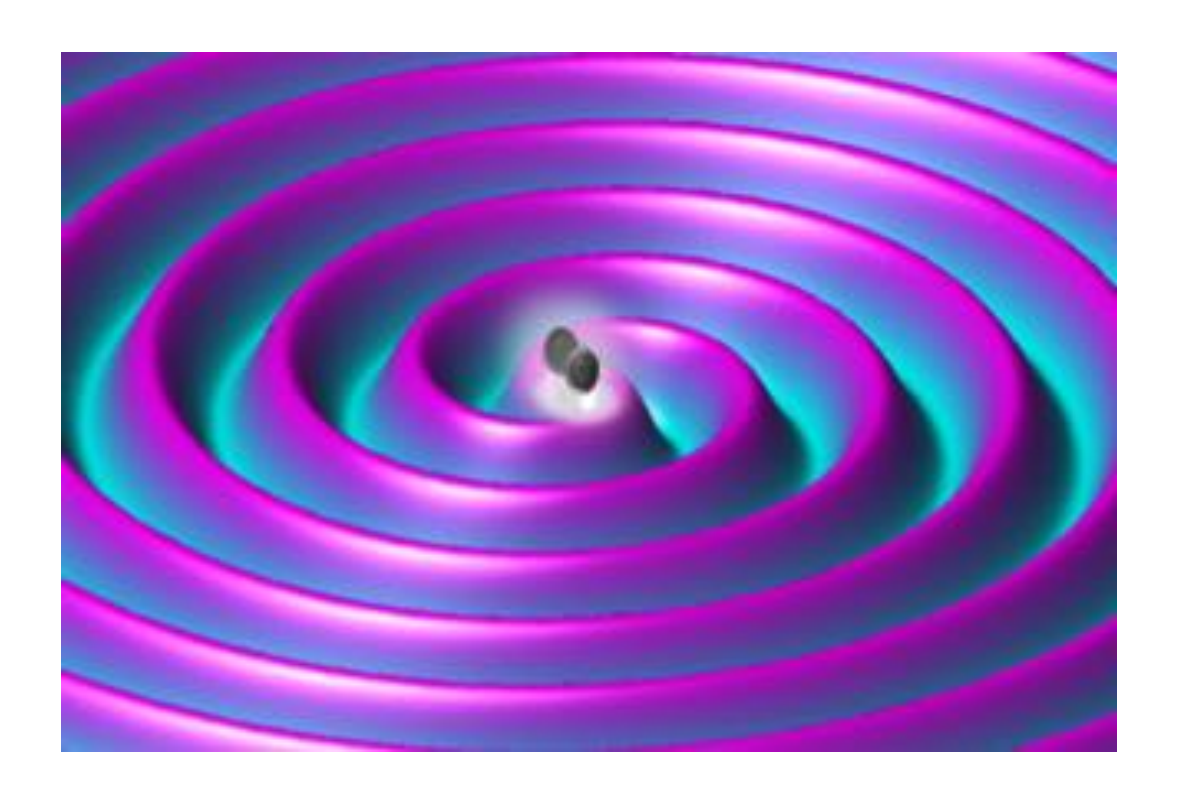


Corrimiento al rojo gravitatorio

• Dos predicciones de Einstein se quedaron sin confirmación experimental durante muchos años.



Corrimiento al rojo gravitatorio



Existencia de las Ondas Gravitatorias (aún sin confirmación *directa*)

15

• La tecnología de la época no permitió el desarrollo experimental del campo.

• La tecnología de la época no permitió el desarrollo experimental del campo.

• Sólo hubo una serie de trabajo teóricos, relegados a las cloacas de la Astronomía y la Física... (C.M.Will, 2014).

• La tecnología de la época no permitió el desarrollo experimental del campo.

• Sólo hubo una serie de trabajo teóricos, relegados a las cloacas de la Astronomía y la Física... (C.M.Will, 2014).

• Como consecuencia de todo esto, el campo se estancó.

Edad de Oro (1960-1980)

Edad de Oro (1960-1980)

It is unfortunate to note that the situation with respect to the experimental checks of general relativity theory is not much better than it was a few years after the theory was discovered - say in 1920. This is in striking contrast to the situation with respect to quantum theory, where we have literally thousands of experimental checks. Relativity seems almost to be a purely mathematical formalism, bearing little relation to phenomena observed in the laboratory. It is a great challenge to the experimental physicist to try to improve this situation; to try to devise new experiments and refine old ones to give new checks on the theory.

It is unfortunate to note that the situation with respect to the experimental checks of general relativity theory is not much better than it was a few years after the theory was discovered - say in 1920. This is in striking contrast to the situation with respect to quantum theory, where we have literally thousands of experimental checks. Relativity seems almost to be a purely mathematical formalism, bearing little relation to phenomena observed in the laboratory. It is a great challenge to the experimental physicist to try to improve this situation; to try to devise new experiments and refine old ones to give new checks on the theory.

Robert H. Dicke (Conferencia de Chapel Hill en 1957 = GR0)

• Una combinación de descubrimientos astronómicos (cuásares, púlsares, fondo de radiación de microondas) y de nuevas tecnologías (relojes atómicos, rastreado laser, criogenia, etc.) puso a la Relatividad General al frente de la investigación en Física.

• Una combinación de descubrimientos astronómicos (cuásares, púlsares, fondo de radiación de microondas) y de nuevas tecnologías (relojes atómicos, rastreado laser, criogenia, etc.) puso a la Relatividad General al frente de la investigación en Física.

• Esta época comienza con el experimento de Pound-Rebka y acaba con el anuncio de que la evolución orbital del primer púlsar binario (Hulse-Taylor) concuerda con la propia de un sistema que emite radiación gravitatoria de acuerdo con la Relatividad General.

El experimento de Pound-Rebka



Laboratorio Jefferson en la Universidad de Harvard (EEUU). El experimento tuvo lugar en la "torre" izquierda.

El experimento de Pound-Rebka



Laboratorio Jefferson en la Universidad de Harvard (EEUU). El experimento tuvo lugar en la "torre" izquierda.

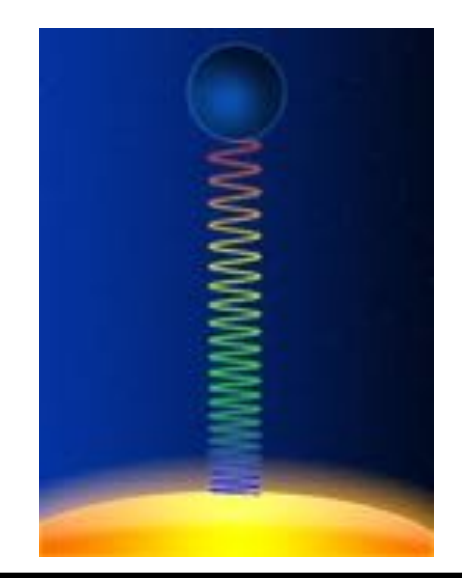
El experimento (1960-1965) midió el cambió en la frecuencia de fotones gamma emitidos por 75-Fe al ascender/descender la torre del Laboratorio Jefferson. La alta precisión que se requiere se logró usando el efecto Mössbauer para producir resonancias estrechas cuyo desplazamiento se puede medir con gran precisión.

El experimento de Pound-Rebka



Laboratorio Jefferson en la Universidad de Harvard (EEUU). El experimento tuvo lugar en la "torre" izquierda.

De esta forma se estableció que la luz que se origina en un campo gravitatorio, su frecuencia disminuye (corrimiento al rojo) al ser observada en un región de campo gravitatorio más débil.



Edad de Oro (1960-1980) El púlsar binario de Hulse-Taylor







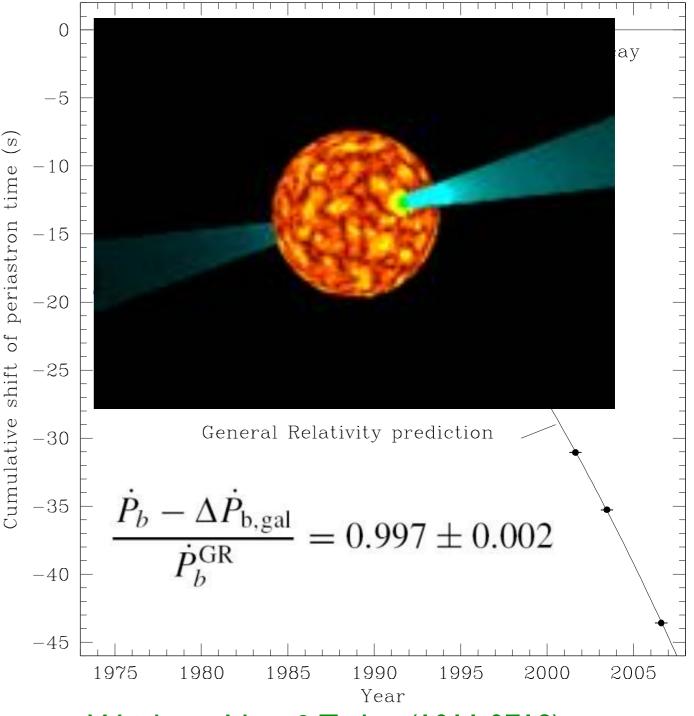


Russell A.
Hulse
Taylor Jr.

PSR B1913+16

1.9 Mill: km

Unsoon
P-59ms
Mc-1.39 M.
Mp-1.44 M.
P-7.8h
0=0.617



Weisberg, Nice & Taylor (1011.0718)
Astrophysical Journal, **722**, 1030-1034 (2010)

Edad de Oro (1960-1980) El púlsar binario de Hulse-Taylor







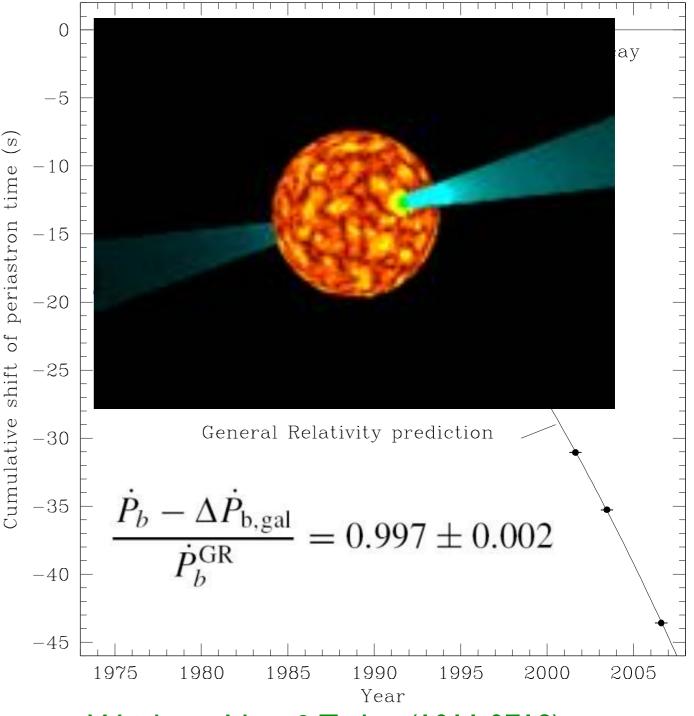


Russell A.
Hulse
Taylor Jr.

PSR B1913+16

1.9 Mill: km

Unsoon
P-59ms
Mc-1.39 M.
Mp-1.44 M.
P-7.8h
0=0.617



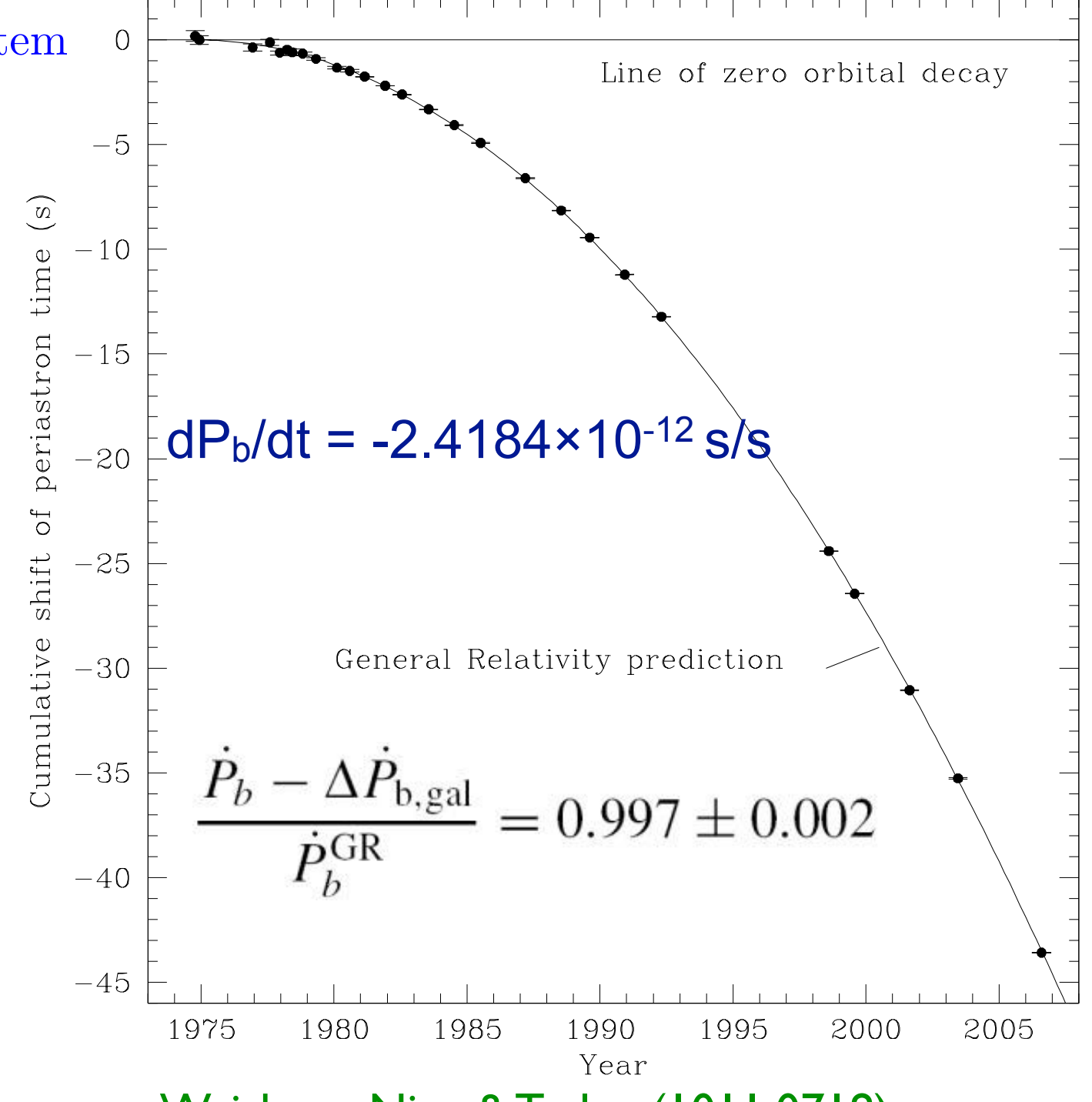
Weisberg, Nice & Taylor (1011.0718)
Astrophysical Journal, **722**, 1030-1034 (2010)

Edad de Oro (1960-1980) El púlsar binario de Hulse-Taylor

Measured Orbital Parameters for B1913+16 System

Fitted Parameter	Value
$a_p \sin i (s) \dots$	2.341782(3)
e	0.6171334 (5)
$T_0 \text{ (MJD)} \dots$	52144.90097841(4)
P_b (d)	0.322997448911(4)
$\omega_0 \; (\deg) \; \dots \;$	292.54472(6)
$\langle \dot{\omega} \rangle \; (\mathrm{deg/yr}) \; \ldots$	4.226598(5)
γ (s)	0.0042992 (8)
$\dot{P}_b (10^{-12} \text{ s/s})$	-2.423(1)

... La medida del ritmo de cambio del periodo orbital concuerda con lo esperado en la emisión de radiación gravitatoria, según la Relatividad General, dentro de un intervalo de 0.2%. ...



Weisberg, Nice & Taylor (1011.0718)

Astrophysical Journal, 722, 1030-1034 (2010)

- ¿Qué es la Gravedad Extrema? Usemos dos figuras de mérito:
- Potencial Newtoniano adimensional:

$$\varepsilon \equiv \frac{\phi_{
m Newtoniano}}{c^2} \sim \frac{GM}{Rc^2}$$

Curvatura espacio-temporal asociada con el fenómeno físico concreto:

$$\xi \equiv \frac{GM}{R^3c^2} \sim \frac{1}{\ell^2}$$

- Usemos la primera (potencial newtoniano)
- Gravedad en el Sistema Solar (avance del perihelio, arrastre de sistemas de referencia, retrasos temporales,

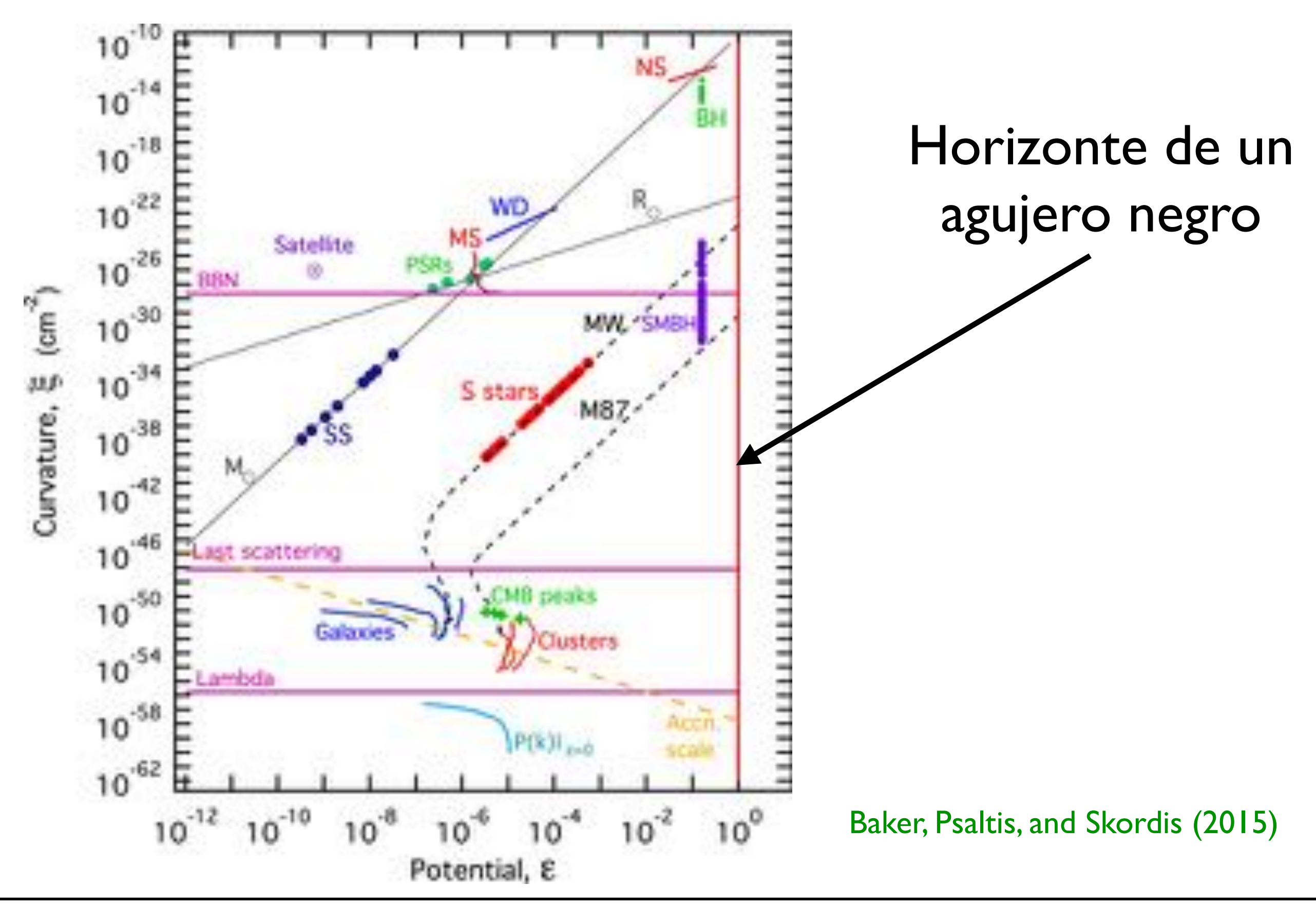
etc.): $\frac{\phi_{Newtonian}}{c^2} = \frac{GM_{\odot}}{c^2 1 \text{AU}} \sim 10^{-8}$

Gravedad con Púlsares:

$$\frac{\phi_{Newtonian}^{\rm NS}}{c^2} \sim \frac{GM_{\rm NS}}{c^2 \, r_{\rm NS}} \sim 10^{-1} \qquad \frac{\phi_{Newtonian}^{\rm Binary}}{c^2} \sim \frac{GM_{\odot}}{c^2 \, r_{\rm Hulse-Taylor}^{\rm periastron}} \sim 10^{-6}$$

Gravedad con estrellas de neutrones y agujeros negros:

$$\frac{\phi_{Newtonian}}{c^2} \sim \frac{GM_{\rm MBH}}{c^2 \text{ (a few } r_{\rm Horizon})} \sim 10^{-1} - 1$$



Preguntas sobre Gravedad Extrema:

- Preguntas sobre Gravedad Extrema:
- Los agujeros negros de los que tenemos evidencia, ¿son como nos dice la Relatividad General?

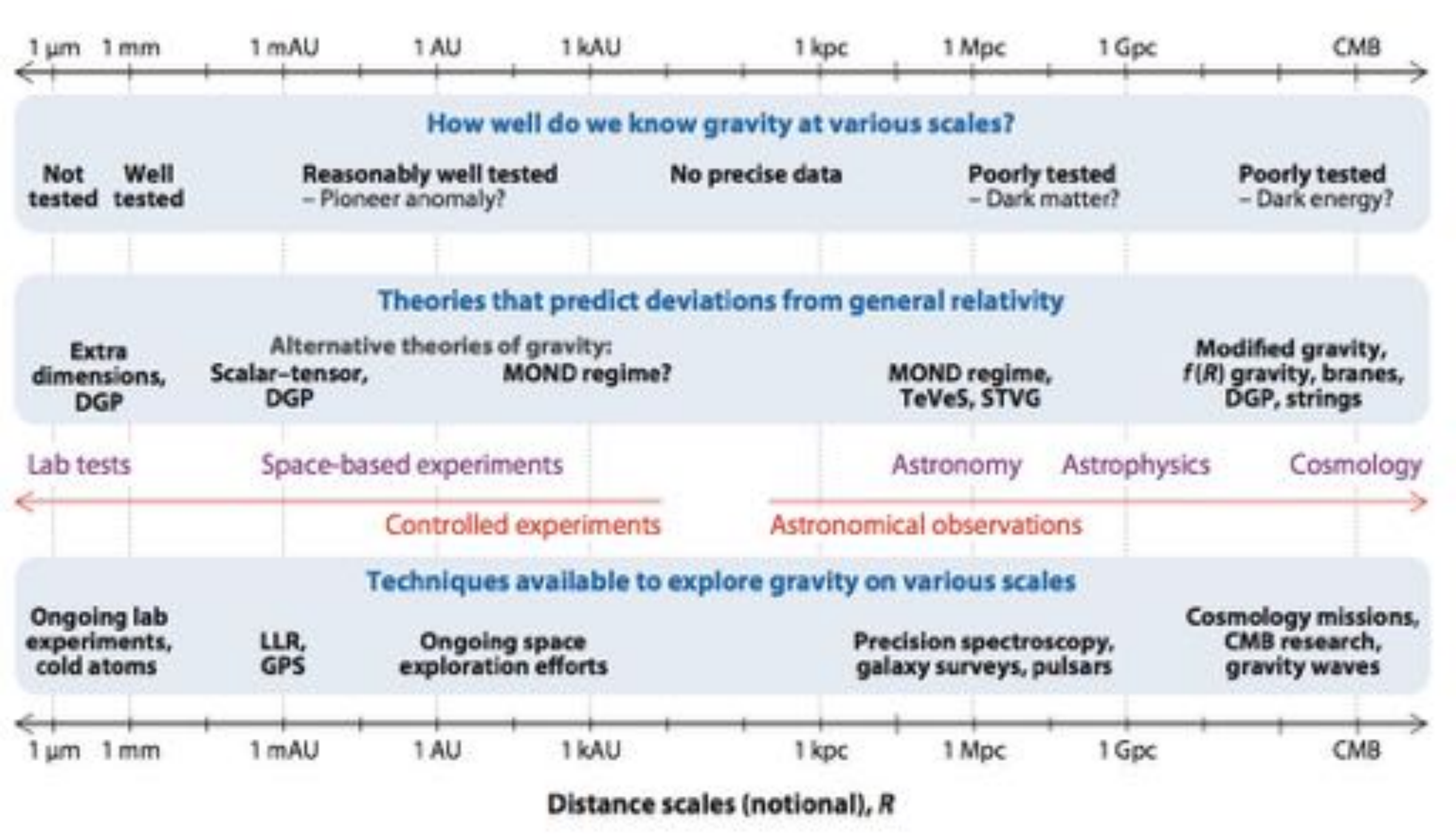
- •Preguntas sobre Gravedad Extrema:
- Los agujeros negros de los que tenemos evidencia, ¿son como nos dice la Relatividad General?
- ¿Es válida la Relatividad General a escalas cosmológicas?

- •Preguntas sobre Gravedad Extrema:
- Los agujeros negros de los que tenemos evidencia, ¿son como nos dice la Relatividad General?
- ¿Es válida la Relatividad General a escalas cosmológicas?
- ¿En qué condiciones podría violarse el principio de equivalencia?

- Preguntas sobre Gravedad Extrema:
- Los agujeros negros de los que tenemos evidencia, ¿son como nos dice la Relatividad General?
- Es válida la Relatividad General a escalas cosmológicas?
- ▶ ¿En qué condiciones podría violarse el principio de equivalencia?
- En qué condiciones podría violarse la invariancia Lorenz?

- Preguntas sobre Gravedad Extrema:
- Los agujeros negros de los que tenemos evidencia, ¿son como nos dice la Relatividad General?
- Es válida la Relatividad General a escalas cosmológicas?
- ¿En qué condiciones podría violarse el principio de equivalencia?
- En qué condiciones podría violarse la invariancia Lorenz?
- Ondas gravitatorias: ¿Son como nos dice la Relatividad General?

Perspectiva Contemporánea



S.G. Turyshev (2008)

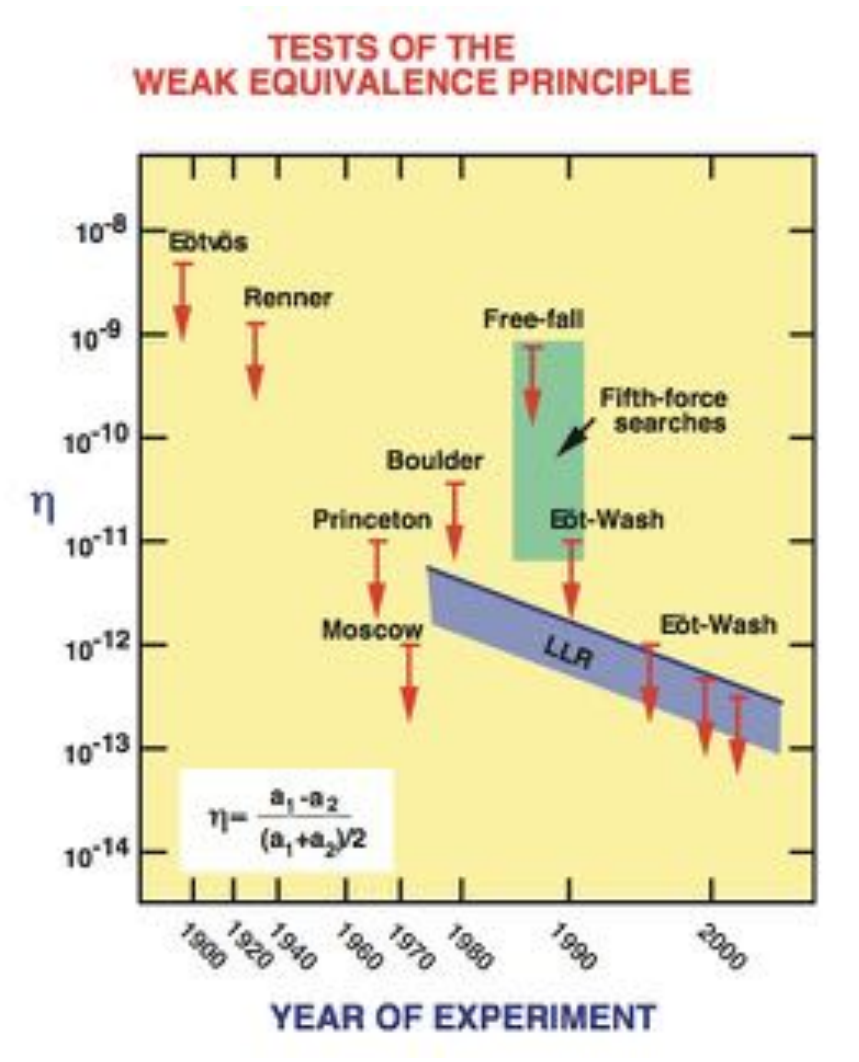
• En Relatividad General, la gravedad se describe por un tensor métrico que se acopla de forma universal a los campos material del Modelo Estándar (Principio de Equivalencia de Einstein).

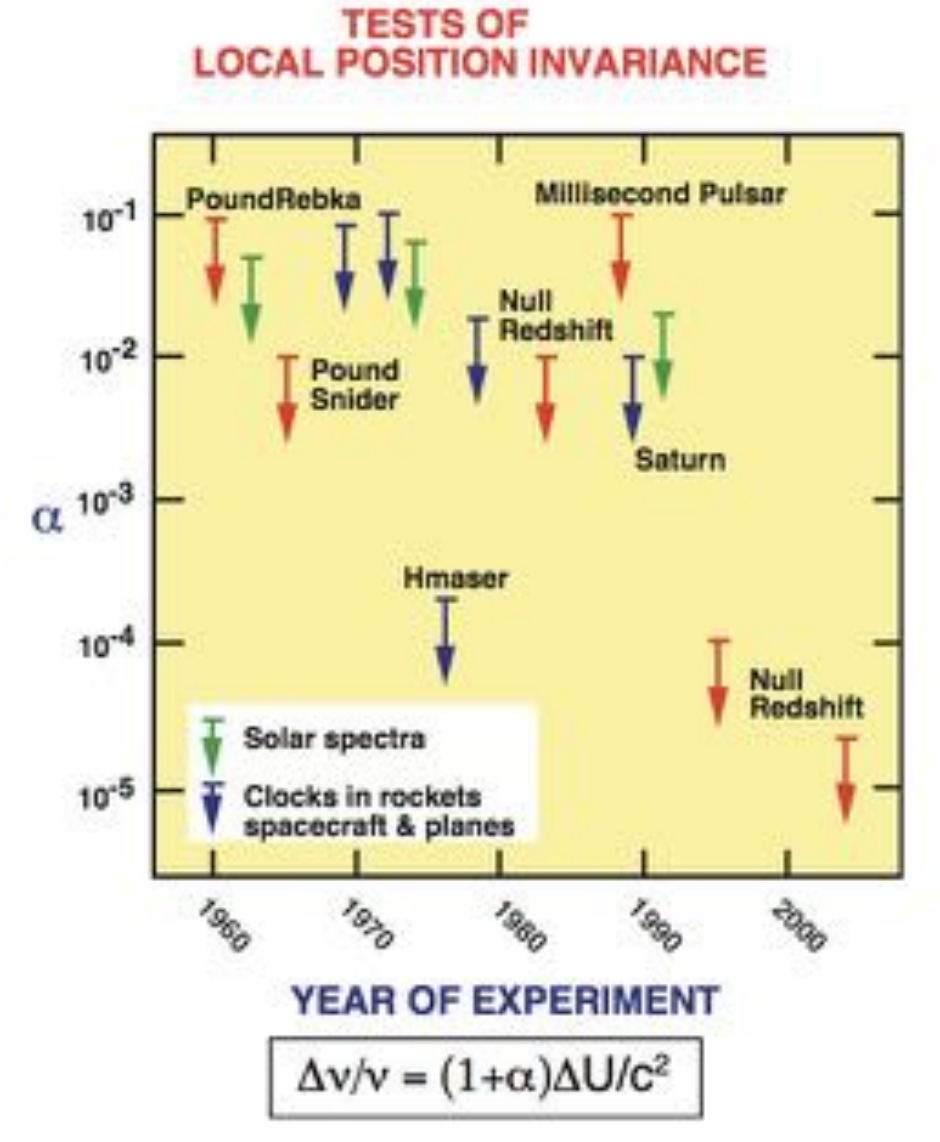
• En Relatividad General, la gravedad se describe por un tensor métrico que se acopla de forma universal a los campos material del Modelo Estándar (Principio de Equivalencia de Einstein).

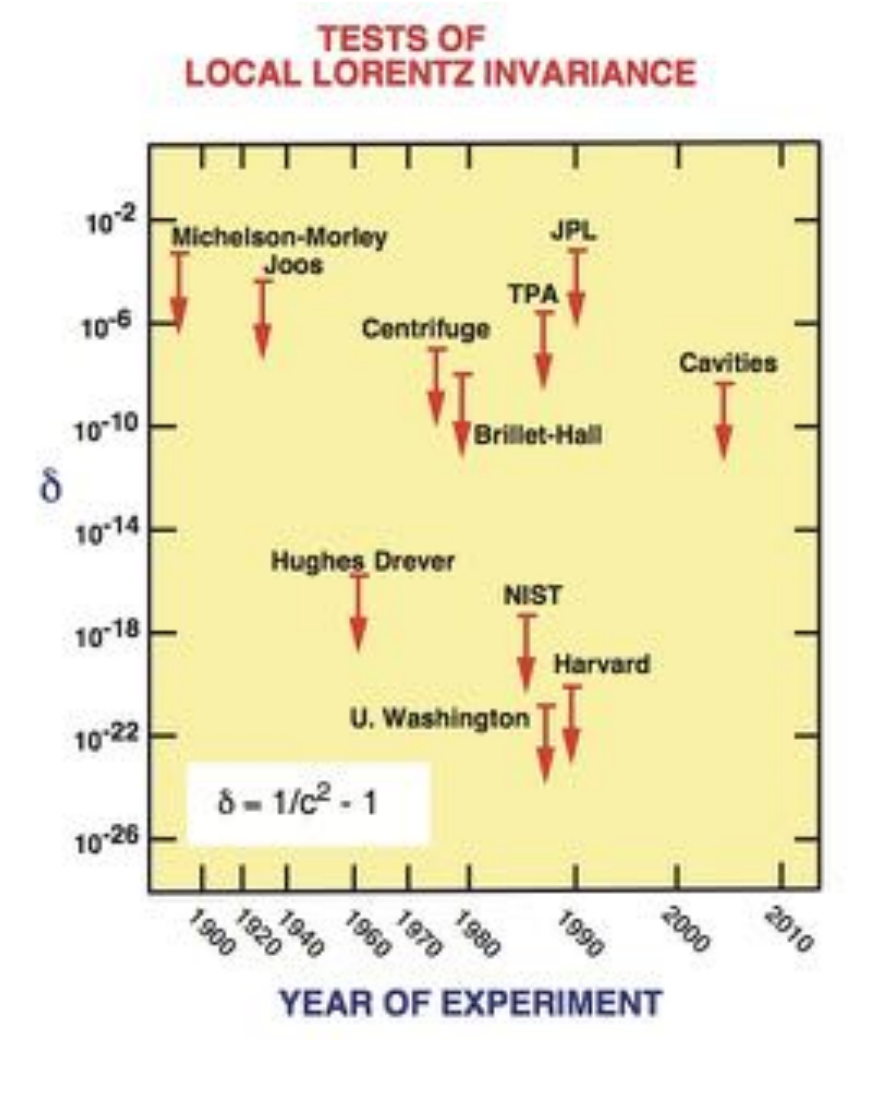
• Este acoplamiento universal tiene múltiples consecuencias para experimentos y observaciones (a parte del principio de equivalencia débil).

• El resultado de experimentos locales no gravitacionales, referidos a estándares locales, no depende ni de donde, ni de cuando, ni en que sistema de referencia localmente inercial el experimento tiene lugar.

- El resultado de experimentos locales no gravitacionales, referidos a estándares locales, no depende ni de donde, ni de cuando, ni en que sistema de referencia localmente inercial el experimento tiene lugar.
- Esto significa que experimentos locales no deben notar ni la evolución cosmológica del Universo (constancia de las constantes) ni deben exhibir direcciones preferentes en el espaciotiempo (isotropía del espacio, invariancia Lorenz local).







C.M.Will (2014)

Constant k	Limit on k/k (yr^{-1})	Redshift	Method
Fine structure constant $(\alpha_{\rm EM}=e^2/\hbar c)$	< 30 × 10 ⁻¹⁶	0	Clock comparisons [181, 31, 111, 209]
	$< 0.5 \times 10^{-16}$	0.15	Oklo Natural Reactor [72, 116, 210]
	$< 3.4 \times 10^{-16}$	0.45	¹⁸⁷ Re decay in meteorites [205]
	$(6.4 \pm 1.4) \times 10^{-16}$	0.2 - 3.7	Spectra in distant quasars [269, 193]
	$< 1.2 \times 10^{-16}$	0.4 - 2.3	Spectra in distant quasars [242, 51]
Weak interaction constant $(\alpha_{\mathrm{W}} = G_{\mathrm{f}} m_{\mathrm{p}}^2 c/\hbar^3)$	< 1 × 10 ⁻¹¹	0.15	Oklo Natural Reactor [72]
	$< 5 imes 10^{-12}$	10^{9}	Big Bang nucleosynthesis [179, 223]
e-p mass ratio	$< 3 \times 10^{-15}$	2.6 - 3.0	Spectra in distant quasars [135]

Cotas en cambios de constantes no gravitacionales

C.M.Will (2014)

Method	\dot{G}/G $(10^{-13} \ { m yr}^{-1})$	Reference	
Lunar laser ranging	4 ± 9	[295]	
Binary pulsar $1913 + 16$	40 ± 50	[143]	
Helioseismology	0 ± 16	[122]	
Big Bang nucleosynthesis	0 ± 4	[65, 21]	

C.M.Will (2006)

Parameter	What it measures relative to GR	Value in GR	Value in semi- conservative theories	Value in fully conservative theories
γ	How much space-curva- ture produced by unit rest mass?	1	γ	γ
β	How much "nonlinearity" in the superposition law for gravity?	1	β	β
ξ	Preferred-location effects?	0	ξ	ξ
α_1	Preferred-frame effects?	0	α_1	0
α_2		0	α_2	0
α_3		0	0	0
α_3	Violation of conservation	0	0	0
ζ_1	of total momentum?	0	0	0
ζ_2		0	0	0
ζ3		0	0	0
ζ4		0	0	0

C.M.Will (2014)

$$g_{00} = -1 + 2U - 2\beta U^2 - 2\xi \Phi_W + (2\gamma + 2 + \alpha_3 + \zeta_1 - 2\xi)\Phi_1 + 2(3\gamma - 2\beta + 1 + \zeta_2 + \xi)\Phi_2$$

 $+2(1 + \zeta_3)\Phi_3 + 2(3\gamma + 3\zeta_4 - 2\xi)\Phi_4 - (\zeta_1 - 2\xi)A - (\alpha_1 - \alpha_2 - \alpha_3)w^2U - \alpha_2w^iw^jU_{ij}$
 $+(2\alpha_3 - \alpha_1)w^iV_i + O(\epsilon^3),$

$$g_{0i} = -\frac{1}{2}(4\gamma + 3 + \alpha_1 - \alpha_2 + \zeta_1 - 2\xi)V_i - \frac{1}{2}(1 + \alpha_2 - \zeta_1 + 2\xi)W_i - \frac{1}{2}(\alpha_1 - 2\alpha_2)w^iU$$

 $-\alpha_2 w^j U_{ij} + O(\epsilon^{5/2}),$

$$g_{ij} = (1 + 2\gamma U)\delta_{ij} + O(\epsilon^2).$$

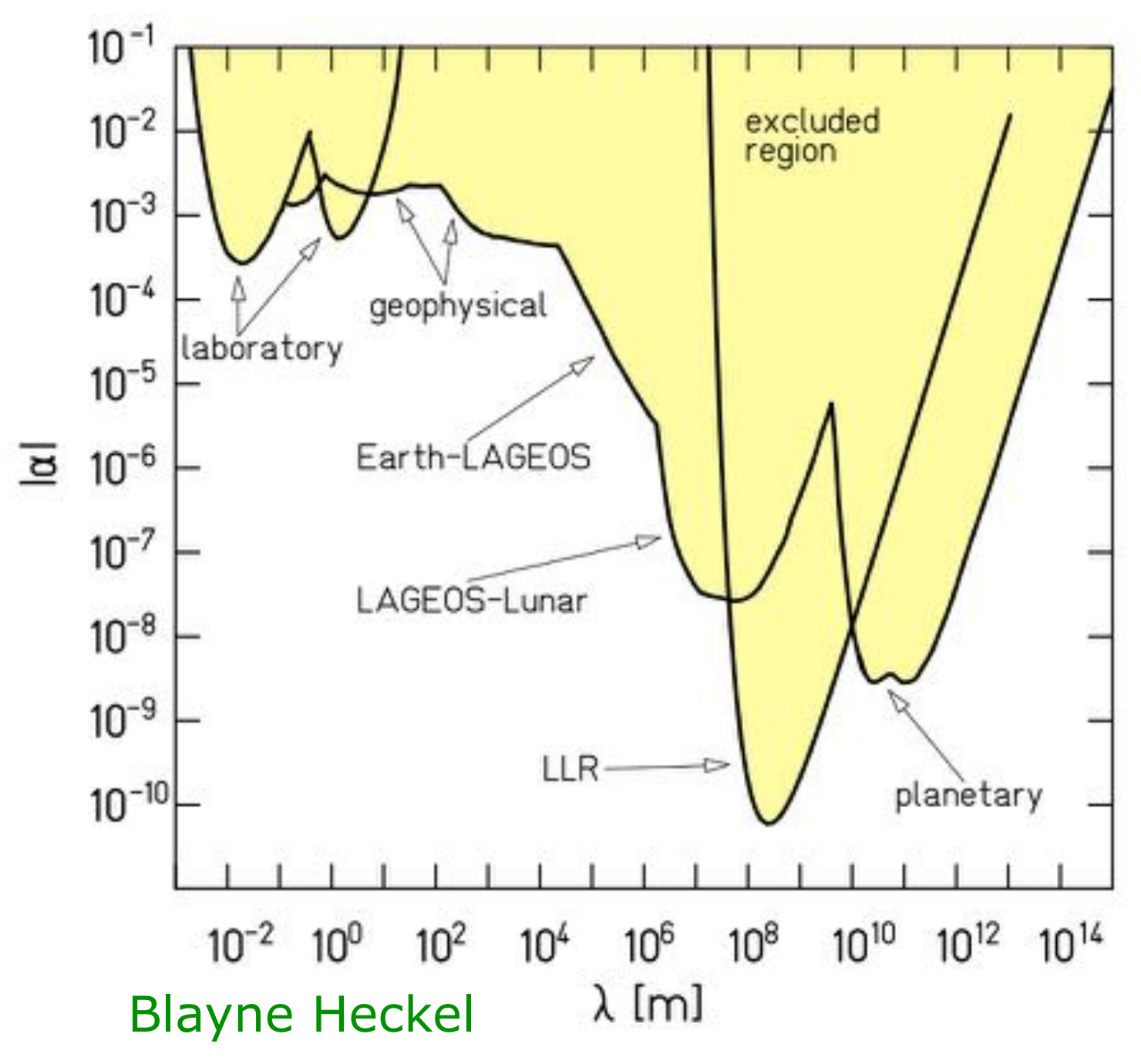
Formalismo Parametrizado Post-Newtoniano (PPN)

Parameter	Effect	Limit	Remarks
$\gamma - 1$	time delay	2.3×10^{-5}	Cassini tracking
	light deflection	2×10^{-4}	VLBI
$\beta - 1$	perihelion shift	8×10^{-5}	$J_{2\odot} = (2.2 \pm 0.1) \times 10^{-7}$
	Nordtvedt effect	2.3×10^{-4}	
ξ	spin precession	4×10^{-9}	millisecond pulsars
α_1	orbital polarization	10^{-4}	Lunar laser ranging
		4×10^{-5}	PSR J1738+0333
α_2	spin precession	2×10^{-9}	millisecond pulsars
α_3	pulsar acceleration	4×10^{-20}	pulsar \dot{P} statistics
			combined PPN bounds
ζ_1 ζ_2	binary acceleration	4×10^{-5}	$\ddot{P}_{\rm p}$ for PSR 1913+16
ζ_3	Newton's 3rd law	10^{-8}	lunar acceleration
ζ_4			not independent C.M.Will (2014

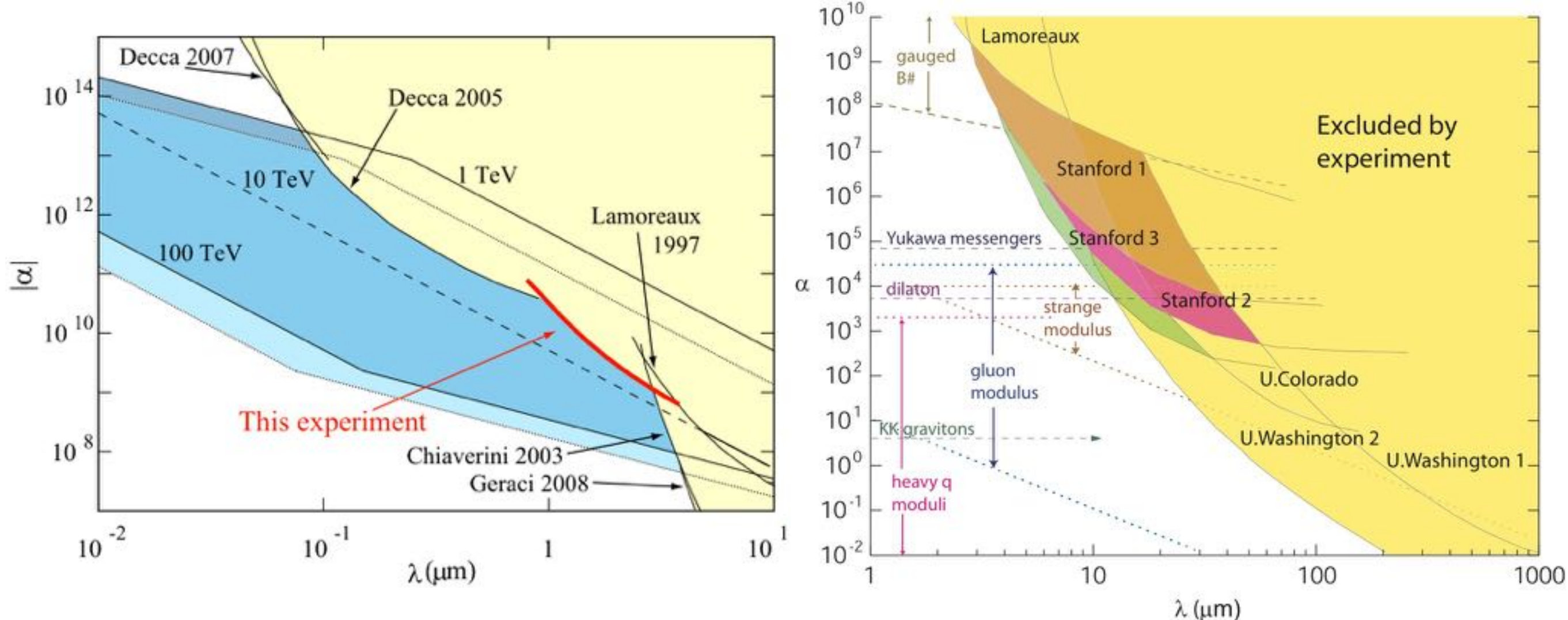
Modificaciones de la Gravedad Newtoniana

$$F = G \frac{m_1 m_2}{r^2} \left[1 + \alpha \left(1 + \frac{r}{\lambda} \right) e^{-r/\lambda} \right]$$

Esto incluye bosones gauge; modelos con dimensiones extra; etc.



Modificaciones de rango corto de la Gravedad Newtoniana

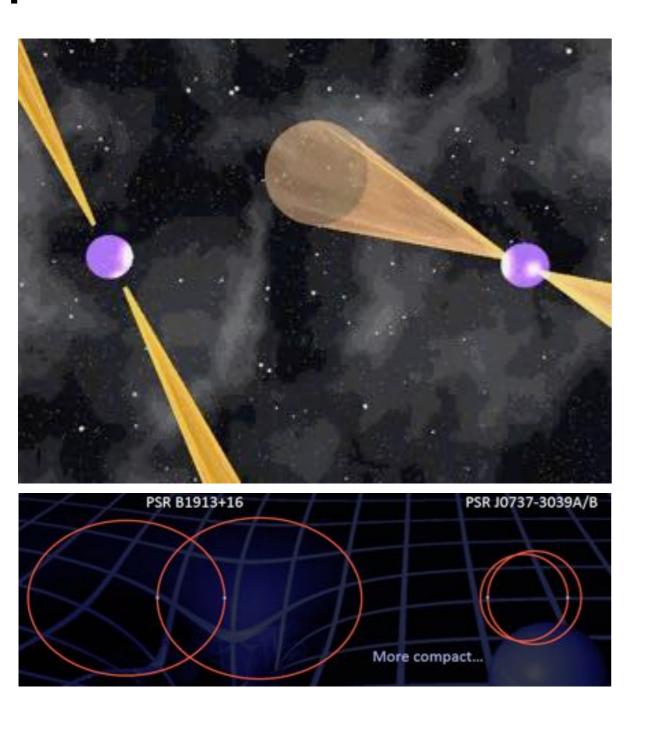


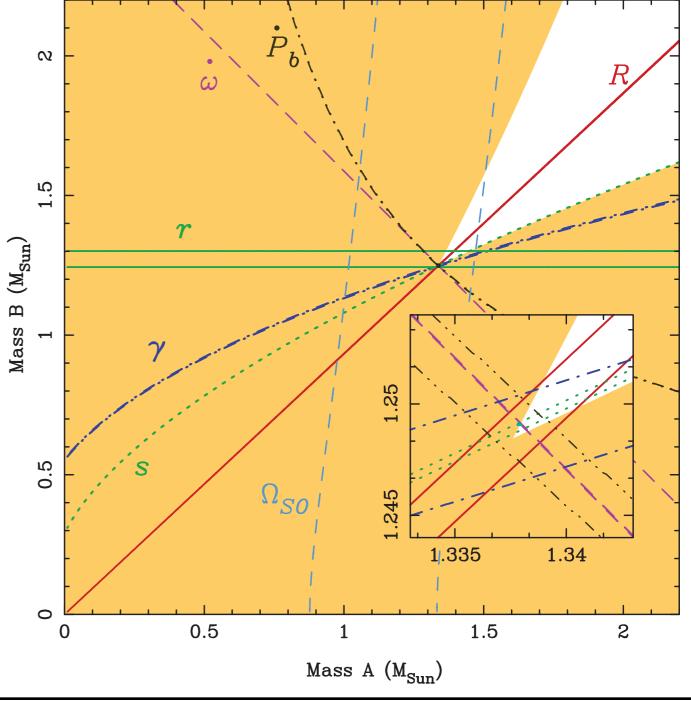
M. Masuda, M. Sasaki: *Limits on Nonstandard Forces in the Submicrometer Range*.
Phys. Rev. Lett. **102** (2009) 171101

A.A. Geraci et al: *Improved constraints* on non-Newtonian forces at 10 microns.

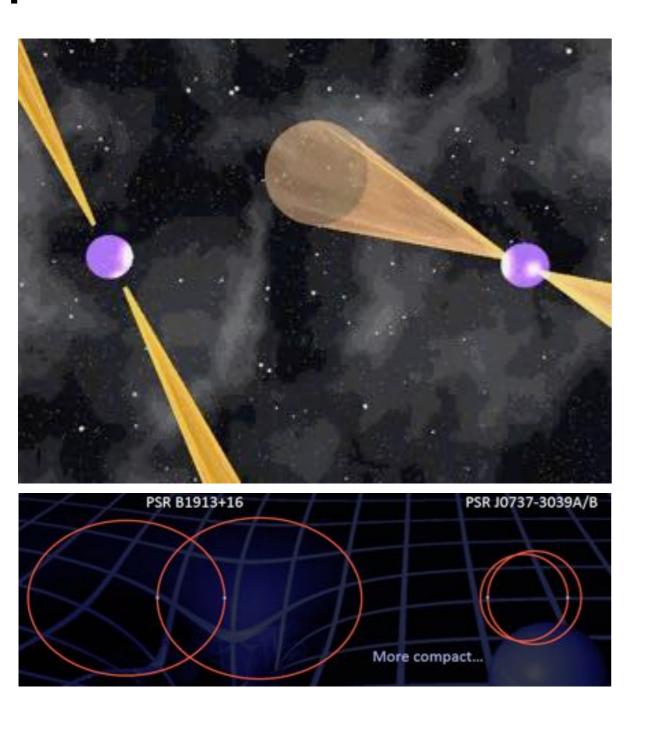
Phys. Rev. D78 (2008) 022002

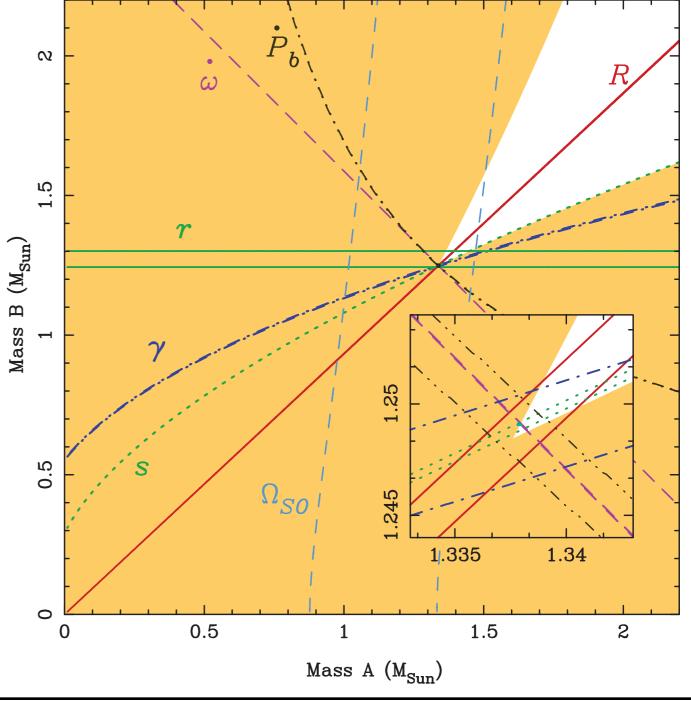
• Tests con púlsares: PSR J0737-3039A/B, el único púlsar doble conocido. Tests de RG al 0.05%.





• Tests con púlsares: PSR J0737-3039A/B, el único púlsar doble conocido. Tests de RG al 0.05%.





Gravito-Magnetismo: Gravity Probe B



Gravito-Magnetismo: Gravity Probe B



La Relatividad General nos dice que no solo la masa, sino también el momento de la materia (lineal y angular) gravity produciendo efectos similares a los de los campos magnéticos: Gravitomagnetismo.

Gravito-Magnetismo: Gravity Probe B



La Relatividad General nos dice que no solo la masa, sino también el momento de la materia (lineal y angular) gravity produciendo efectos similares a los de los campos magnéticos: Gravitomagnetismo.

En particular, materia en rotación arrastra los sistemas de referencia inerciales (efecto Lense-Thirring).

Gravito-Magnetismo: Gravity Probe B



La Relatividad General nos dice que no solo la masa, sino también el momento de la materia (lineal y angular) gravity produciendo efectos similares a los de los campos magnéticos: Gravitomagnetismo.

En particular, materia en rotación arrastra los sistemas de referencia inerciales (efecto Lense-Thirring).

Además, si el sistema de referencia está en rotación se produce un efecto de precesión del spin (geodetic precession).

Gravito-Magnetismo: Gravity Probe B



Gravito-Magnetismo: Gravity Probe B



Gravity Probe B (Stanford + NASA) llevaron a cabo un experimento (2004-2005) para medir los dos efectos (Lense-Thirring y *geodetic precession*)

Gravito-Magnetismo: Gravity Probe B

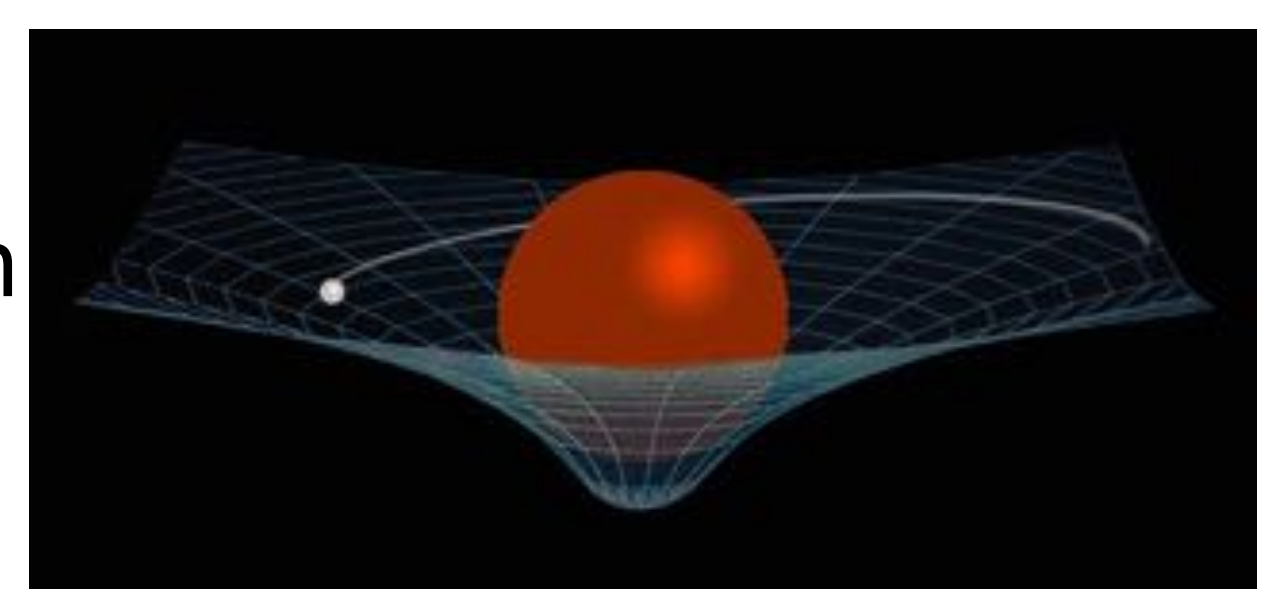


Gravity Probe B (Stanford + NASA) llevaron a cabo un experimento (2004-2005) para medir los dos efectos (Lense-Thirring y *geodetic precession*)

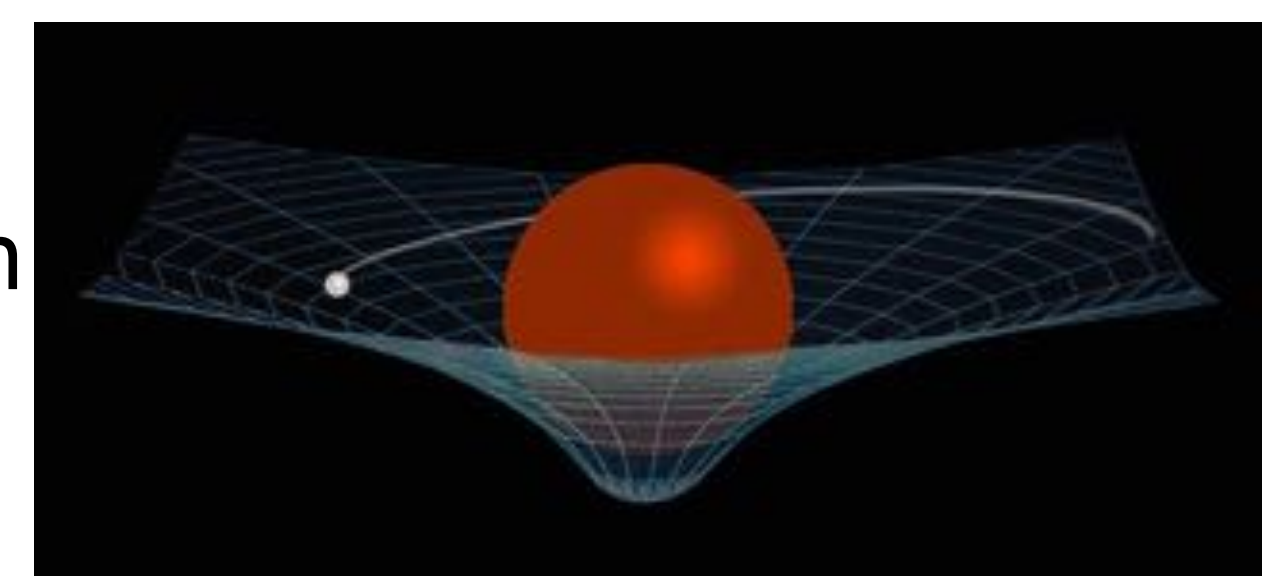
Después de muchas dificultades los resultados están de acuerdo con la RG con una precisión de 0.3% (geodetic precession) y 20% (Lense-Thirring).

Las Ondas Gravitatorias: Intentando "escuchar" el Universo

• En Relatividad General la gravedad es una manifestación de la geometría del espaciotiempo.

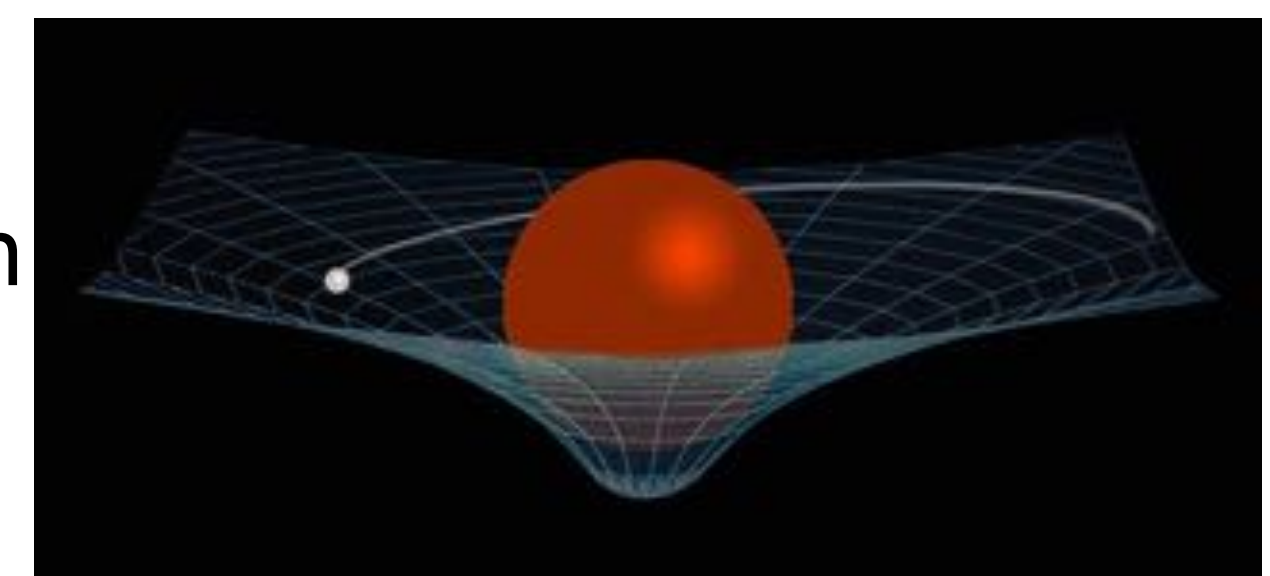


• En Relatividad General la gravedad es una manifestación de la geometría del espaciotiempo.



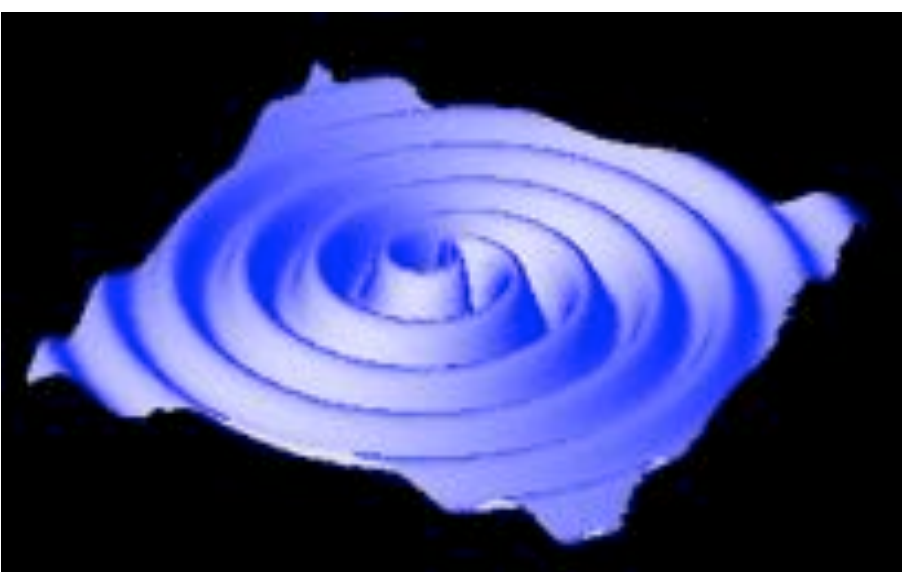
• Las ondas gravitatorias (Einstein 1916, 1918) son una consecuencia de que la gravedad, en Relatividad General, es un fenómeno causal (se propaga a una velocidad finita, la de la luz).

• En Relatividad General la gravedad es una manifestación de la geometría del espaciotiempo.



- Las ondas gravitatorias (Einstein 1916, 1918) son una consecuencia de que la gravedad, en Relatividad General, es un fenómeno causal (se propaga a una velocidad finita, la de la luz).
- Son variaciones en la geometría espacio-temporal generadas por cambios en la distribución de energía y momento.





• Efecto sobre la materia: Las Ondas Gravitatorias cambian la distancia propia entre dos objetos:

 $\Delta L = h \times L$

Cambio en la Distancia

Amplitud de la Onda Distancia

• Efecto sobre la materia: Las Ondas Gravitatorias cambian la distancia propia entre dos objetos:



• Comparación entre ondas electromagnéticas y gravitatorias:

• Comparación entre ondas electromagnéticas y gravitatorias:

Similitudes: Son ondas transversales que viajan a la velocidad de la luz (300 000 km/s).

Comparación entre ondas electromagnéticas y gravitatorias:

Similitudes: Son ondas transversales que viajan a la velocidad de la luz (300 000 km/s).

Diferencias en su naturaleza

Comparación entre ondas electromagnéticas y gravitatorias:

Similitudes: Son ondas transversales que viajan a la velocidad de la luz (300 000 km/s).

Diferencias en su naturaleza

OEMs son generadas por cargas aceleradas

OGs son generadas por distribuciones de energía/ momento aceleradas

Comparación entre ondas electromagnéticas y gravitatorias:

Similitudes: Son ondas transversales que viajan a la velocidad de la luz (300 000 km/s).

Diferencias en su naturaleza

OEMs son generadas por cargas aceleradas

OGs son generadas por distribuciones de energía/ momento aceleradas

Spin 1

Spin 2

Comparación entre ondas electromagnéticas y gravitatorias:

Similitudes: Son ondas transversales que viajan a la velocidad de la luz (300 000 km/s).

Diferencias en su naturaleza

OEMs son generadas por cargas aceleradas

OGs son generadas por distribuciones de energía/ momento aceleradas

Spin 1

Spin 2

El Dipolo es el multipolo más bajo que puede dar lugar a OEMs. (conservación de la carga)

El Cuadrupolo es el multipolo más bajo que puede dar lugar a OGs. (conservación de masa y momento)

Comparación entre ondas electromagnéticas y gravitatorias:

Diferencias en la generación/detección

Comparación entre ondas electromagnéticas y gravitatorias:

Diferencias en la generación/detección

Las OEMs se generan en interacciones entre electrones, núcleos, etc. dentro de las fuentes astrofísicas:

$$\lambda_{\rm EM} \ll L_{\rm source}$$

Las OGs se generan en los cambios temporales de la distribución global de materia y energía de la fuente:

$$\lambda_{\text{GW}} \sim L_{\text{source}}$$

Comparación entre ondas electromagnéticas y gravitatorias:

Diferencias en la generación/detección

Las OEMs se generan en interacciones entre electrones, núcleos, etc. dentro de las fuentes astrofísicas:

$$\lambda_{\rm EM} \ll L_{\rm source}$$

Las OGs se generan en los cambios temporales de la distribución global de materia y energía de la fuente:

$$\lambda_{\rm GW} \sim L_{\rm source}$$

Con OEMs podemos construir imágenes de las fuentes.

Las OGs no son buenas para producir imágenes de las fuentes.

La información se extrae con métodos "auditivos" (matched filter)

Comparación entre ondas electromagnéticas y gravitatorias:

Diferencias en la generación/detección

Las OEMs se generan en interacciones entre electrones, núcleos, etc. dentro de las fuentes astrofísicas:

$$\lambda_{\rm EM} \ll L_{\rm source}$$

Las OGs se generan en los cambios temporales de la distribución global de materia y energía de la fuente:

$$\lambda_{\rm GW} \sim L_{\rm source}$$

Con OEMs podemos construir imágenes de las fuentes.

Las OGs no son buenas para producir imágenes de las fuentes.

La información se extrae con métodos "auditivos" (matched filter)

No es necesario en general tener una modelización precisa de la emisión Es crucial tener una modelización muy precisa de la emisión

Comparación entre ondas electromagnéticas y gravitatorias:

Diferencias en la generación/detección

· Comparación entre ondas electromagnéticas y gravitatorias:

Diferencias en la generación/detección

Detección basada en la deposición de energía (fotones) en el detector:

Detección basada en la estimación del campo gravitatorio radiativo (h~1/D), no en su flujo de energía:

$$L_{\rm EM} \sim {1 \over D_L^2}$$

$$L_{\rm GW} \sim \left(\frac{dh}{dt}\right)^2 \sim \frac{1}{D_L^2}$$

Comparación entre ondas electromagnéticas y gravitatorias:

Diferencias en la generación/detección

Detección basada en la deposición de energía (fotones) en el detector:

Detección basada en la estimación del campo gravitatorio radiativo (h~1/D), no en su flujo de energía:

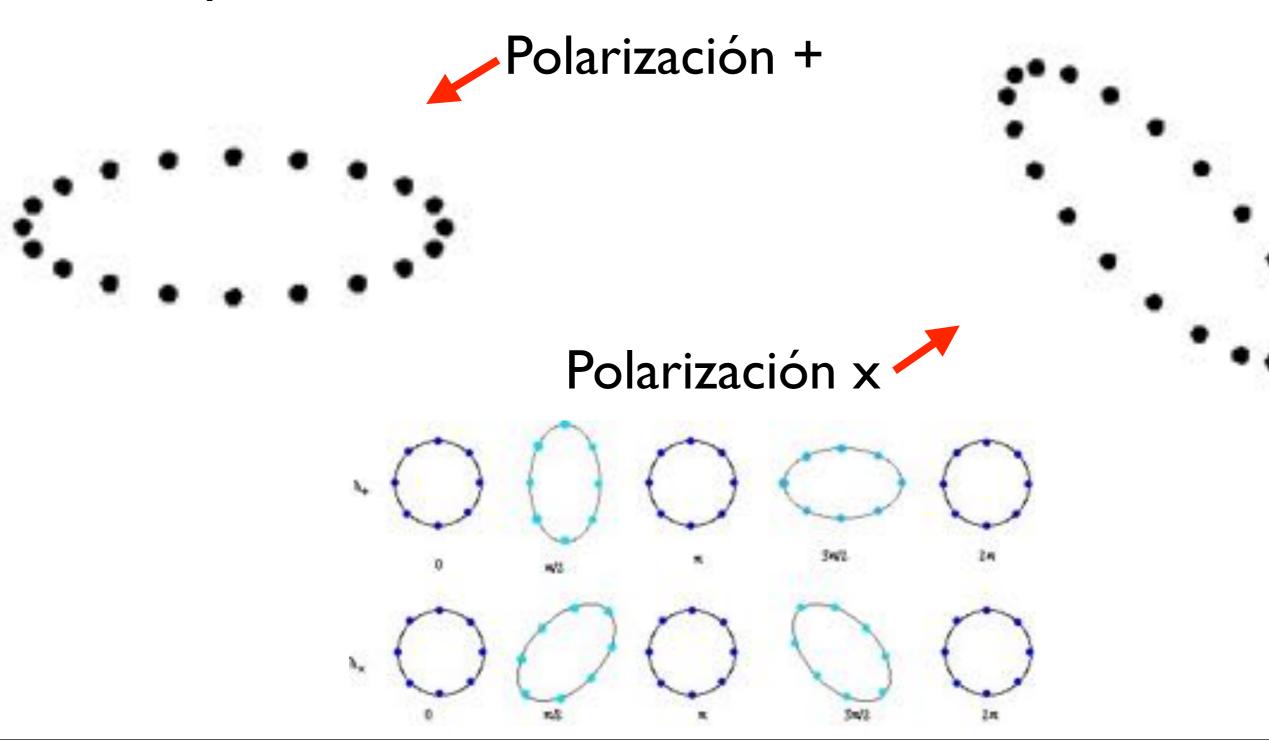
$$L_{\mathrm{EM}} \sim \frac{1}{D_L^2}$$

$$L_{\rm GW} \sim \left(\frac{dh}{dt}\right)^2 \sim \frac{1}{D_L^2}$$

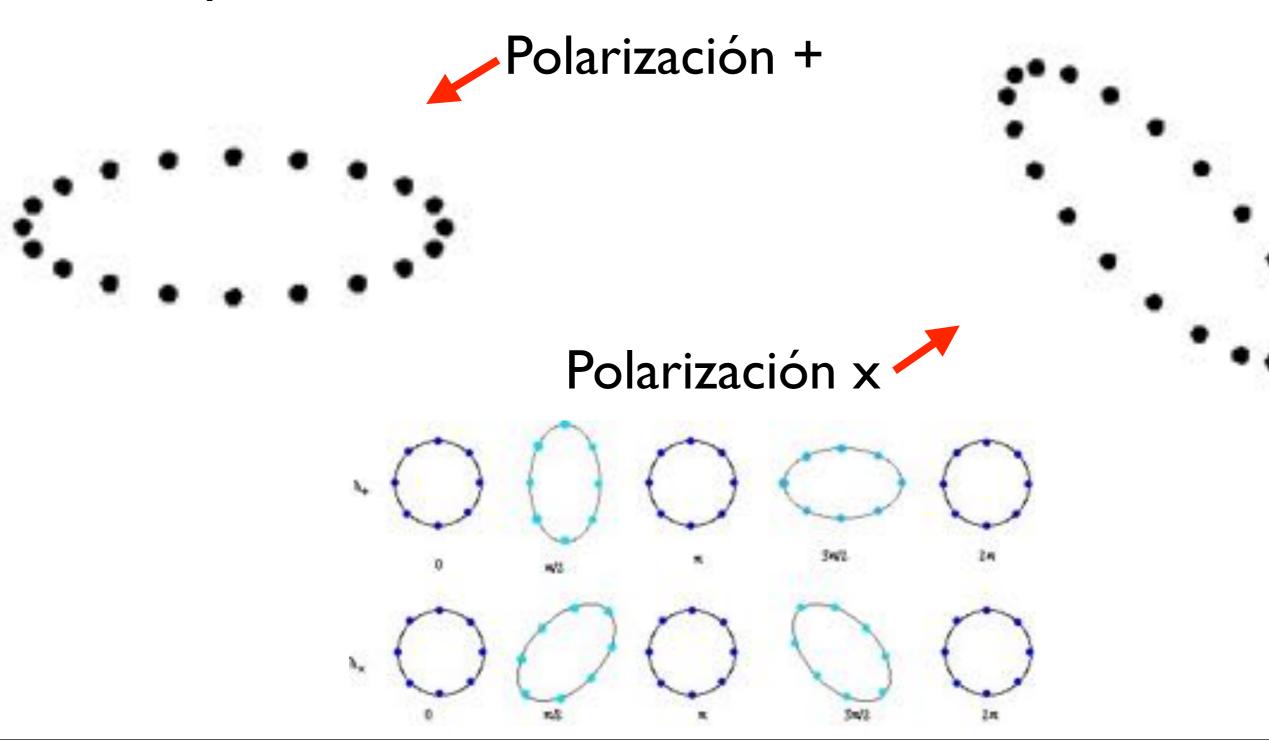
La interacción con la materia es importante: dispersión, absorción, ...

Muy débil interacción con la materia: dispersion y absorción despreciables.

 Dos polarizaciones independientes (en Relatividad General):



 Dos polarizaciones independientes (en Relatividad General):



Amplitud de las Ondas Gravitatorias:

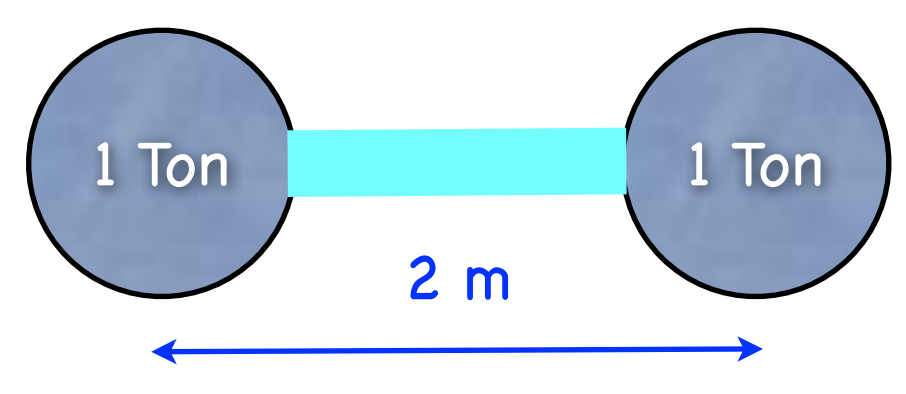
- Amplitud de las Ondas Gravitatorias:
 - Usando la aproximación cuadrupolar:

$$\frac{\Delta L}{L} = h \sim \frac{G\ddot{Q}}{c^4 r}, \quad Q \sim M_{\text{total}} R^2 \implies \ddot{Q} \sim M_{\text{total}} v^2$$

- Amplitud de las Ondas Gravitatorias:
 - Usando la aproximación cuadrupolar:

$$\frac{\Delta L}{L} = h \sim \frac{G\ddot{Q}}{c^4 r}, \quad Q \sim M_{\text{total}} R^2 \Rightarrow \ddot{Q} \sim M_{\text{total}} v^2$$

En un laboratorio:



orio:
$$f \sim 1kHz$$
 \Rightarrow $h \sim 10^{-37} \, \frac{1 \, km}{D_{
m detector}}$

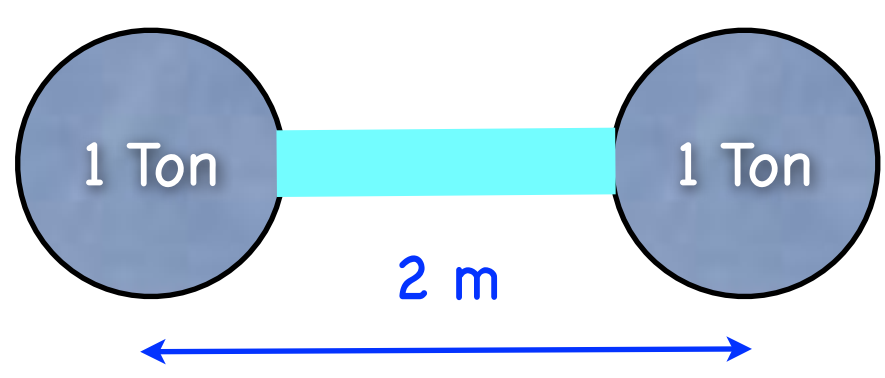
Ton $\Delta L \sim 10^{-33} m \left(\frac{1 \, km}{D_{
m detector}} \right) \left(\frac{L}{4 \, km} \right)$
 $\ell_{
m Planck} \sim 10^{-35} m$



- Amplitud de las Ondas Gravitatorias:
 - Usando la aproximación cuadrupolar:

$$\frac{\Delta L}{L} = h \sim \frac{G\ddot{Q}}{c^4 r}, \quad Q \sim M_{\text{total}} R^2 \implies \ddot{Q} \sim M_{\text{total}} v^2$$

En un laboratorio:



laboratorio:
$$f \sim 1kHz$$
 \Rightarrow $h \sim 10^{-37} \, \frac{1 \, km}{D_{\mathrm{detector}}}$ 1 Ton $\Delta L \sim 10^{-33} m \left(\frac{1 \, km}{D_{\mathrm{detector}}}\right) \left(\frac{L}{4 \, km}\right)$





Con Sistemas Astrofísicos Relativistas:

$$M \sim M_{\odot}$$
, $v \sim c$, $D_{\text{detector}} \sim 15 \,\text{Mpc}$ \longrightarrow $h \sim 10^{-21}$
$$\Delta L = h \cdot L \sim 10^{-15} \,\text{cm} \quad (L = 4 \,\text{km})$$

 $R_{\rm atomic\ nuclei} \sim 10^{-13} \, {\rm cm}$

Evidencia de su existencia:





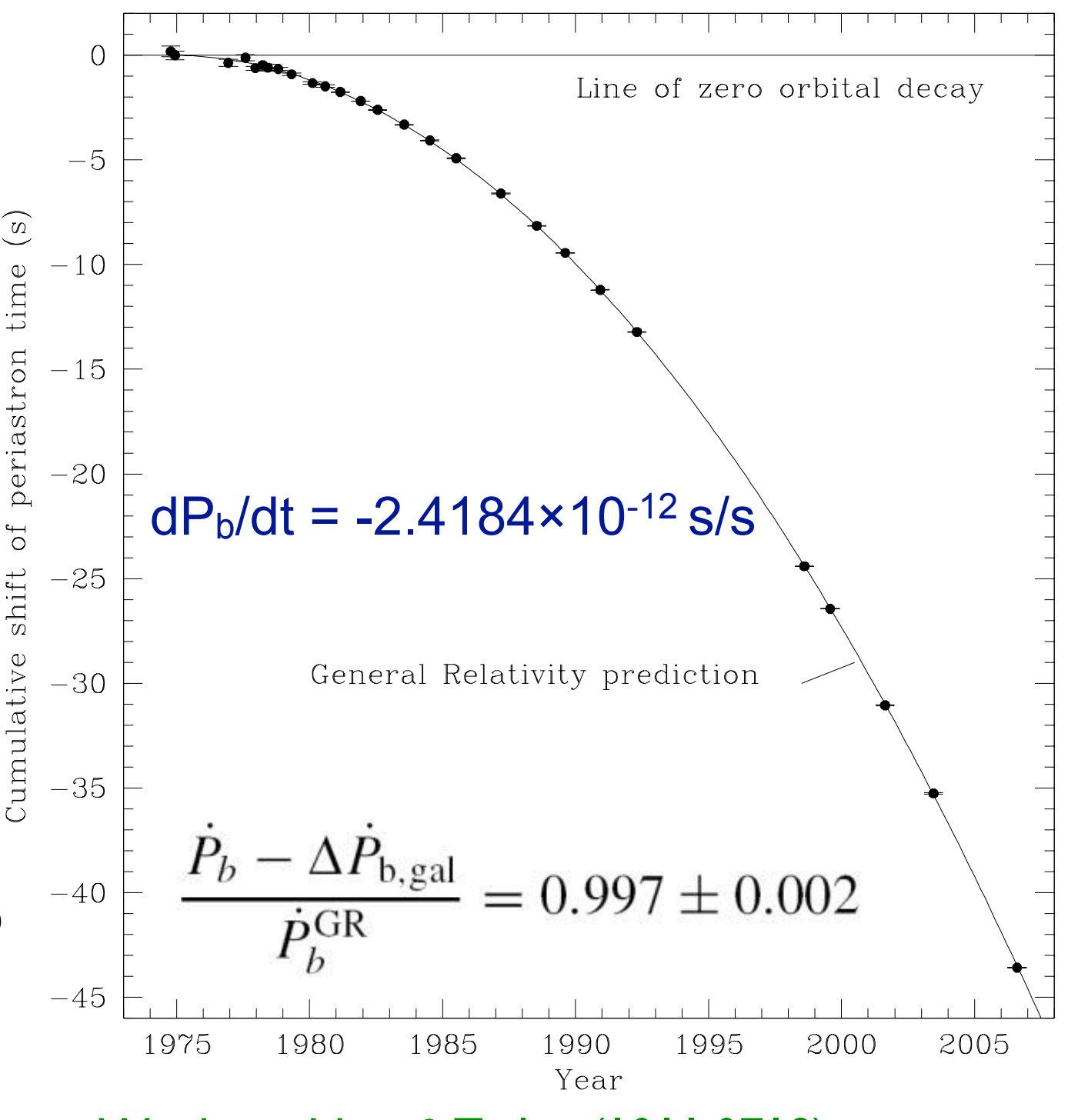
Russell A. Hulse





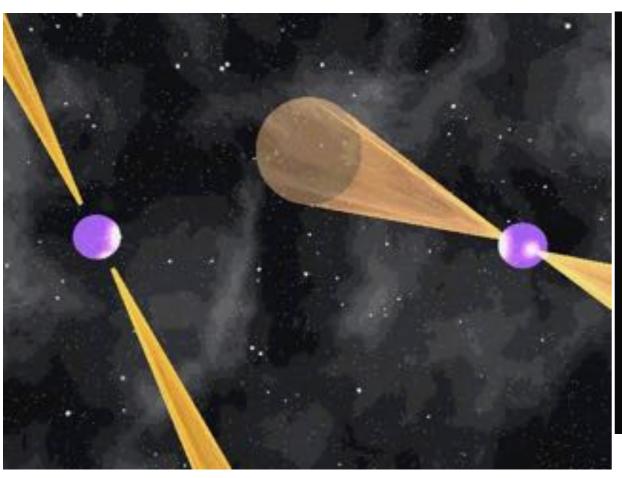
Joseph H. Taylor Ir.

... La medida del ritmo de cambio del periodo orbital concuerda con lo esperado en la emisión de radiación gravitatoria, según la Relatividad General, dentro de un intervalo de 0.2%. ...



Weisberg, Nice & Taylor (1011.0718) Astrophysical Journal, **722**, 1030-1034 (2010)

Evidencia de su existencia:





$$dP_b/dt = (-1.248\pm0.001) \times 10^{-12}$$

Acuerdo con la Relatividad General al 0.1%!



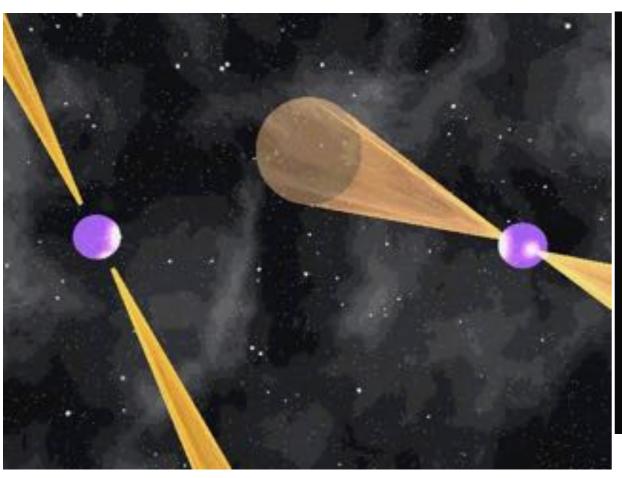
PSR J0348+0432: Un sistema binario de un púlsar con una enana blanca

$$\dot{P}_{b}^{GR} = (-2.58^{+0.07}_{-0.11}) \times 10^{-13} \text{ s s}^{-1}$$

 $\dot{P}_{b}/\dot{P}_{b}^{GR} = 1.05 \pm 0.18$

5 I

Evidencia de su existencia:





$$dP_b/dt = (-1.248\pm0.001) \times 10^{-12}$$

Acuerdo con la Relatividad General al 0.1%!



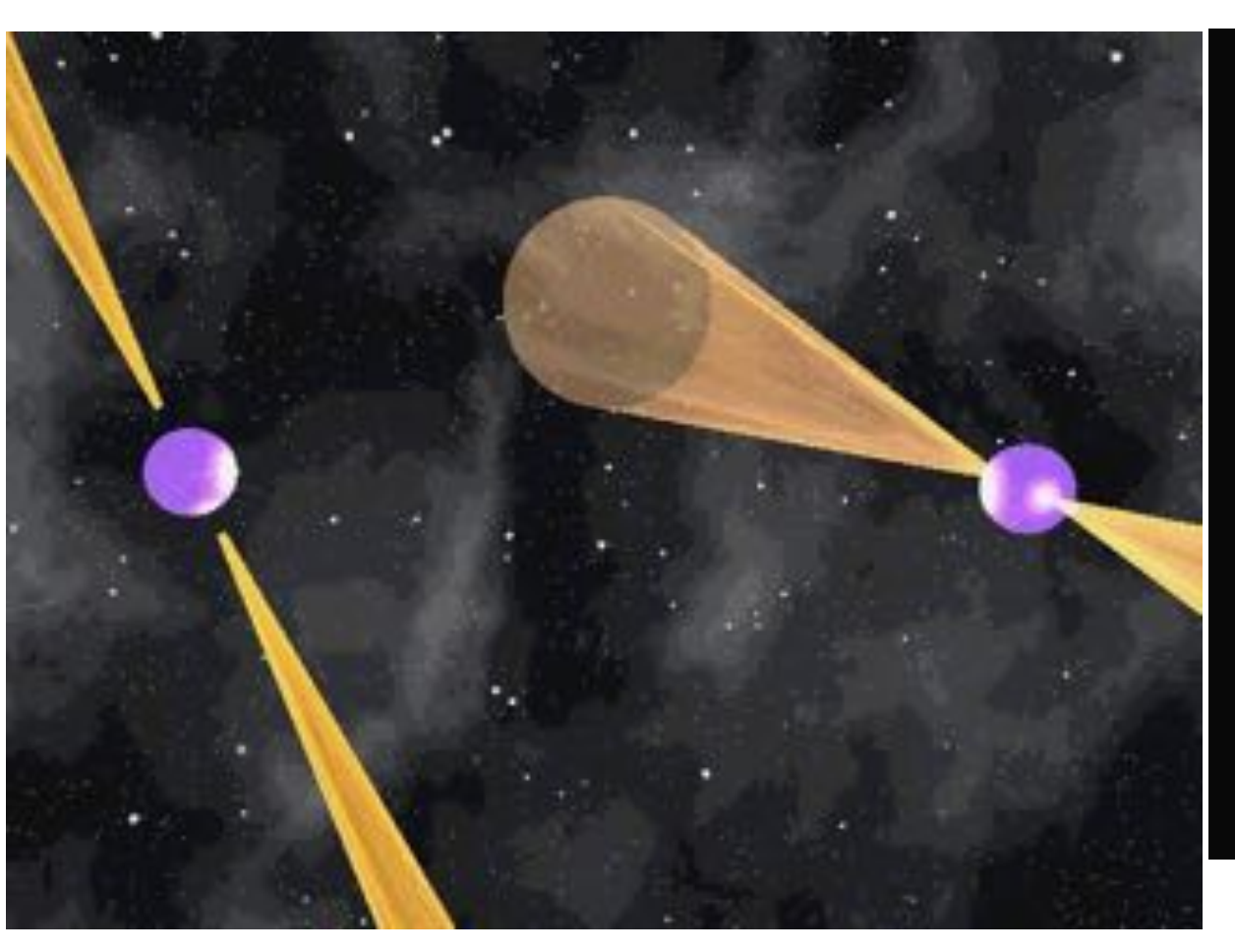
PSR J0348+0432: Un sistema binario de un púlsar con una enana blanca

$$\dot{P}_{b}^{GR} = (-2.58^{+0.07}_{-0.11}) \times 10^{-13} \text{ s s}^{-1}$$

 $\dot{P}_{b}/\dot{P}_{b}^{GR} = 1.05 \pm 0.18$

5 I

Evidencia de su existencia:



El Púlsar Doble: PSR J0737-3039A/B

$$dP_b/dt = (-1.248\pm0.001) \times 10^{-12}$$

Acuerdo con la Relatividad General al 0.1%!



PSR J0348+0432: Un sistema binario de un púlsar con una enana blanca

$$\dot{P}_{b}^{GR} = (-2.58^{+0.07}_{-0.11}) \times 10^{-13} \text{ s s}^{-1}$$

 $\dot{P}_{b}/\dot{P}_{b}^{GR} = 1.05 \pm 0.18$

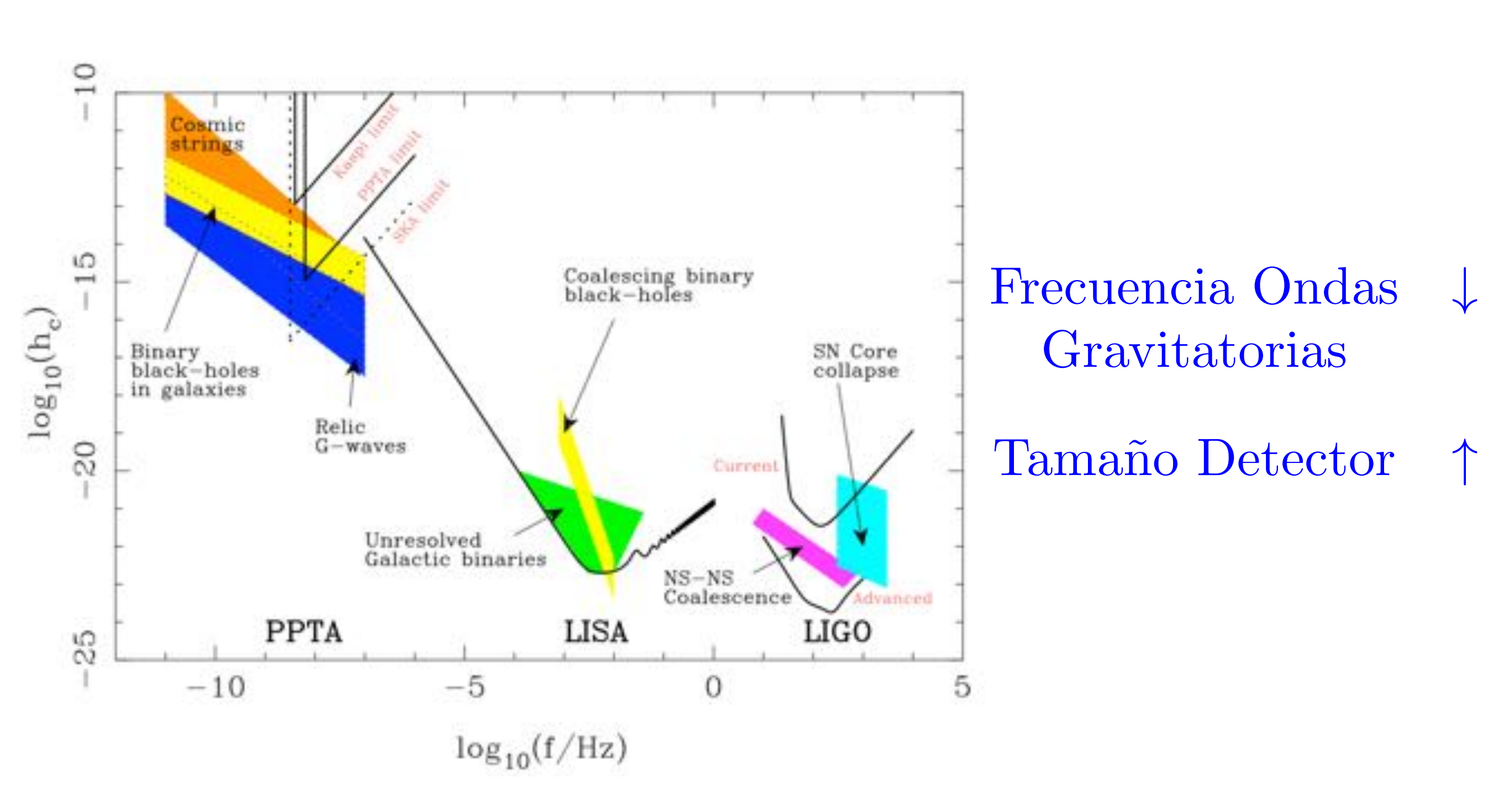
Regimen no lineal, aunque campo débil!

 Principal Objetivo: Detección y Análisis de Radiación Gravitatoria proveniente de Fuentes Astrofísicas y Cosmológicas para producir descubrimientos con impacto en Astrofísica, Cosmología y Física Fundamental.

Un nuevo mensajero para la Astronomía de Múltiples Mensajeros.

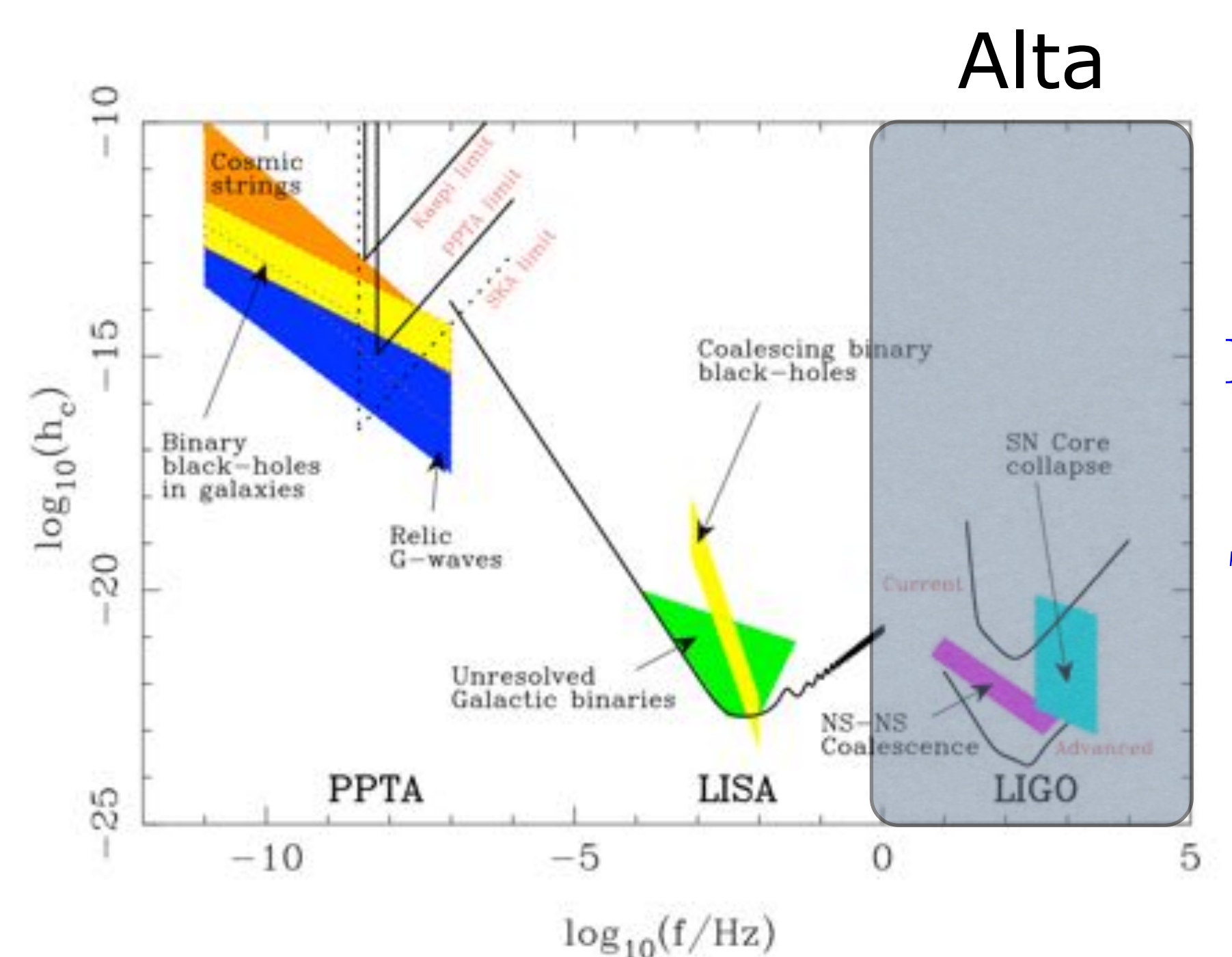
Detectores de Ondas Gravitatorias

• Espectro de las Ondas Gravitatorias:



Banda

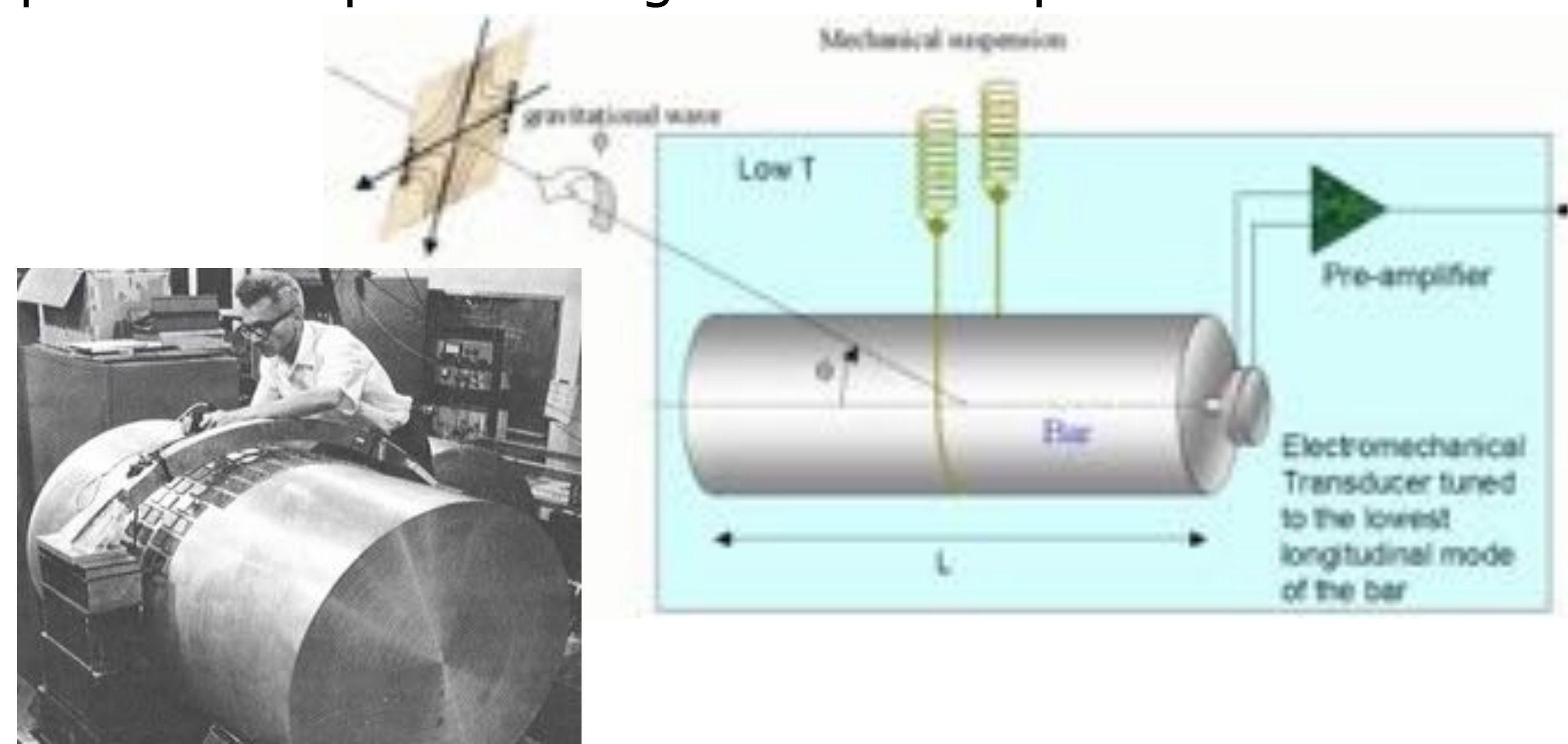
Espectro de las Ondas Gravitatorias:



Frecuencia Ondas Gravitatorias

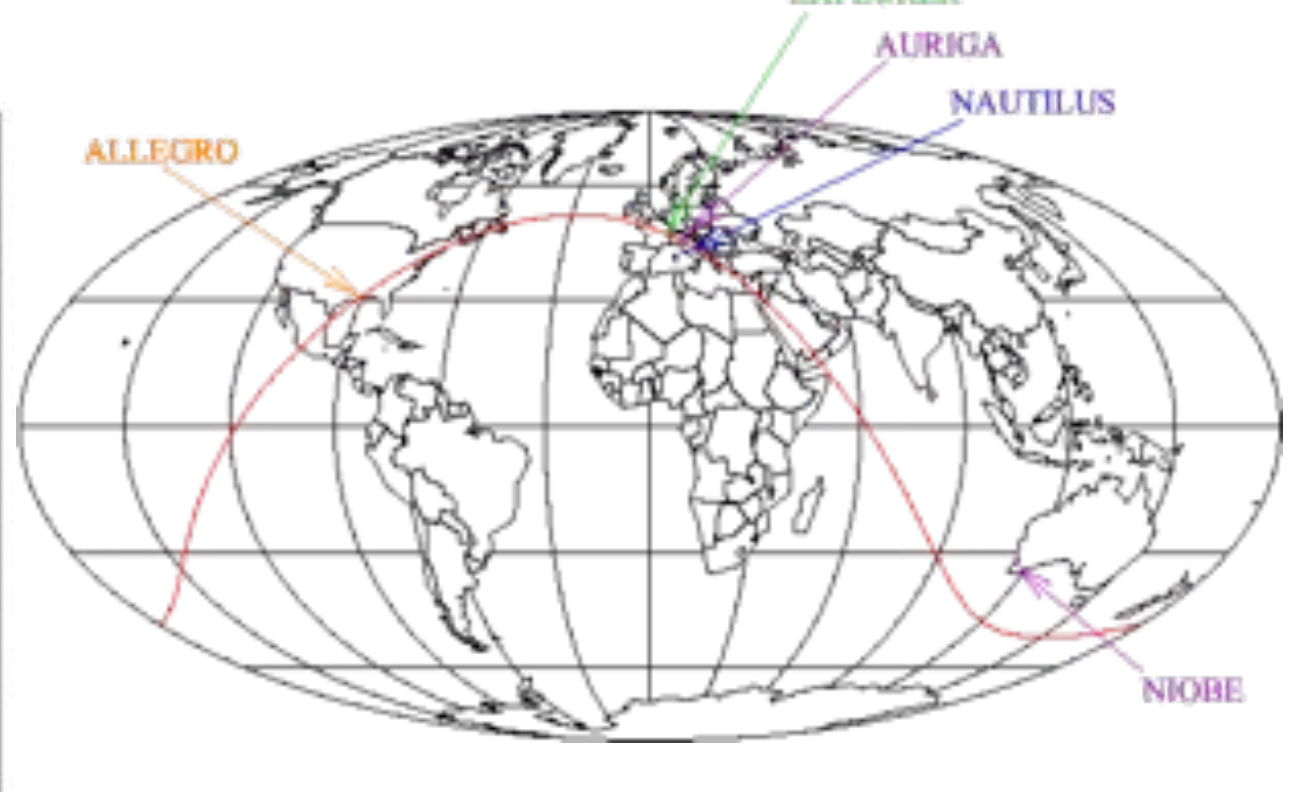
Tamaño Detector

• Detectores Resonantes: Introducidos por Joseph Weber en los 60s. Se miden las deformaciones longitudinales de una barra típicamente cilíndrica producidas por ondas gravitatorias que la atraviesan.

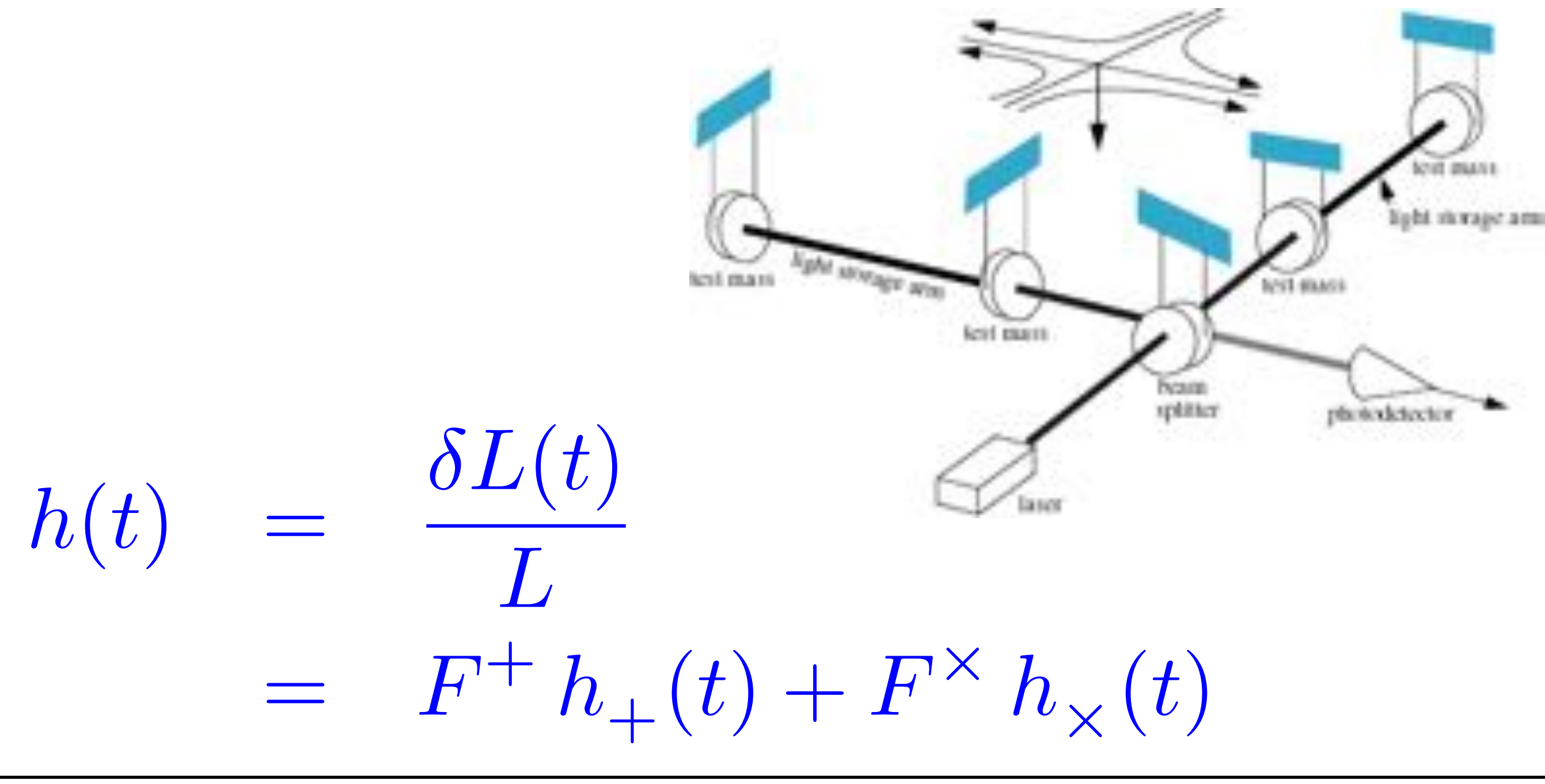


- Detectores Resonantes:
 - Aspectos positivos: Bajo coste; capacidad de construir una red de detectores; tecnología muy desarrollada; décadas de experiencia.
 - Aspectos negativos: Alta dependencia direccional; sensibilidad limitada (galaxia); banda estrecha; posibilidades de mejora muy limitadas.

	AURIGA	NAUTILUS	EXPLORER	ALLEGRO	NIOBE
Bar Material	Al5056	Al5056	Al5056	Al5056	Nb
Bar Mass M[kg]	2230	2260	2270	2296	1500
Bar Length L [m]	2.9	3.0	3.0	3.0	2.75
Frequency - [Hz]	912	908	905	895	694
Frequency + [Hz]	930	924	921	920	713
Q __ [10 ⁶]	3	0.5	1.5	2	20
Bar Temperature [K]	0.25	0.1	2.6	4.2	5
Latitude	45°21'12"N	41°49'26"N	46°27'00"N	30°27'00"N	31°56'00"S
Longitude	11°56'54"	12°40'21"	6°12'00"	268°50'00"	115°49'00"
Azimuth	44°	44°	39°	-40°	0°
Misalignment (*)	5°	2°	3°	6°	16°



• Interferometría láser: Las fuerzas de marea producidas por las Ondas Gravitatorias encogen un brazo y estiran el otro de forma alternada.



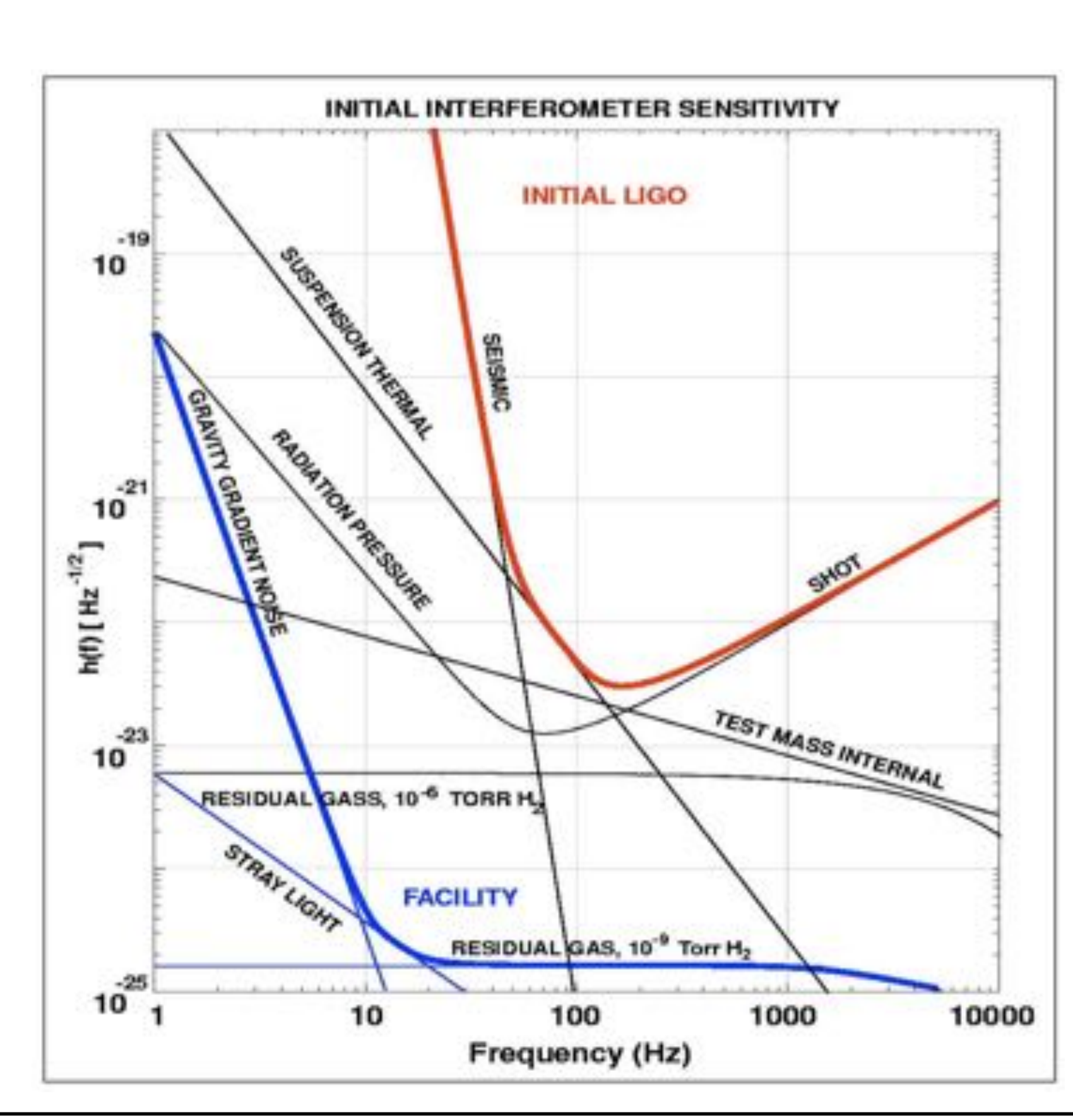
• Fuentes de Ruido:

Bajas frecuencias: Ruido sísmico y gradiente gravitatorio newtoniano (actividad humana, movimientos atmosféricos, etc).

Altas frecuencias: La sensibilidad se degrada rápidamente a causa del ruido del láser (fluctuaciones en el número de fotones utilizados en la medición).

Frecuencias intermedias:

Excitación térmica de modos normales de los espejos (masas test) y de las suspensiones.



•LIGO [USA]: El Laser Interferometer Gravitational-Wave Observatory consiste en 3 interferómetros: uno de 4 km en Livingston (Louisiana), y un par (de 4 km y 2 km) en Hanford (Washington). Las instalaciones están separadas por 3000 Km (10 ms), de forma que permite el análisis de coincidencias.









LIGO Hanford

LIGO Livingston

59

•<u>Virgo</u> [Italia + Francia + (Holanda + Hungría + Polonia) = <u>European</u> Gravitational Observatory (EGO)]: Un detector de 3 Km cerca de Pisa (Italia). La principal diferencia con LIGO es la sofisticación del sistema de aislamiento sísmico (mejor sensibilidad a bajas frecuencias).







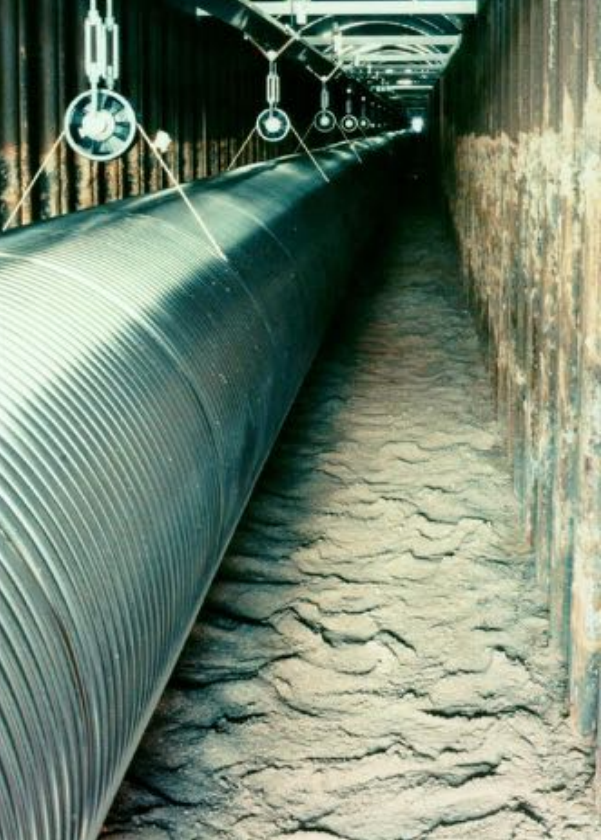


Virgo

•GEO600 [Alemania+Reino Unido]: Un detector de 600m cerca de Hannover (Alemania). Desde Septiembre de 2011, GEO600 está en el llamado programa Astrowatch. Mientras LIGO y Virgo se actualizan a sus configuraciones avanzadas, GEO600 es el único detector en operación. GEO también está siendo actualizado (GEO-HF) pero continua operando y consiguiendo datos de alta calidad durante la mayor parte del tiempo.









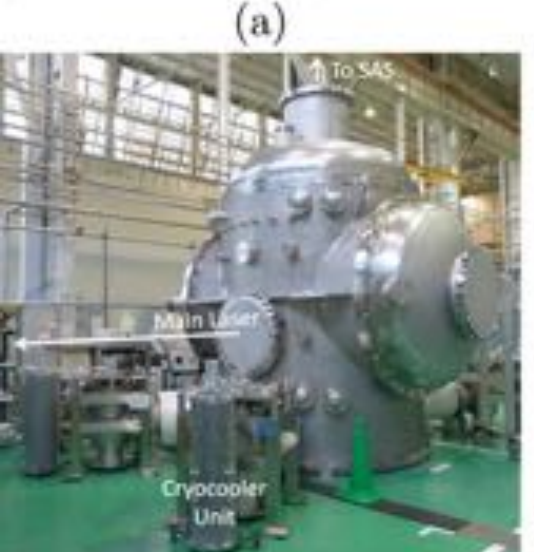


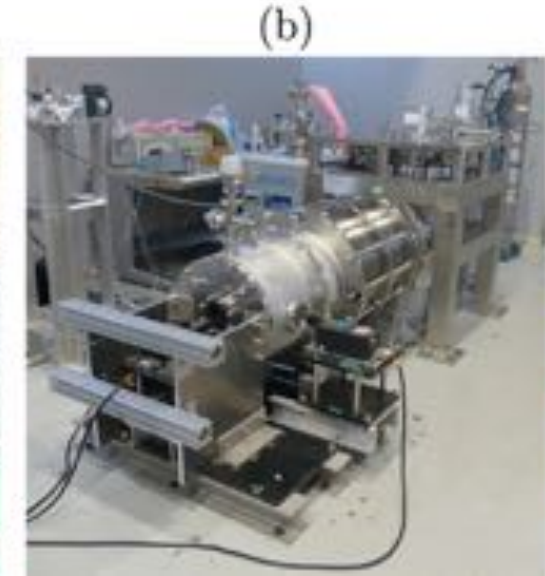
*KAGRA [Japón]: KAGRA tiene dos conjuntos de detectores interferómetricos de 3 km de brazo. Se construye en los túneles de la mina de Kamioka. Usa espejos criogénicos.



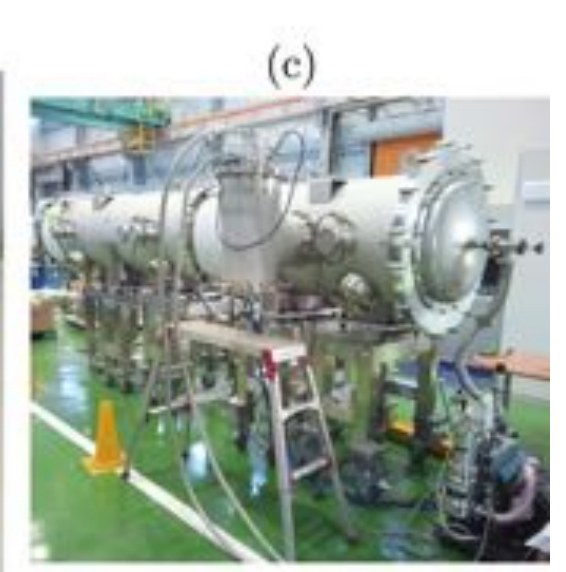






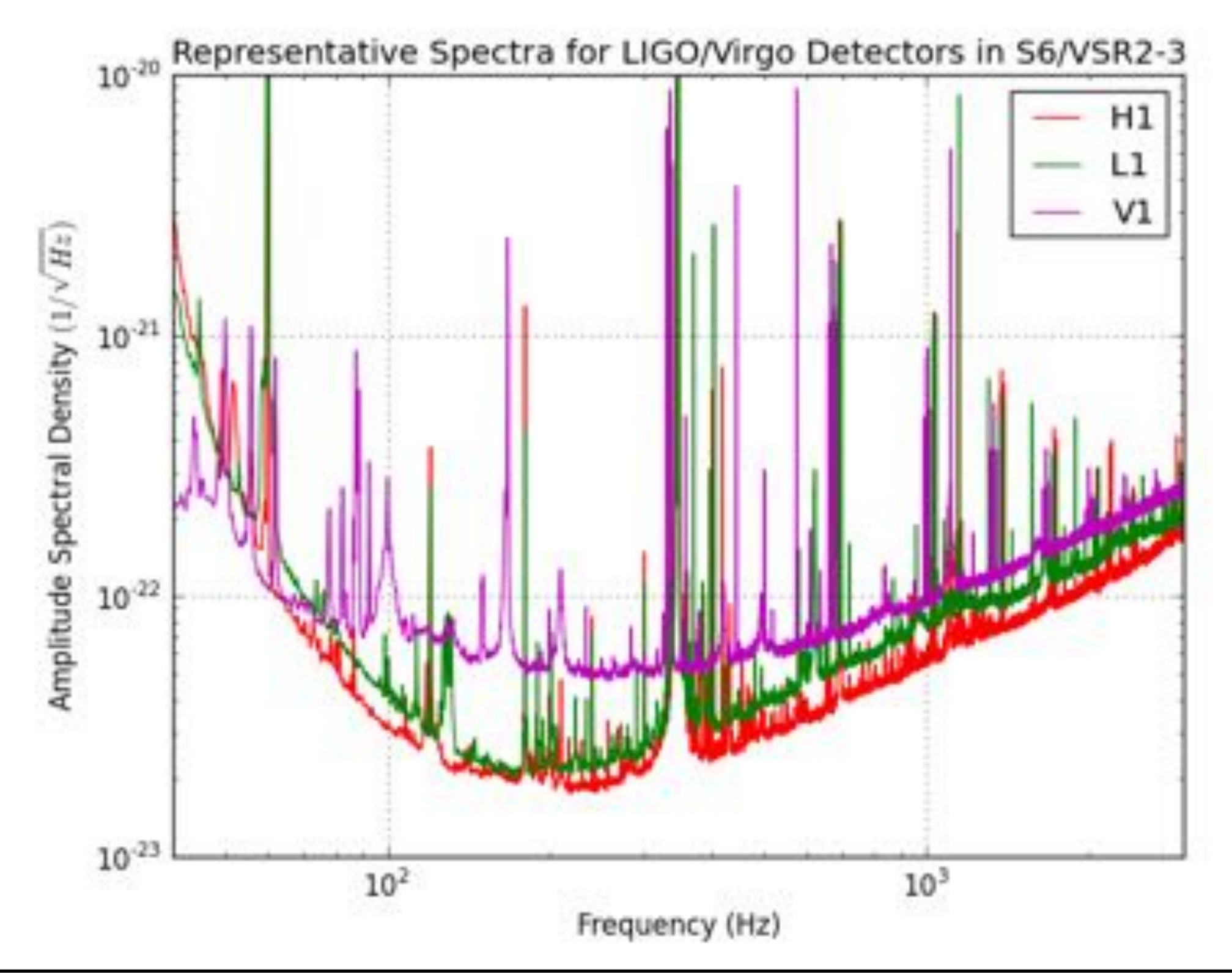




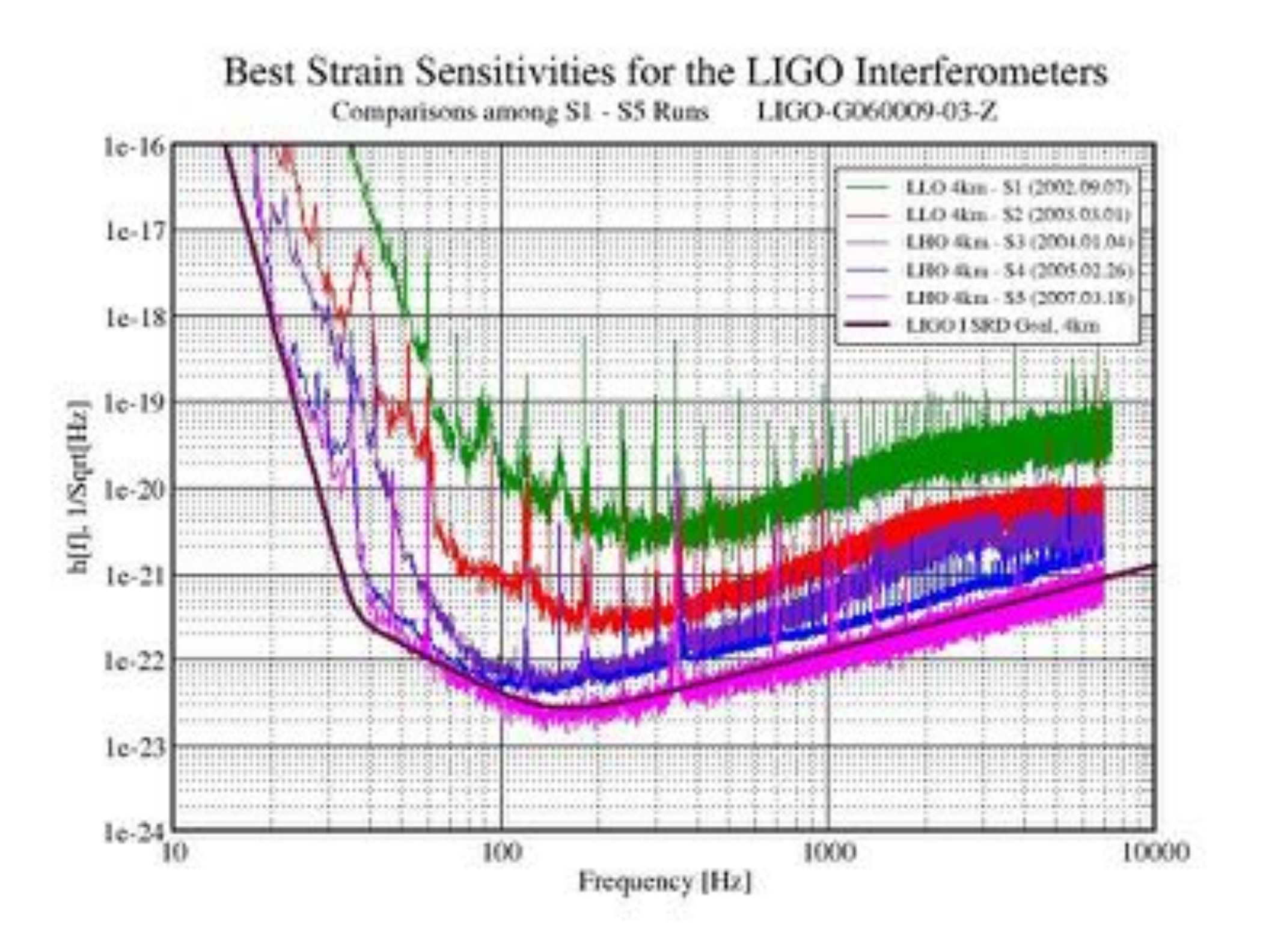


• Últimos Science Runs de los Detectores Iniciales (LIGO y Virgo):

• Últimos Science Runs de los Detectores Iniciales (LIGO y Virgo):



• Últimos Science Runs de los Detectores Iniciales (LIGO y Virgo):



Carlos F. Sopuerta (CSIC-IEEC)

63

• Aunque no han habido detecciones, se ha podido realizar ciencia (LIGO y Virgo) con los límites establecidos a la emisión de ondas gravitatorias.

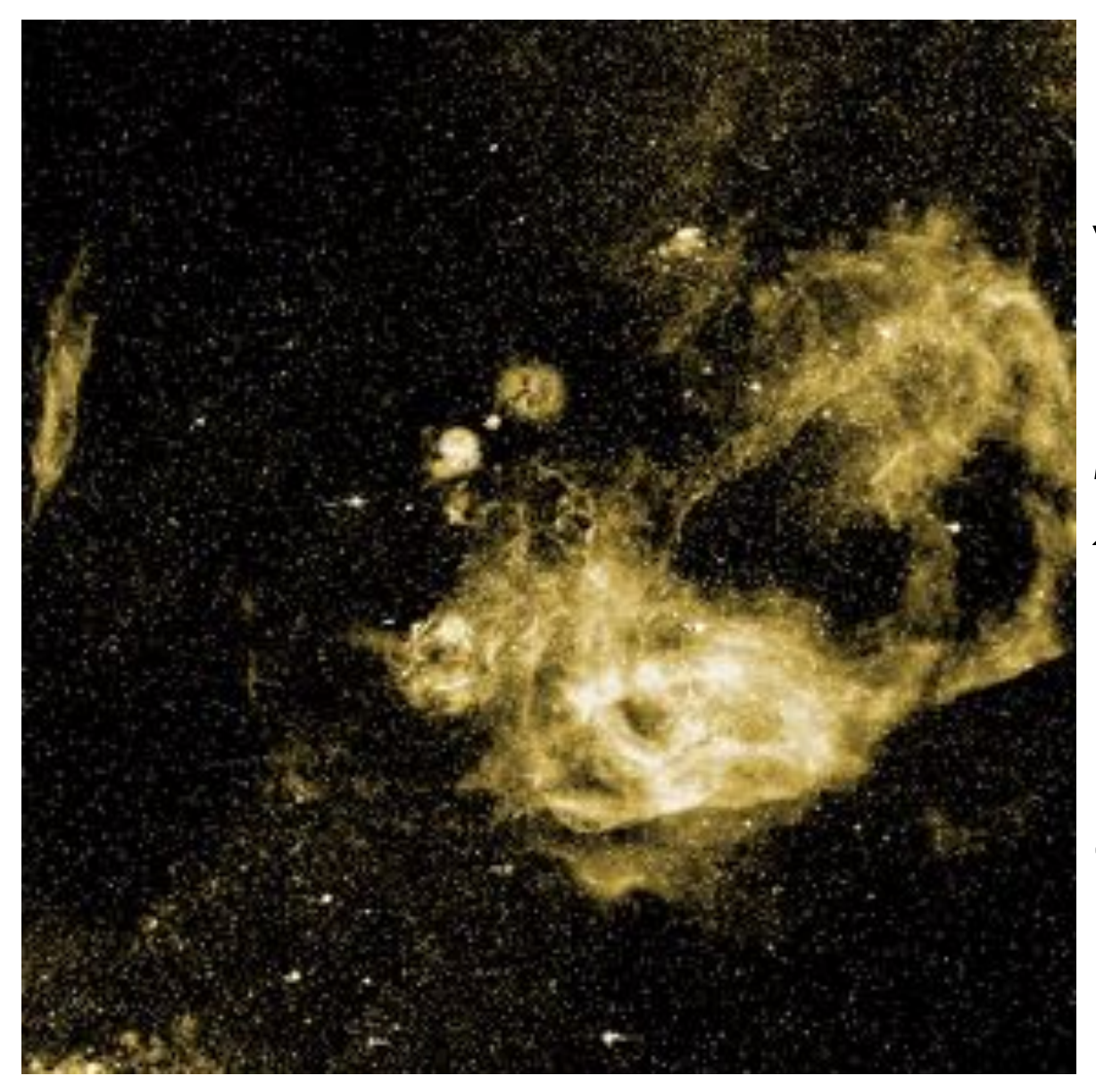
 Aunque no han habido detecciones, se ha podido realizar ciencia (LIGO y Virgo) con los límites establecidos a la emisión de ondas gravitatorias.



Crab Nebula: La rotación del púlsar disminuye. Las observaciones de LIGO demuestran que sólo 4% de la energía rotacional perdida puede ser debida a la emisión de OGs. [Astrophys.J.683:L45-L50,2008]

Crab Nebula -> Pulsar Spinning down

 Aunque no han habido detecciones, se ha podido realizar ciencia (LIGO y Virgo) con los límites establecidos a la emisión de ondas gravitatorias.

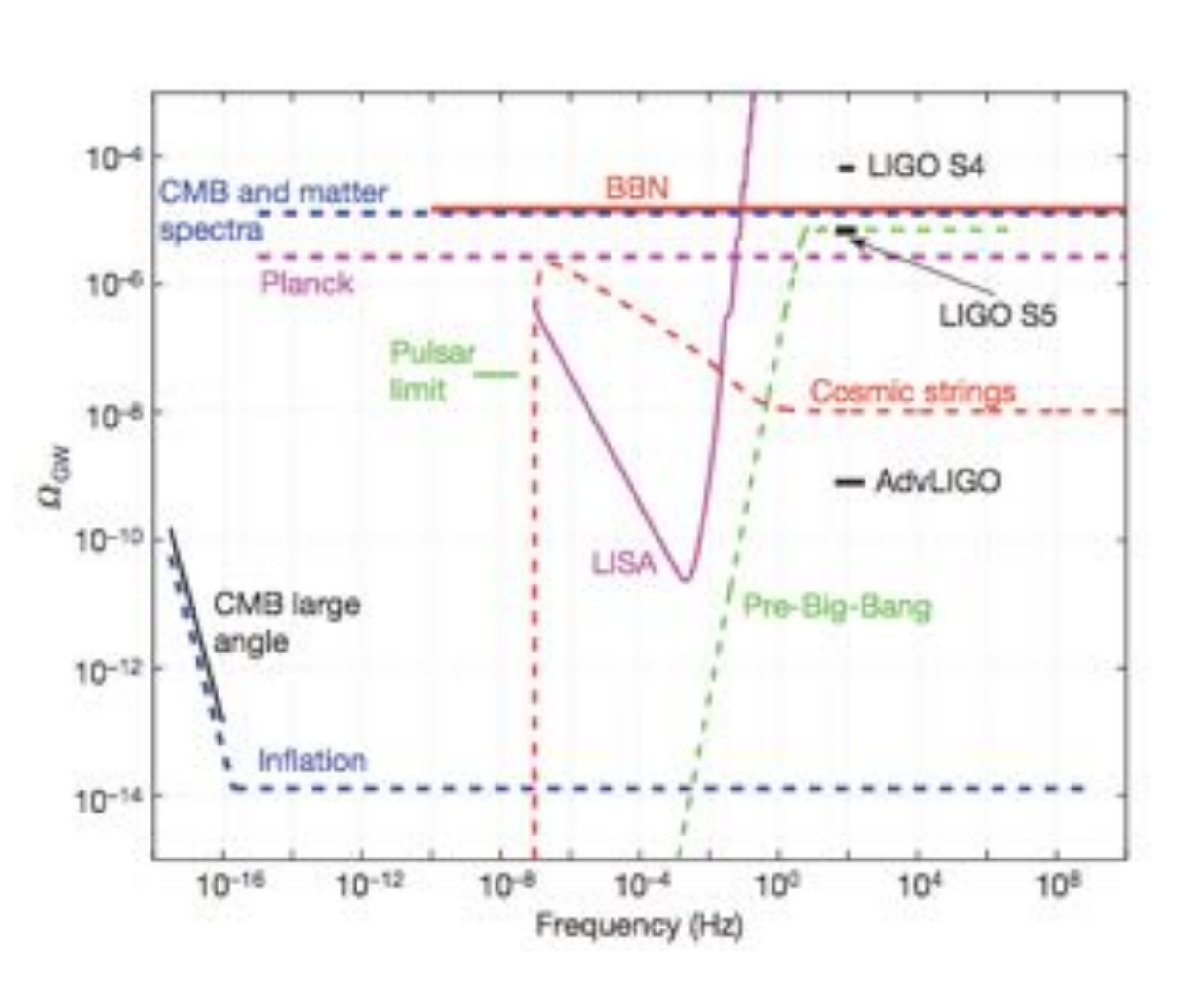


Vela Púlsar: Más recientemente (2011), Virgo ha superado el spindown limit de este púlsar. Se han puesto también límites a la elipticidad del púlsar (lo cual también limita la magnitud de la emisión de ondas continuas)

Astrophys.J.**737**:93,2011

(Credit: NOAO/CTIO)

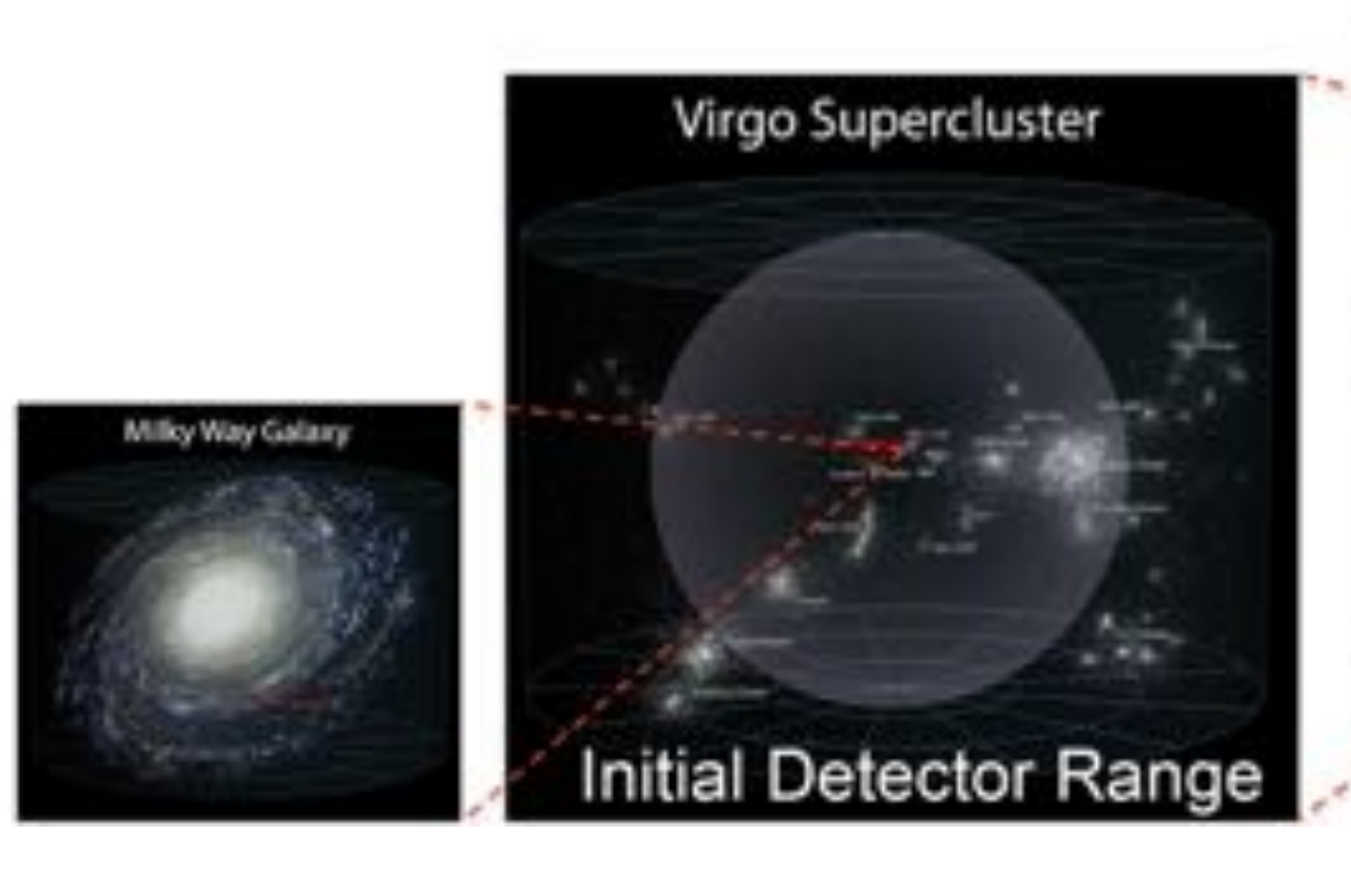
 Aunque no han habido detecciones, se ha podido realizar ciencia (LIGO y Virgo) con los límites establecidos a la emisión de ondas gravitatorias.

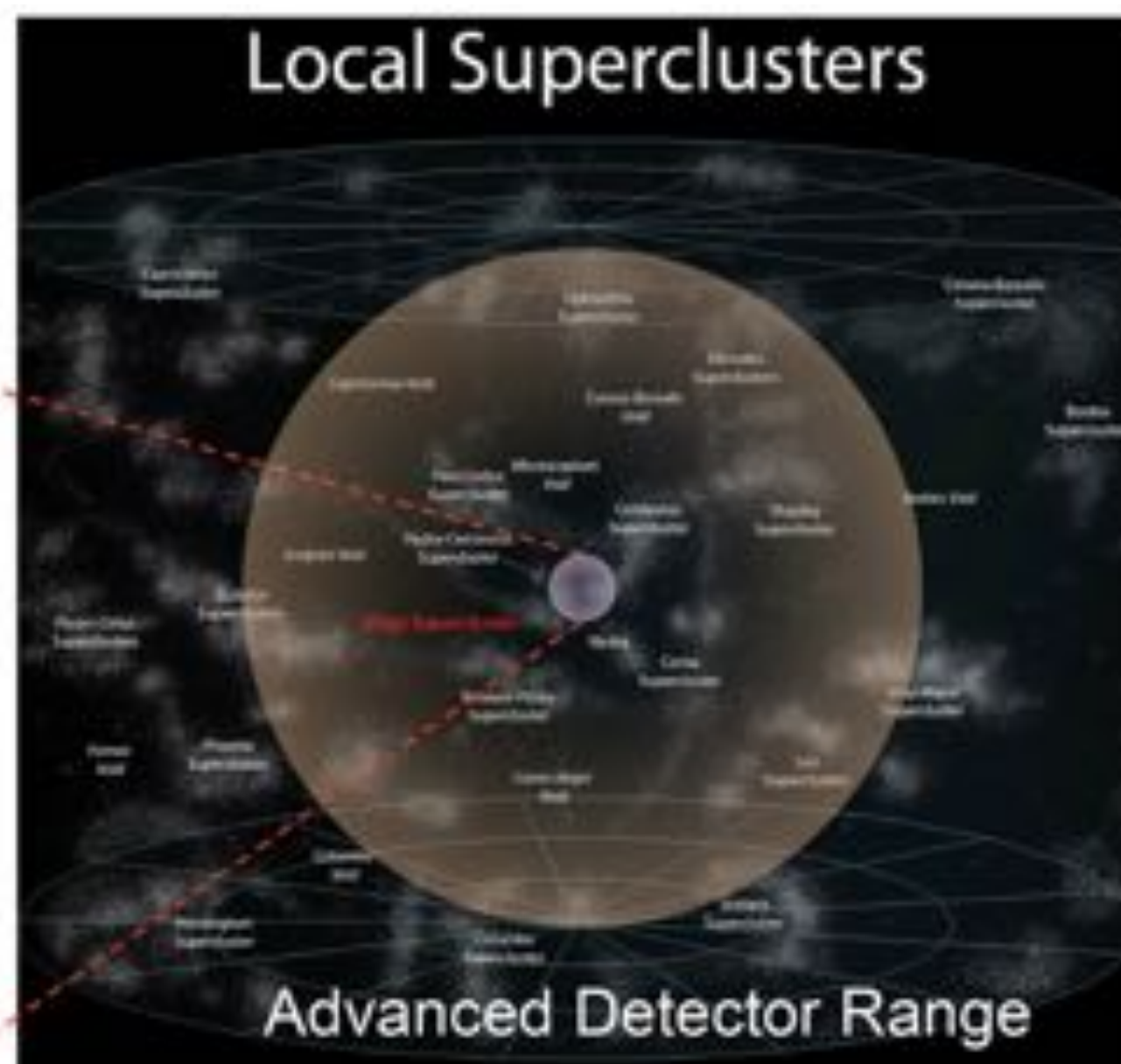




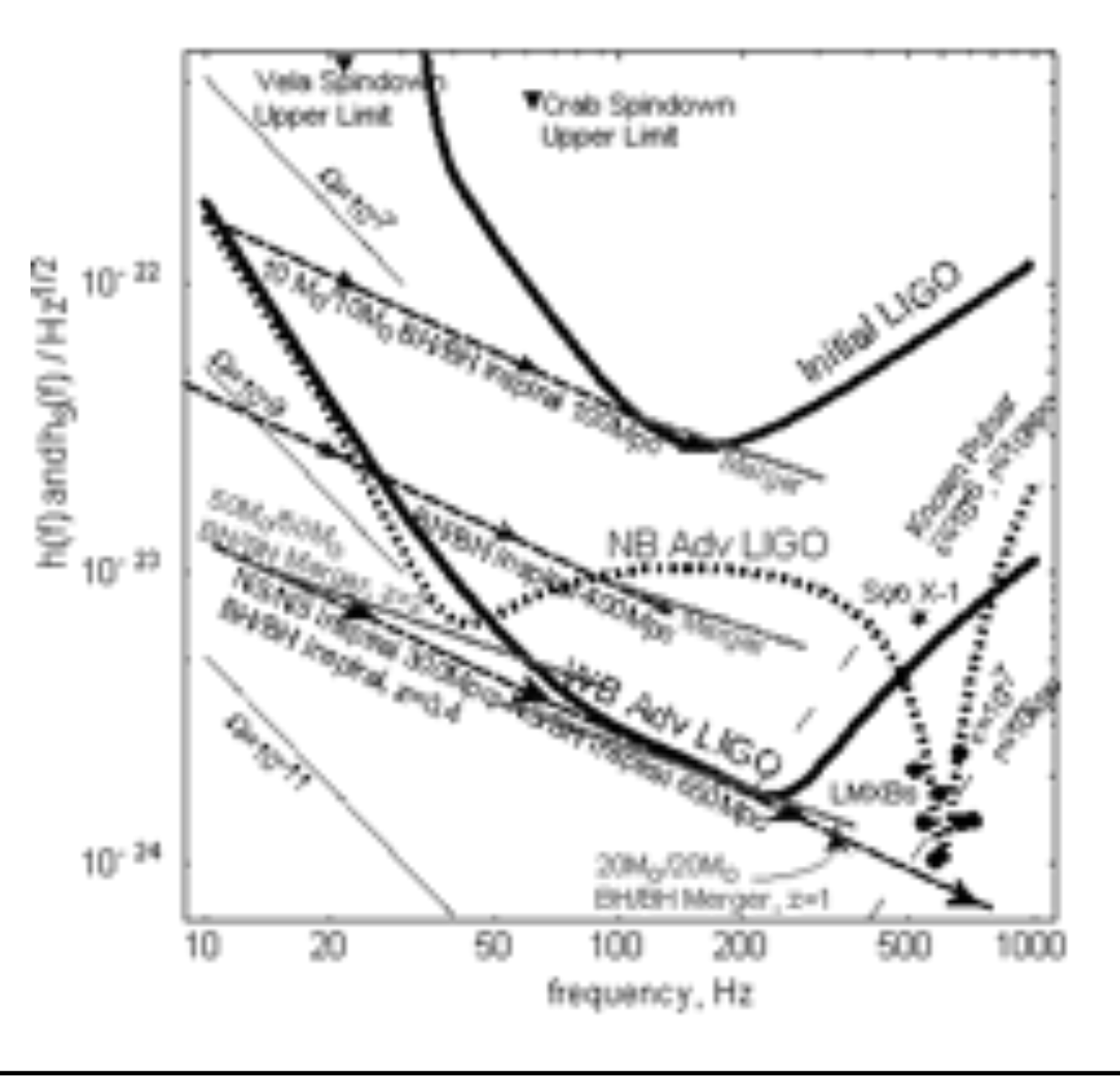
Mejor Límite, durante un tiempo, a Fondos Estocásticos de Ondas Gravitatorias de origen primordial (cosmológico).

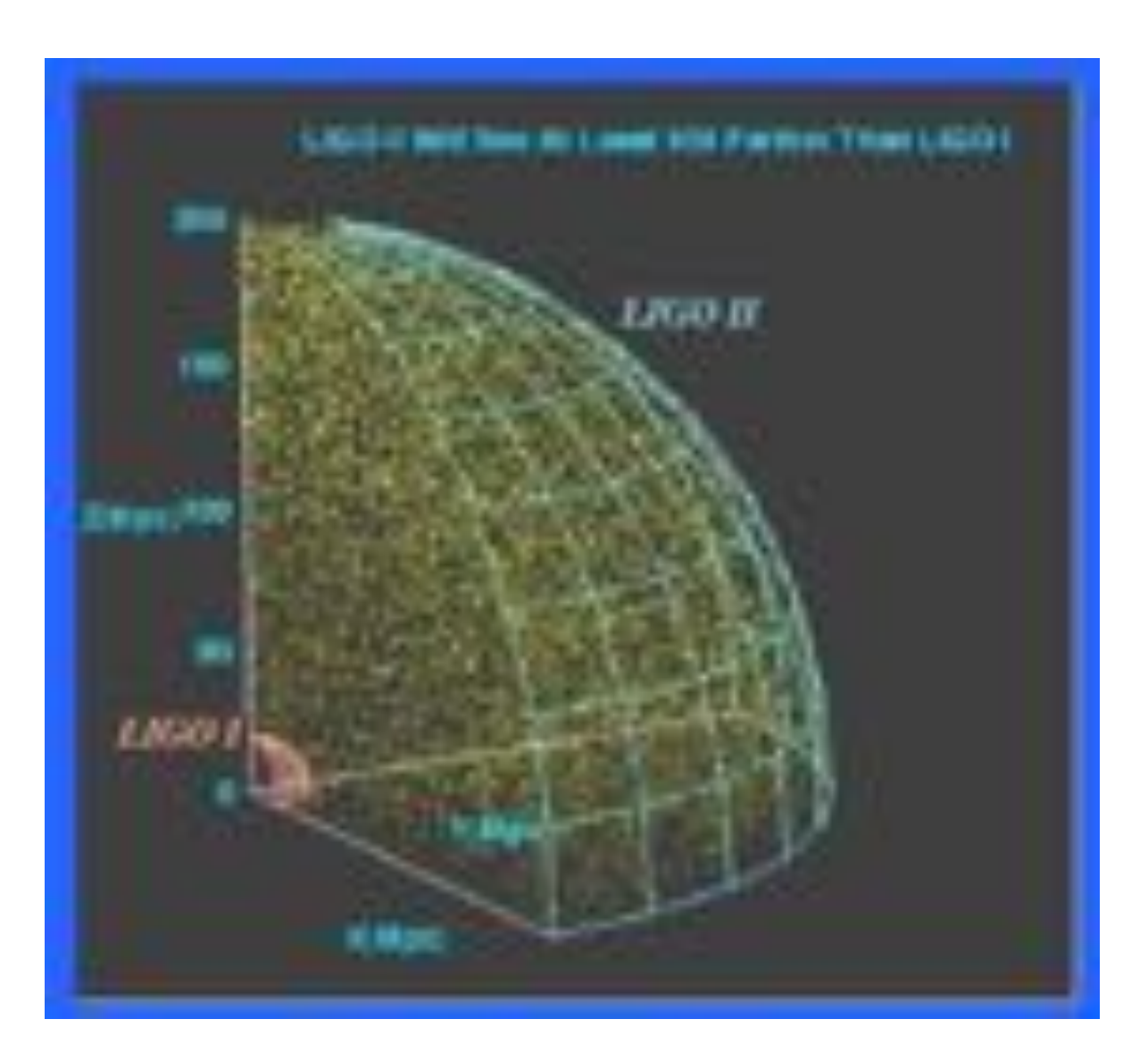
* Universo Observable para Detectores terrestres:





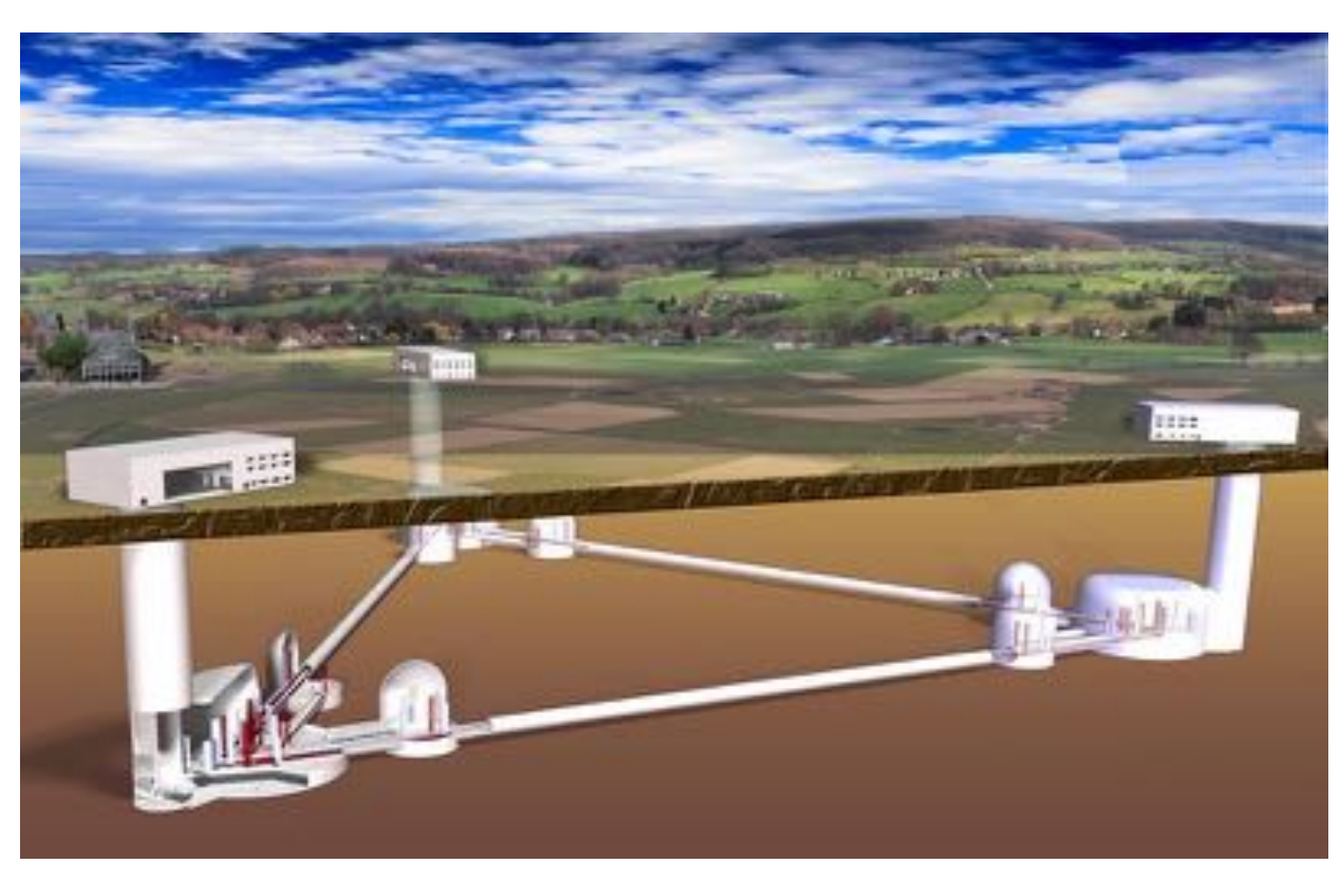
* LIGO vs aLIGO:

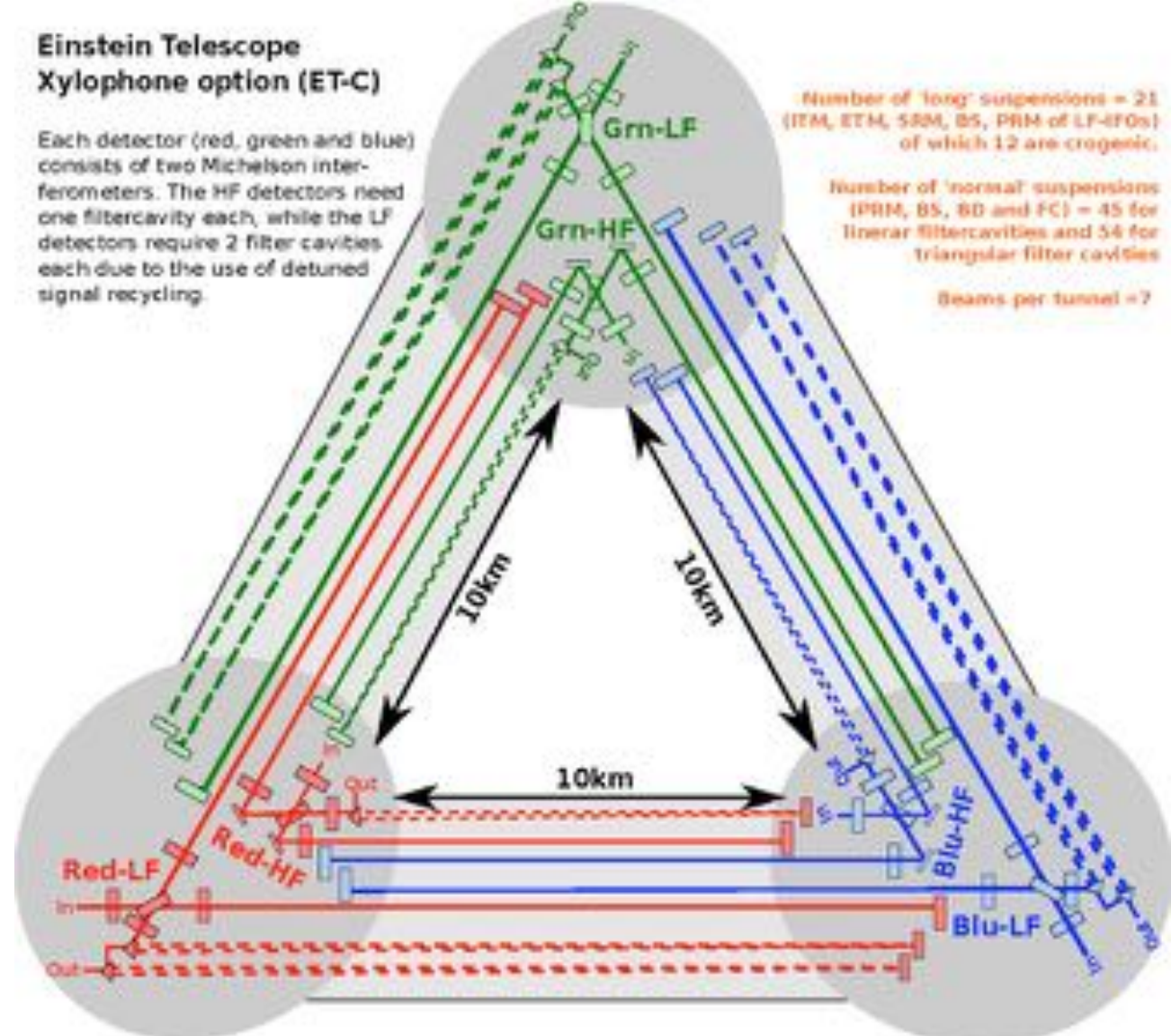




•Advanced LIGO (aLIGO) va según calendario (¡y dentro del presupuesto!) y comienza operaciones este mismo año (Run OI en Septiembre, 3 meses y 2 detectores). Debería alcanzar la sensibilidad final de diseño en 2-4 años. Advanced Virgo va I-2 años detrás de aLIGO. KAGRA va también 2-3 años por detrás. Las primeras detecciones se esperan antes del final de la presente década.

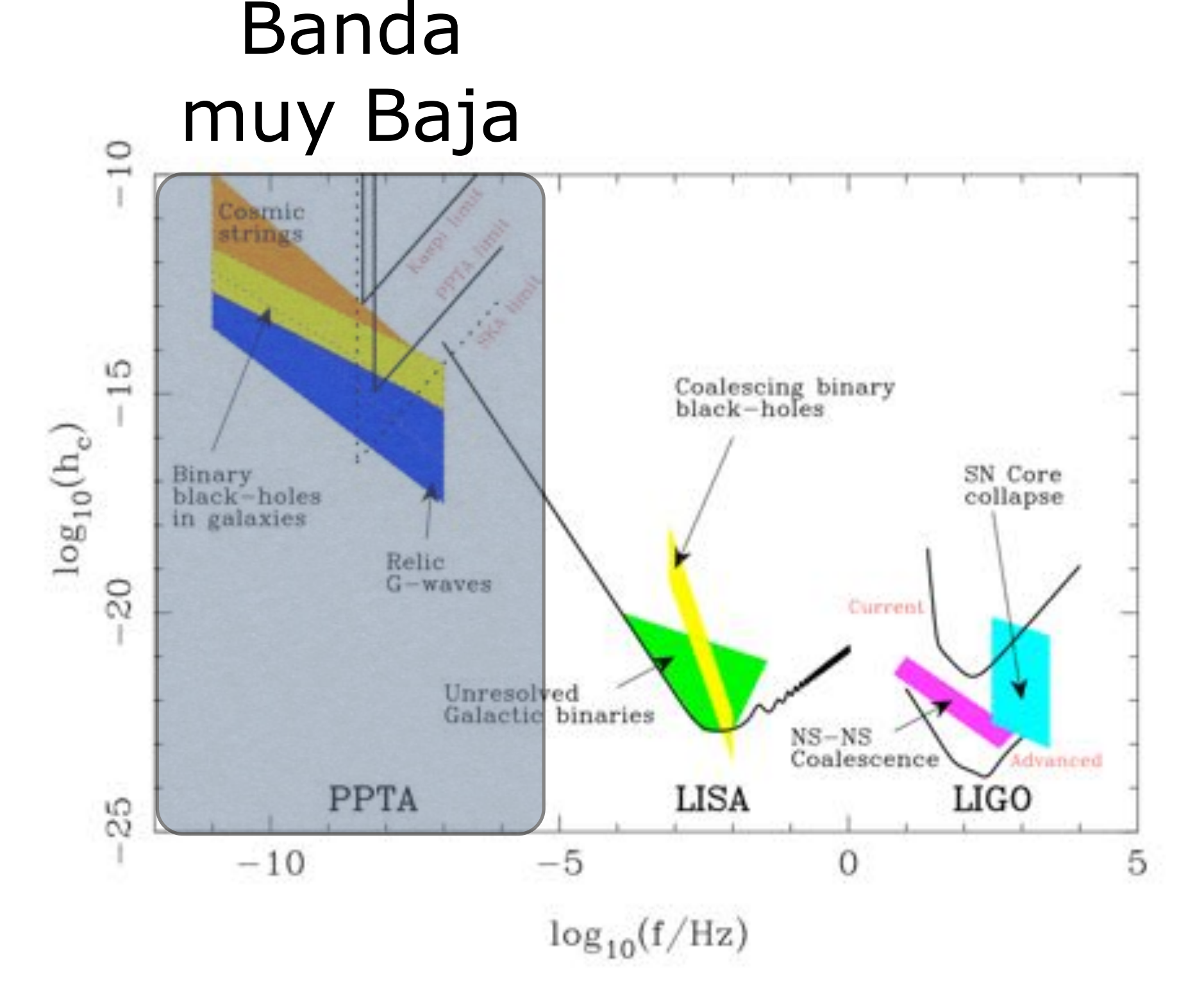
*Einstein Telescope (ET) [EGO]: Detector de tercera generación. Se ha realizado un estudio de diseño conceptual (dentro del FP7). Está en el ASPERA *roadmap*.



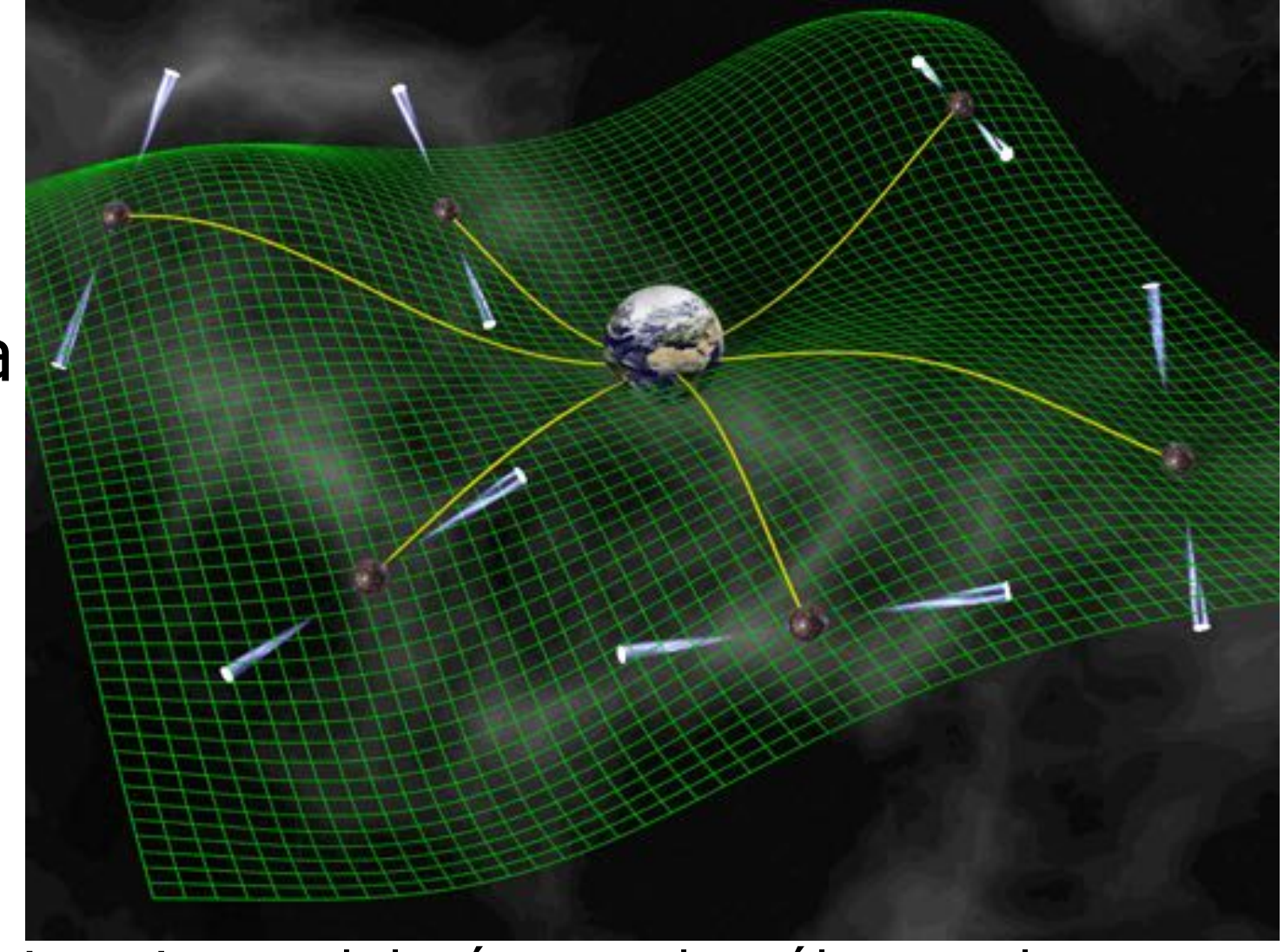


ET

• Espectro de las Ondas Gravitatorias:

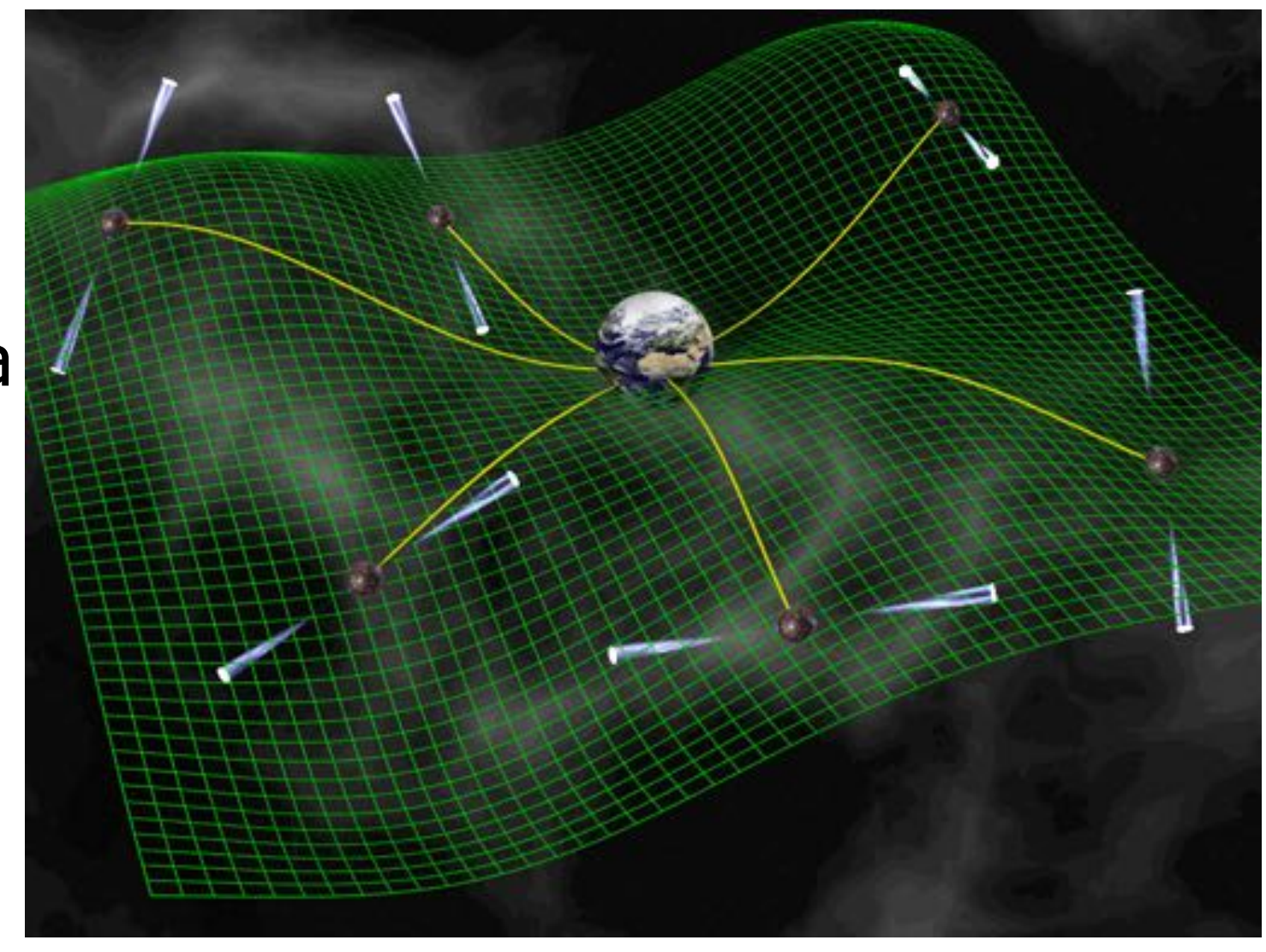


- Pulsar Timing Arrays:
- DGs de frecuencia muy baja inducirán residuos en la cronometración de pulsares que pueden ser detectadas mediante medidas de muy alta precisión.



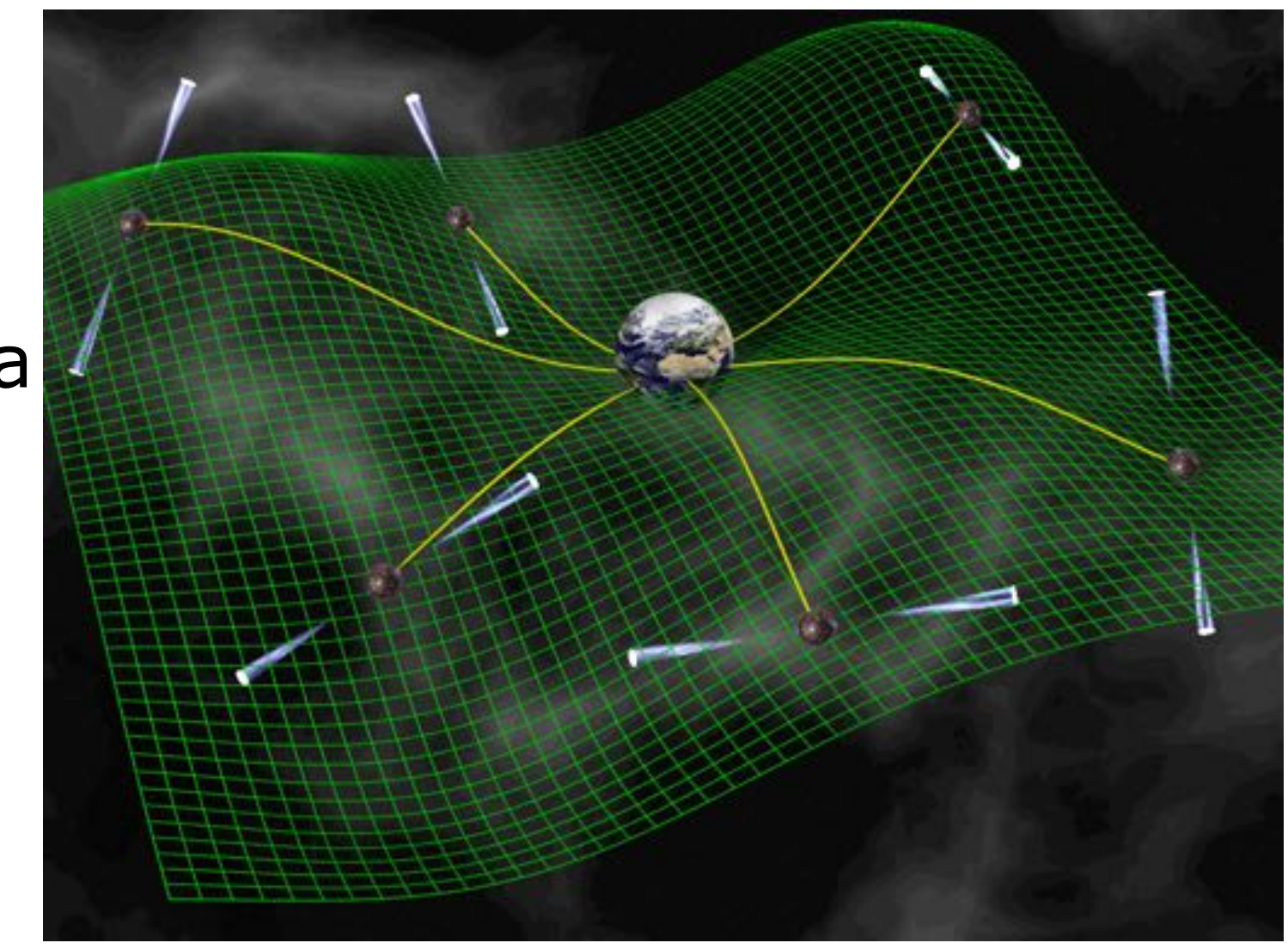
- Estudios recientes han producido estimaciones del número de púlsares, la precisión en la cronometración y duración de las medidas necesarias para hacer una detección estadísticamente significativa de un fondo de radiación gravitatoria producido por la coalescencia de sistemas binarios de agujeros negros supermasivos.
- ▶ Se ha concluido que se necesitan al menos 20 púlsares con periodos del orden de ~ms, observados durante 5-10 años con una precisión en la cronometración de 100 ns.

- Pulsar Timing Arrays:
- DGs de frecuencia muy baja inducirán residuos en la cronometración de pulsares que pueden ser detectadas mediante medidas de muy alta precisión.



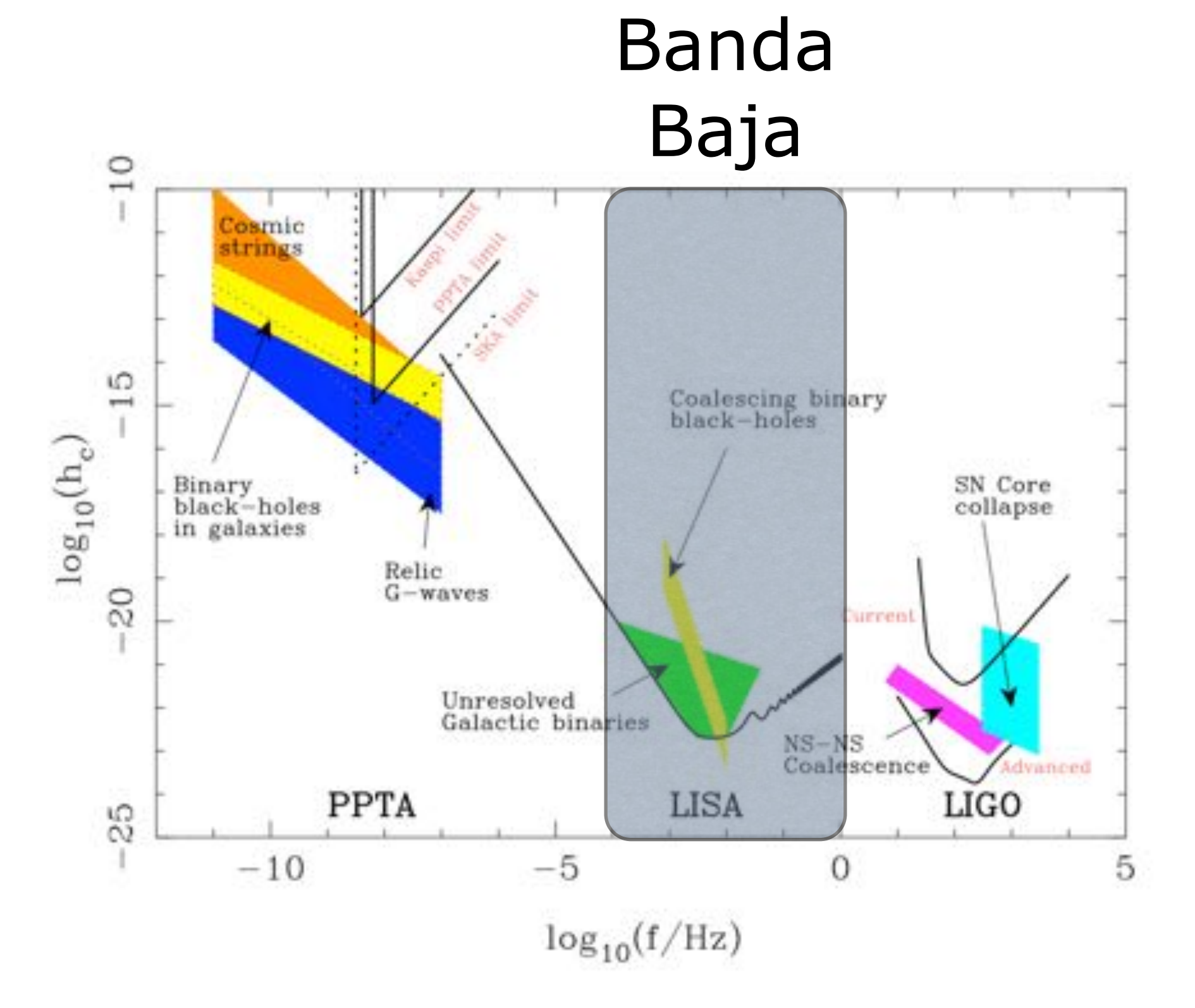
▶ Observatorios en operación: European Pulsar Timing Array (EPTA), el North American Nanohertz Observatory for Gravitational Waves (NANOGrav) y el Parkes Pulsar Timing Array (PPTA). Recientemente, estas colaboraciones han creado un consorcio de colaboración llamado International Pulsar Timing Array (IPTA).

- Pulsar Timing Arrays:
- DGs de frecuencia muy baja inducirán residuos en la cronometración de pulsares que pueden ser detectadas mediante medidas de muy alta precisión.



▶ Futuro: *Square Kilometer Array* (SKA)

• Espectro de las Ondas Gravitatorias:



THE GRAVITATIONAL UNIVERSE

A science theme addressed by the eLISA mission observing the entire Universe

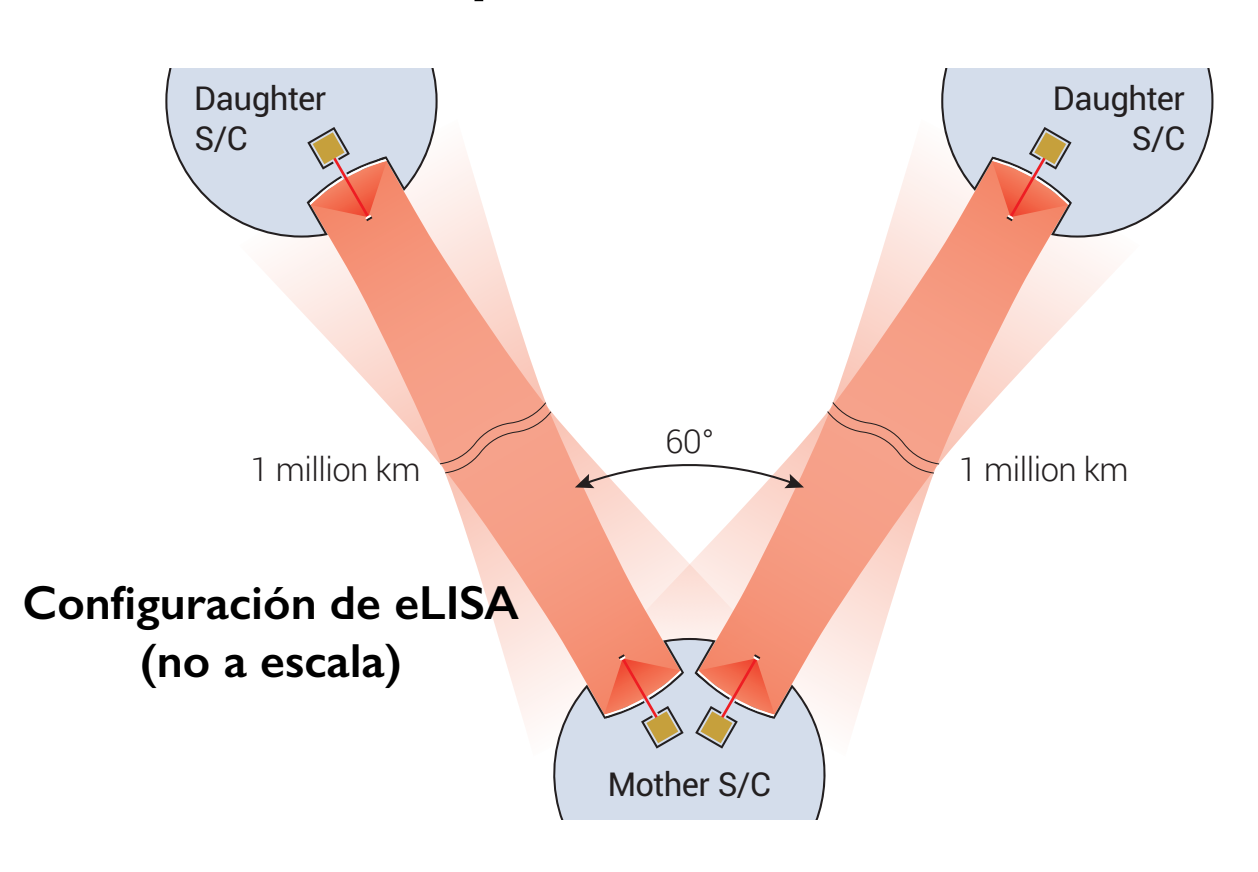


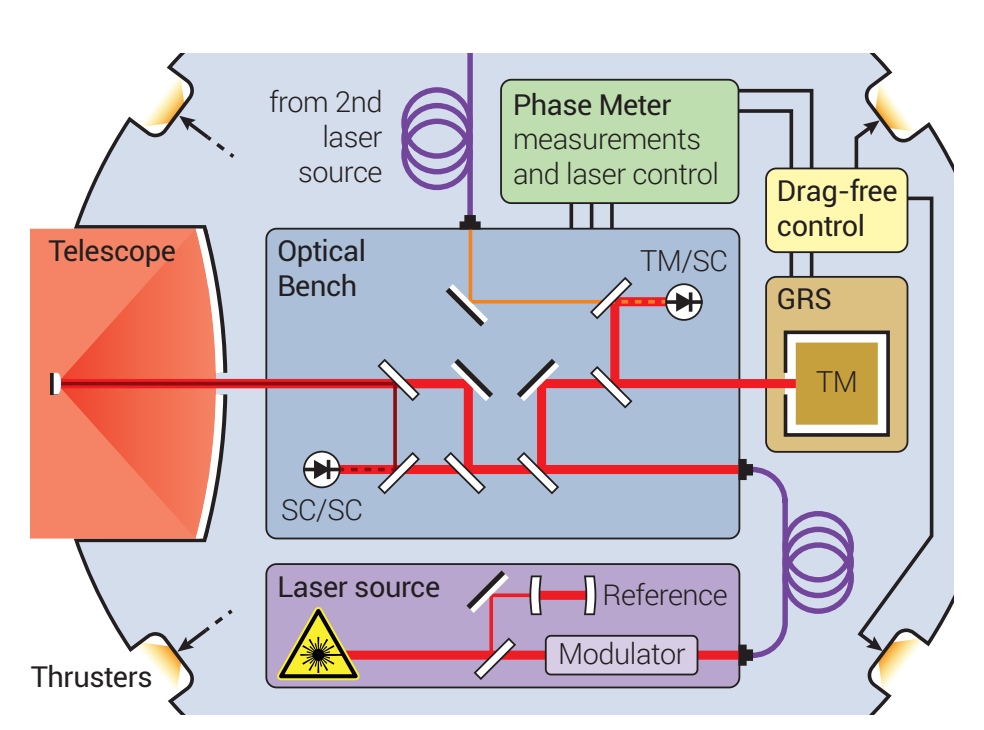
Prof. Dr. Karsten Danzmann Albert Einstein Institute Hannover MPI for Gravitational Physics and Leibniz Universität Hannover Callinstr. 38 30167 Hannover Germany

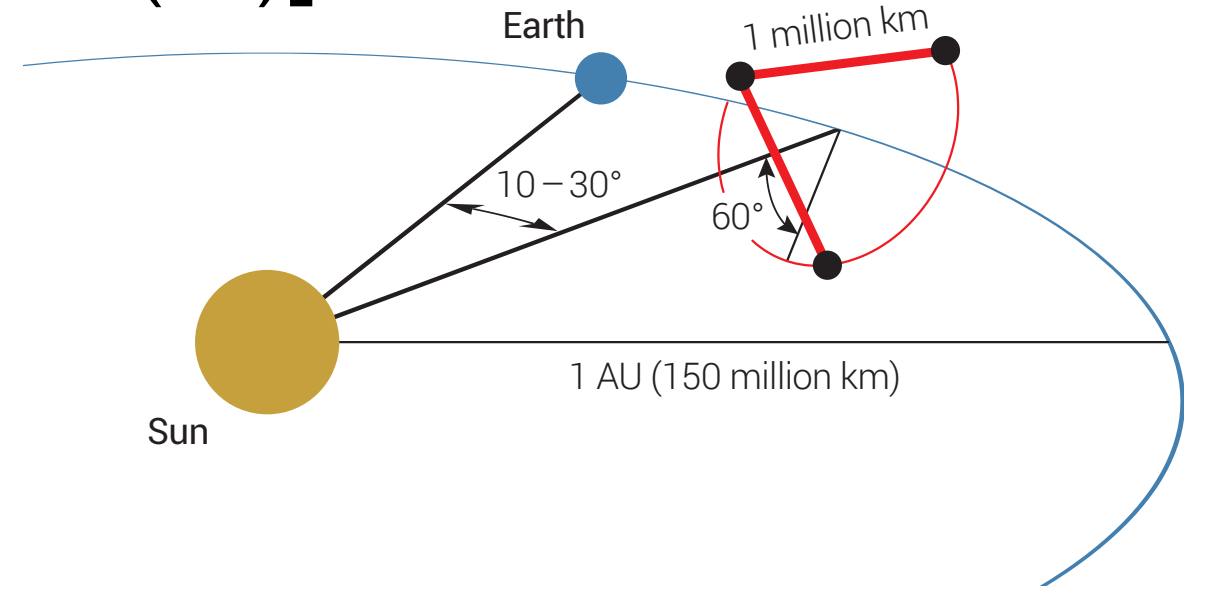
AUTHORS

Pau Amaro Seoane, Sofiane Aoudia, Gerard Auger, Stanislav Babak, Enrico Barausse, Massimo Bassan, Volker Beckmann, Pierre Binétruy, Johanna Bogenstahl, Camille Bonvin, Daniele Bortoluzzi, Julien Brossard, Iouri Bykov, Chiara Caprini, Antonella Cavalleri, Monica Colpi, Giuseppe Congedo, Karsten Danzmann, Luciano Di Fiore, Marc Diaz Aguilo, Ingo Diepholz, Rita Dolesi, Massimo Dotti, Carlos F. Sopuerta, Luigi Ferraioli, Valerio Ferroni, Noemi Finetti, Ewan Fitzsimons, Jonathan Gair, Domenico Giardini, Ferran Gibert, Catia Grimani, Paul Groot, Hubert Halloin, Gerhard Heinzel, Martin Hewitson, Allan Hornstrup, David Hoyland, Mauro Hueller, Philippe Jetzer, Nikolaos Karnesis, Christian Killow, Andrzej Krolak, Ivan Lloro, Davor Mance, Thomas Marsh, Ignacio Mateos, Lucio Mayer, Joseph Moerschell, Gijs Nelemans, Miquel Nofrarias, Frank Ohme, Michael Perreur-Lloyd, Antoine Petiteau, Eric Plagnol, Edward Porter, Pierre Prat, Jens Reiche, David Robertson, Elena Maria Rossi, Stephan Rosswog, Ashley Ruiter, B.S. Sathyaprakash, Bernard Schutz, Alberto Sesana, Benjamin Sheard, Ruggero Stanga, Tim Sumner, Takamitsu Tanaka, Michael Tröbs, Hai-Bo Tu, Daniele Vetrugno, Stefano Vitale, Marta Volonteri, Gudrun Wanner, Henry Ward, Peter Wass, William Joseph Weber, Peter Zweifel

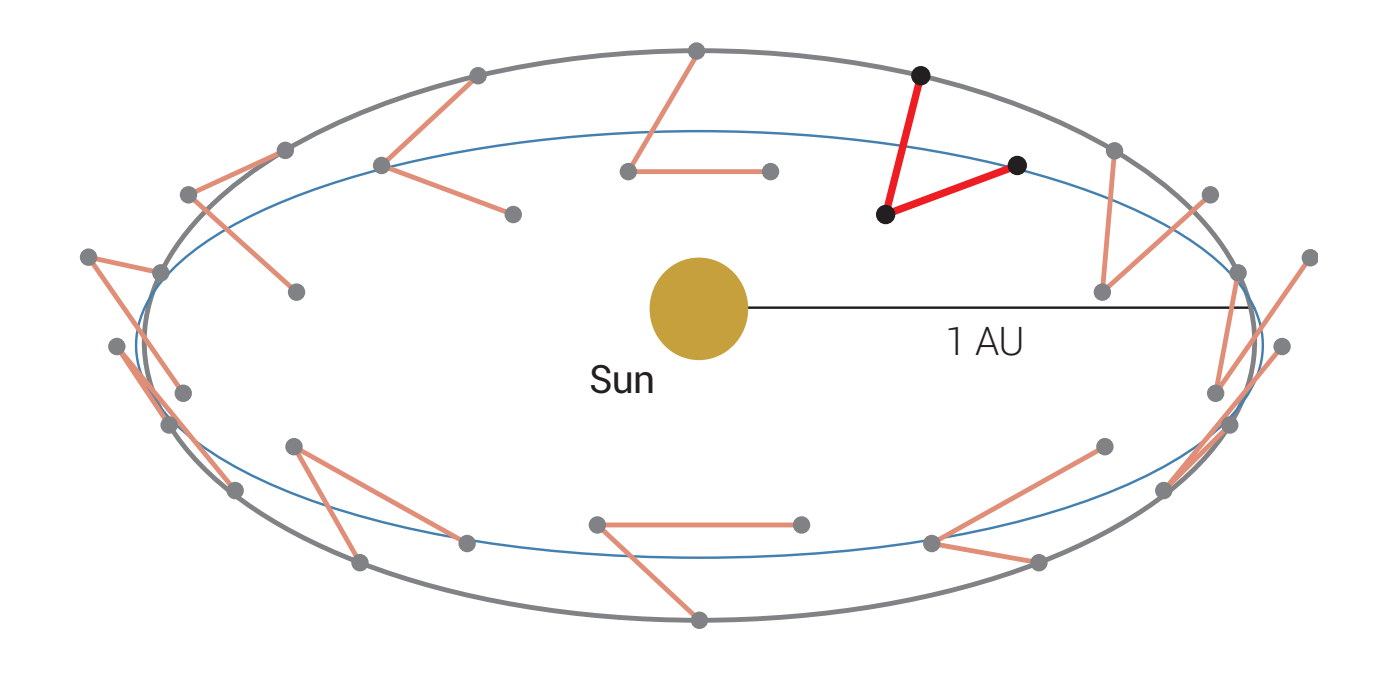
* El concepto de misión eLISA [NGO (LI)]:





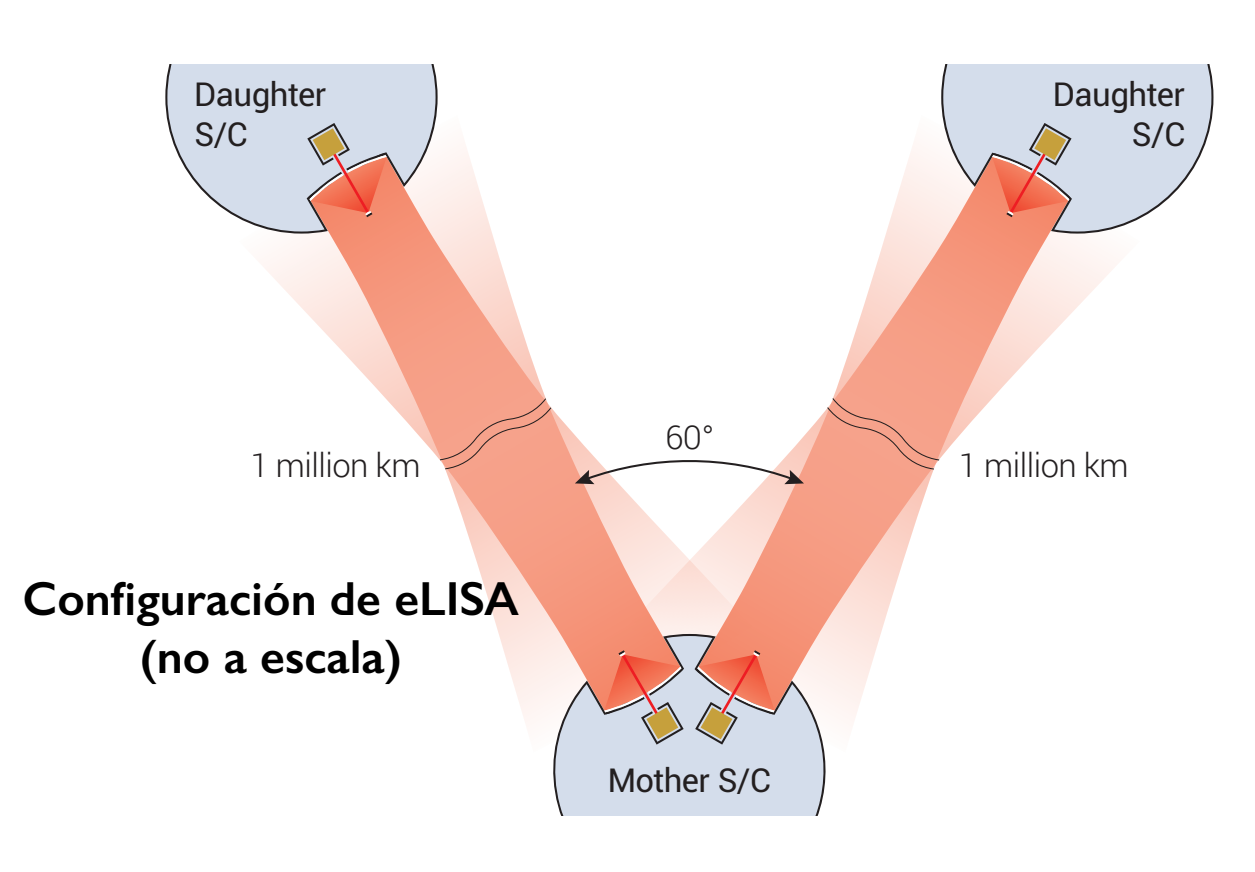


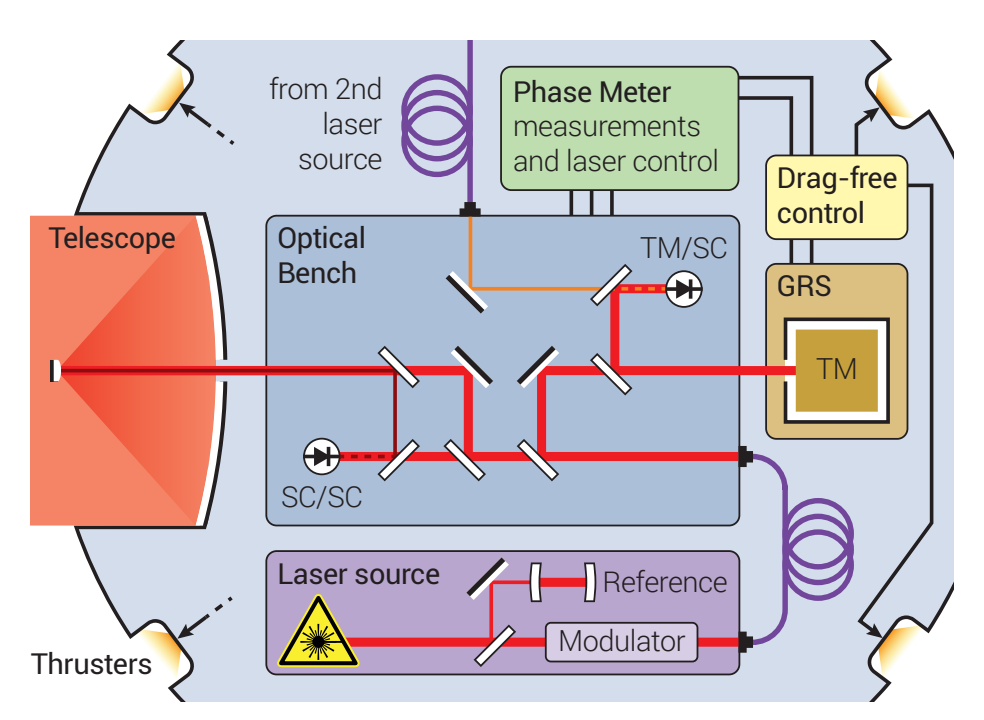
Órbita de eLISA

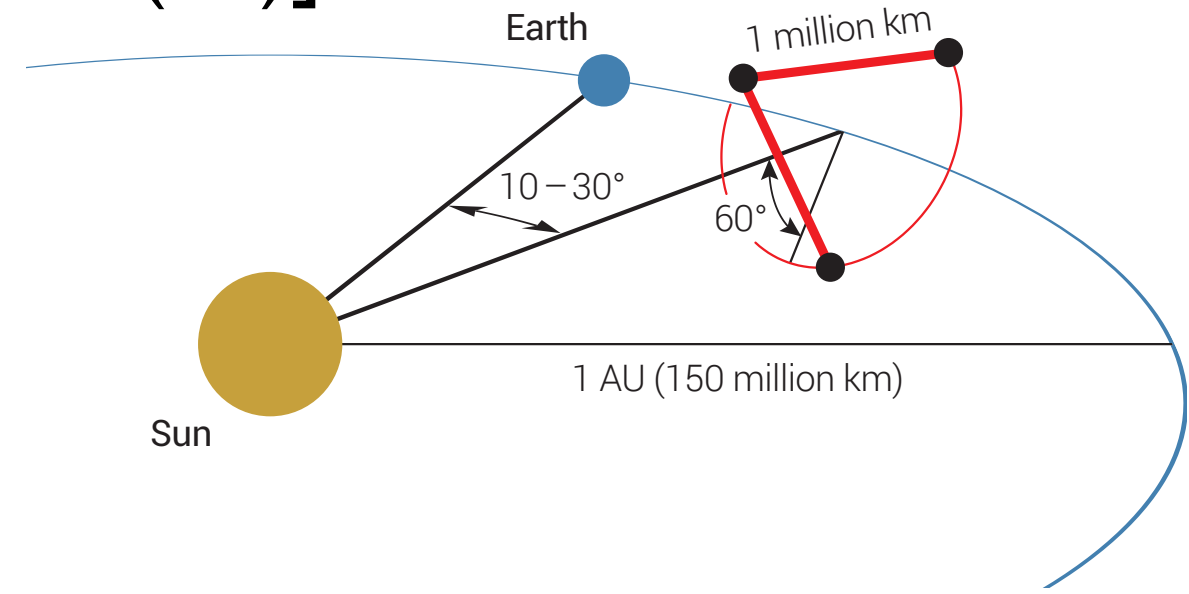


Carga útil de eLISA

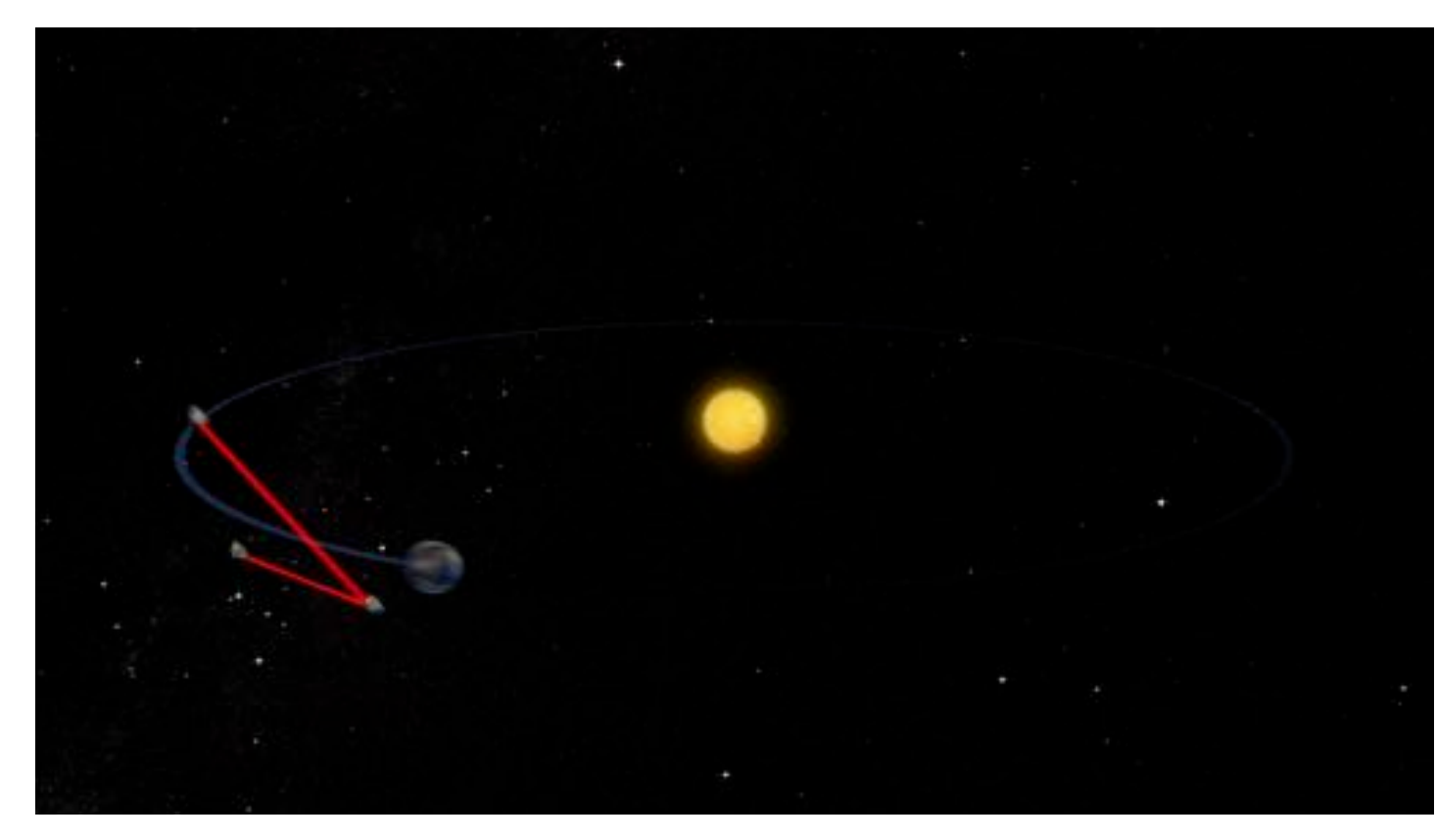
* El concepto de misión eLISA [NGO (LI)]:





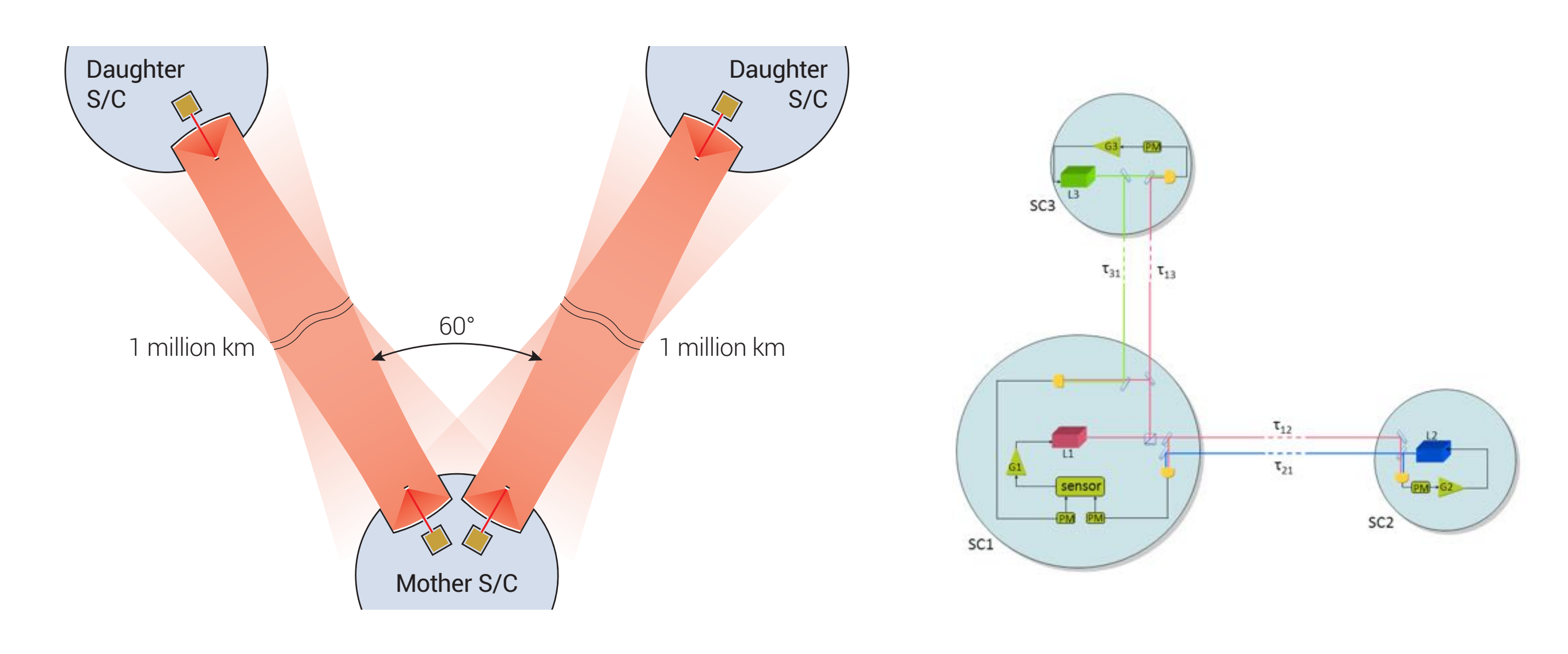


Órbita de eLISA



Carga útil de eLISA

• Con este tamaño de detector no podemos usar espejos para reflejar los haces láser (eLISA #LIGO en el Espacio). Se utilizarán espejos activos y un sistema de copia de las fases del láser.



* LISA Pathfinder es un demostrador tecnológico (ESA) para un observatorio de Ondas Gravitatorias como eLISA.

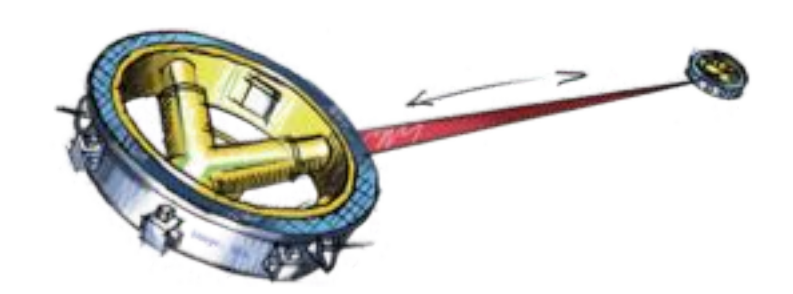
75

* LISA Pathfinder es un demostrador tecnológico (ESA) para un observatorio de Ondas Gravitatorias como eLISA.

* Idea Básica: Reducir un brazo de eLISA y ponerlo en una única

isa pathfinder

plataforma espacial.





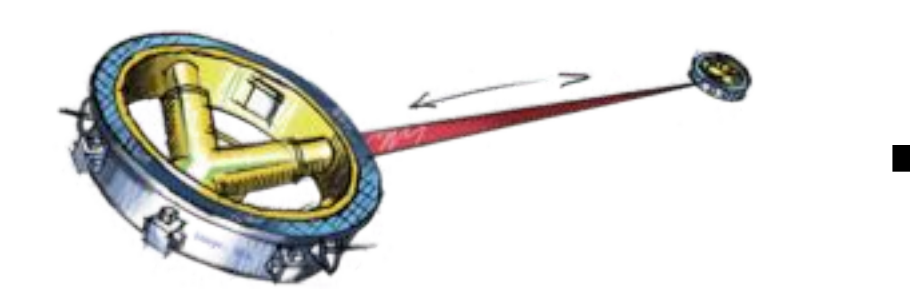


* LISA Pathfinder es un demostrador tecnológico (ESA) para un observatorio de Ondas Gravitatorias como eLISA.

* Idea Básica: Reducir un brazo de eLISA y ponerlo en una única

sa pathfinder

plataforma espacial.



• El sistema de *Drag-free* no se puede testear completamente en tierra.

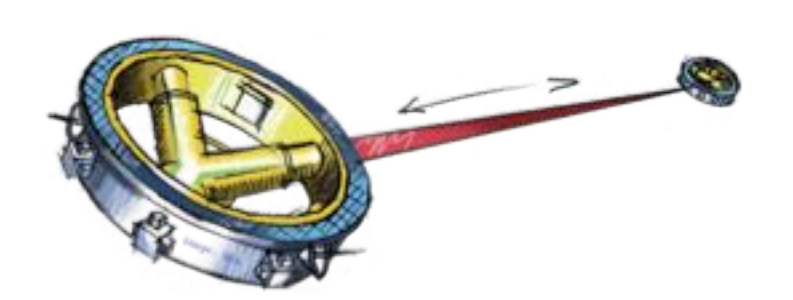




* LISA Pathfinder es un demostrador tecnológico (ESA) para un observatorio de Ondas Gravitatorias como eLISA.

* Idea Básica: Reducir un brazo de eLISA y ponerlo en una única plataforma espacial.

sa pathfinder



- El sistema de *Drag-free* no se puede testear completamente en tierra.
- El LISA Technology Package (LTP) realizará tests de:
 - Tecnología Drag-free
 - Interferometría Láser al Picómetro
 - Otros subsistemas y software





LISA PathFinder. La contribución del ICE (CSIC-IEEC):

Diagnósticos

Objetivo:

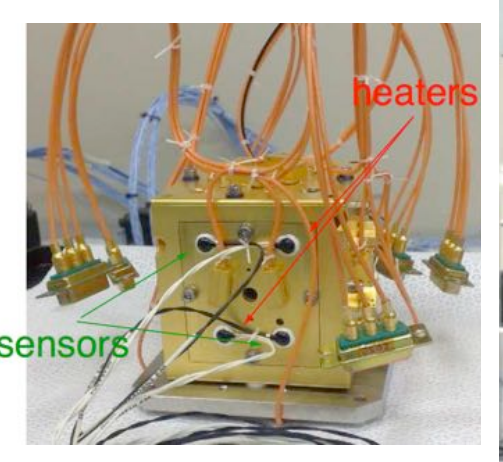
Clasificación del Ruido

Sensores para:

Temperatura Campos Magnéticos Partículas Cargadas

Calibración:

Calentadores Bobinas de inducción







DMU: Ordenador del LTP

Hardware:

Data Processing Unit (*DPU*)
Power Distribution Unit (*PDU*)
Data Acquisition Unit (*DAU*)

Software:

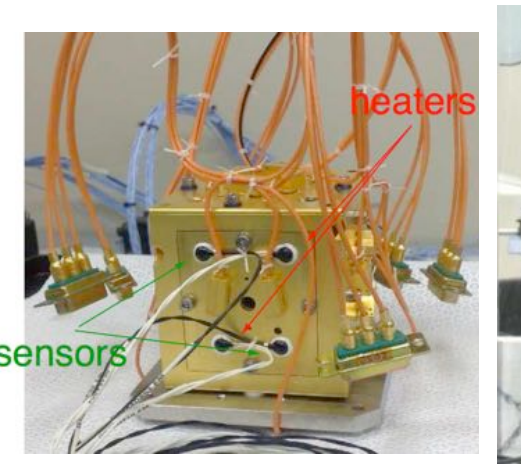
Process phase-meter readout Charge management control UV light control Caging mechanism drive



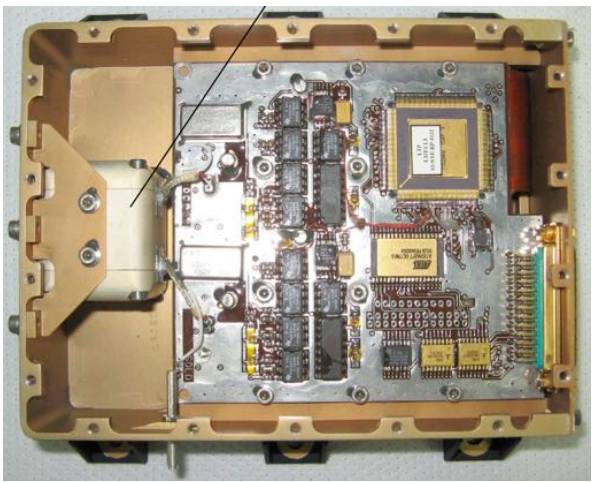
LISA PathFinder. La contribución del ICE (CSIC-IEEC):















Detectores de Ondas Gravitatorias

* Status de LISA Pathfinder:

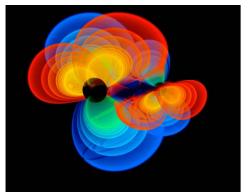


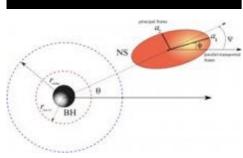
Fecha de Lanzamiento: 2 Octubre 2015

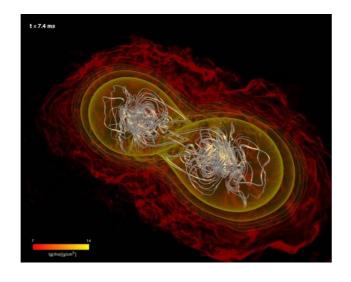
Fuentes de Ondas Gravitatorias

Fuentes de Ondas Gravitatorias (Banda Alta)

Coalescencia de Sistemas Binarios Compactos

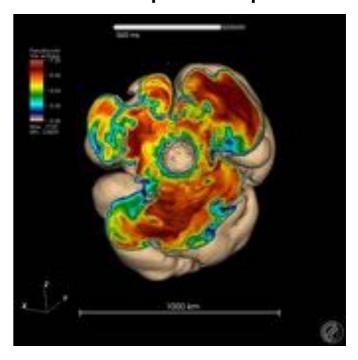




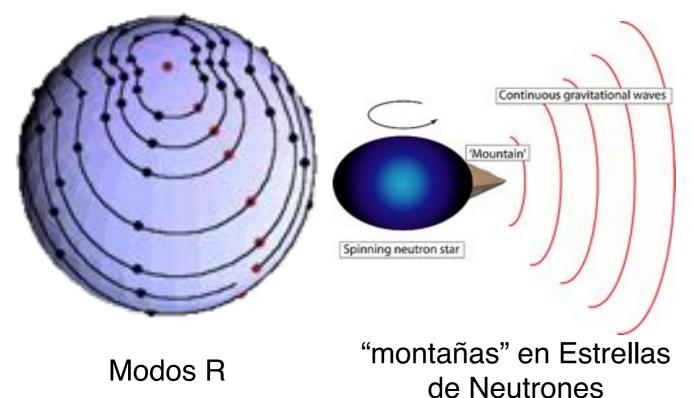


NS-NS, BH-BH, BH-NS

Core Collapse Supernovae



Oscilaciones de Estrellas Relativistas



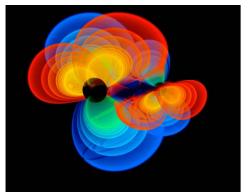
Fondos de Ondas Gravitatorias

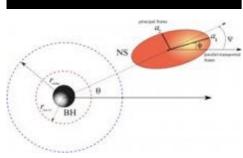
Señales Estocásticas/

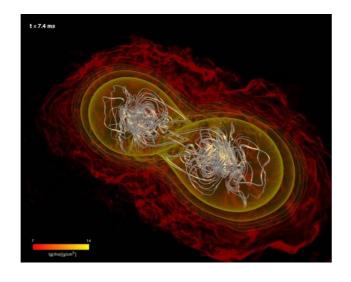
Centenario de la RG (Madrid, 8 Mayo 2015)

Fuentes de Ondas Gravitatorias (Banda Alta)

Coalescencia de Sistemas Binarios Compactos

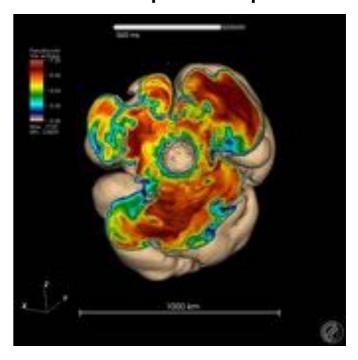




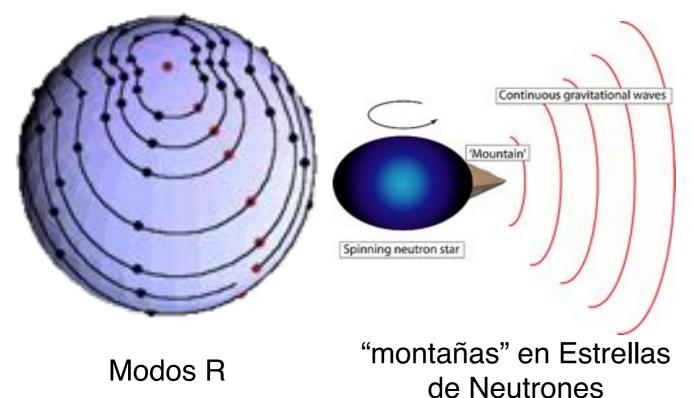


NS-NS, BH-BH, BH-NS

Core Collapse Supernovae



Oscilaciones de Estrellas Relativistas



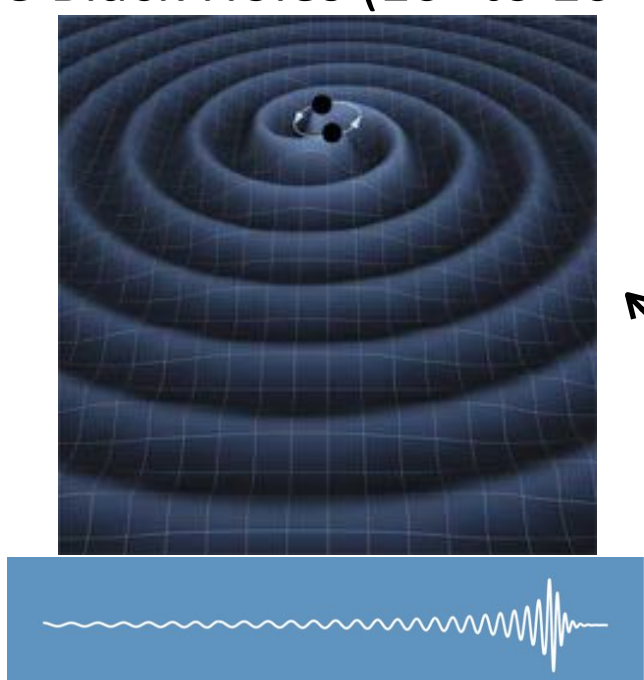
Fondos de Ondas Gravitatorias

Señales Estocásticas/

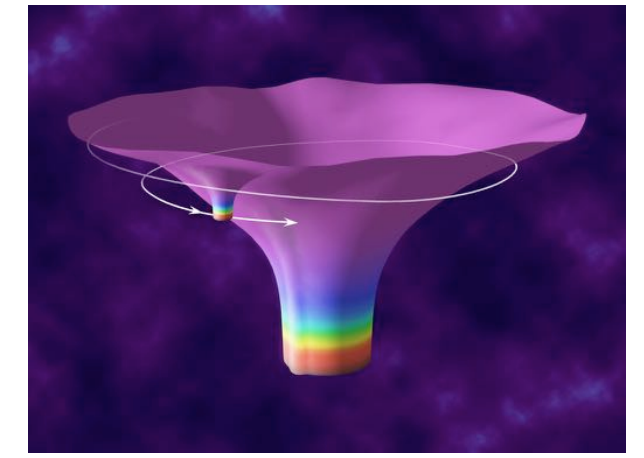
Centenario de la RG (Madrid, 8 Mayo 2015)

Fuentes de Ondas Gravitatorias (Banda Baja)

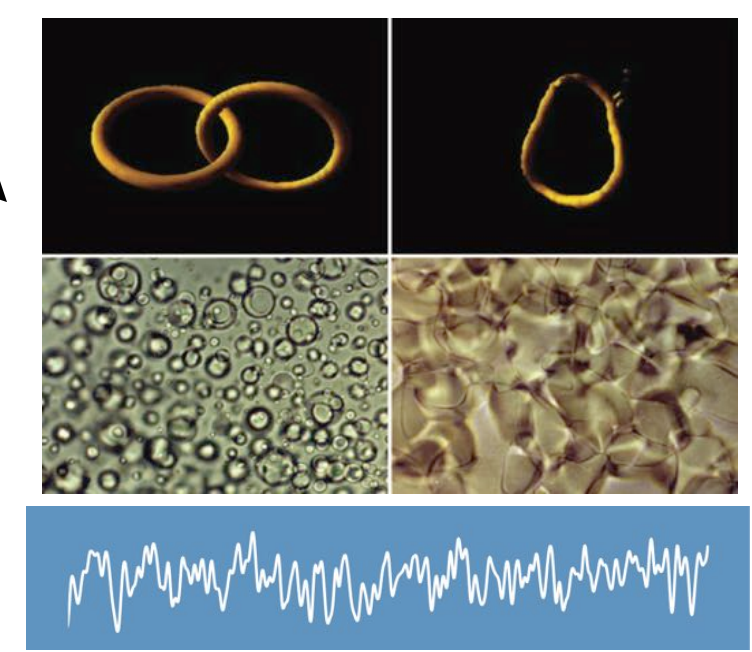
Massive Black Holes (10⁴ to 10⁸ M ∘)



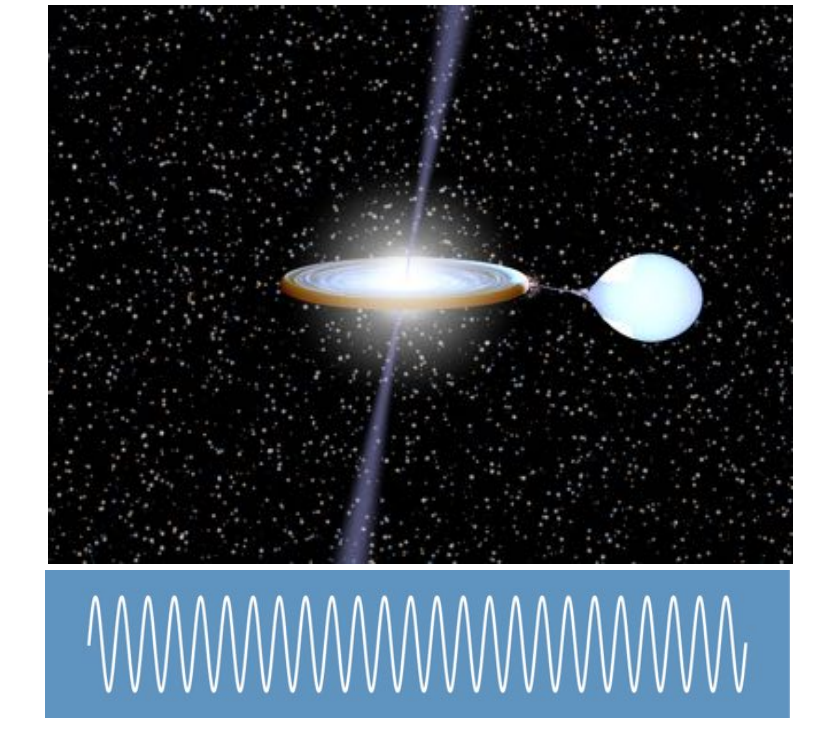
También para la banda muy baja Extreme Mass Ratio Inspirals, EMRIs (1 to 10 M_{\odot} into 10^4 to $5 \times 10^6 \text{ M}_{\odot}$)



Stochastic Signals

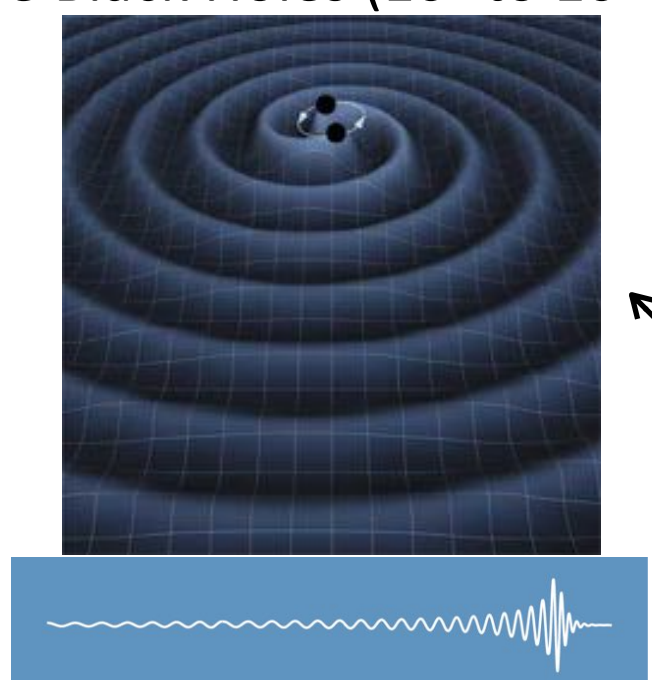


Ultra-Compact Binaries in the Milky Way

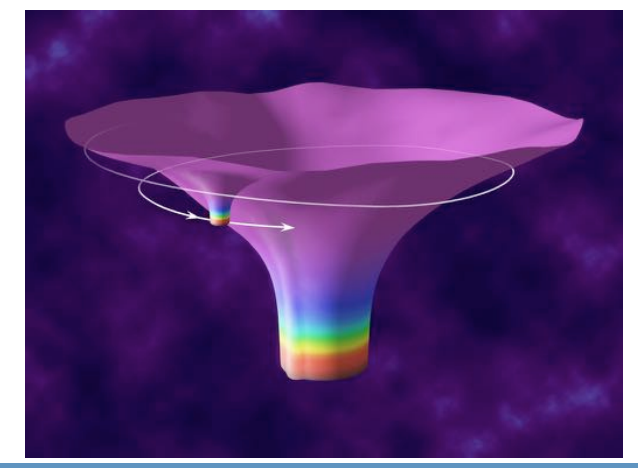


Fuentes de Ondas Gravitatorias (Banda Baja)

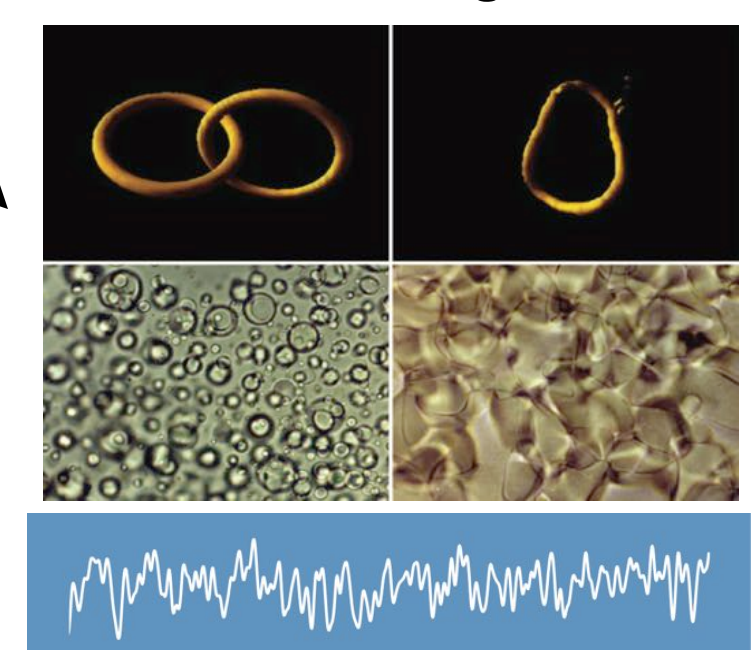
Massive Black Holes (10⁴ to 10⁸ M _☉)



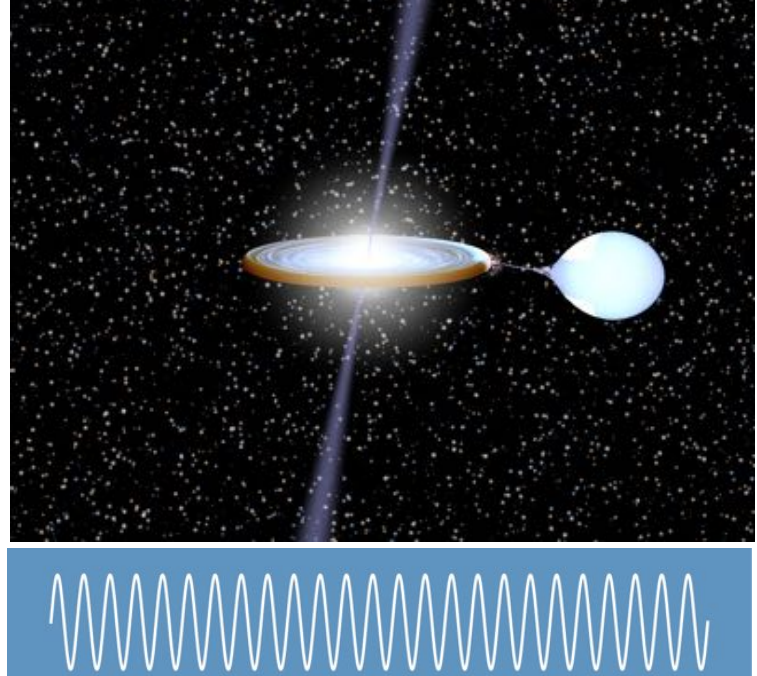
También para la banda muy baja Extreme Mass Ratio Inspirals, EMRIs (1 to 10 M $_{\odot}$ into 10⁴ to 5 x 10⁶ M $_{\odot}$)



Stochastic Signals



Ultra-Compact Binaries in the Milky Way



Fuentes Garantizadas!

• Todos los tests experimentales y observaciones son compatibles con la Relatividad General de Einstein.

- Todos los tests experimentales y observaciones son compatibles con la Relatividad General de Einstein.
- La universalidad en el acoplamiento entre la gravedad y la materia se ha comprobado al nivel de:

$$10^{-12}$$

- Todos los tests experimentales y observaciones son compatibles con la Relatividad General de Einstein.
- La universalidad en el acoplamiento entre la gravedad y la materia se ha comprobado al nivel de:

$$10^{-12}$$

• Estudios en el Sistema Solar han comprobado las aproximaciones de campo gravitatorio débil a niveles de:

$$10^{-(3-5)}$$

 A escalas más grandes, hay fenómenos físicos en el Universo, como la materia oscura y la energía oscura, cuya inclusión dentro de un marco teórico gobernado por la Relatividad General produce dificultades (se require la introducción de campos de materia no identificados aún, o resolver conflictos con la teoría cuántica), y para los cuales hay alternativas (no del todo viables de momento) en términos de modificaciones de la teoría gravitatoria: Modificaciones a grandes distancias e incluso modificaciones de la dinámica newtoniana (por ejemplo teorías tipo MOND).

• Hay grandes expectativas para la detección directa de Ondas Gravitatorias en la presente década (detectores terrestres y PTAs). Además, la misión L3 de la ESA se dedicará a la Astronomía de Ondas Gravitatorias en la banda de bajas frecuencias.

- Hay grandes expectativas para la detección directa de Ondas Gravitatorias en la presente década (detectores terrestres y PTAs). Además, la misión L3 de la ESA se dedicará a la Astronomía de Ondas Gravitatorias en la banda de bajas frecuencias.
- La detección y el análisis de ondas gravitatorias de fuentes astrofísicas abrirá una nueva ventana a la exploración del Universo que promete descubrimientos revolucionarios con impacto en Astrofísica, Cosmología y Física Fundamental.

- Hay grandes expectativas para la detección directa de Ondas Gravitatorias en la presente década (detectores terrestres y PTAs). Además, la misión L3 de la ESA se dedicará a la Astronomía de Ondas Gravitatorias en la banda de bajas frecuencias.
- La detección y el análisis de ondas gravitatorias de fuentes astrofísicas abrirá una nueva ventana a la exploración del Universo que promete descubrimientos revolucionarios con impacto en Astrofísica, Cosmología y Física Fundamental.
- En este sentido, la combinación con medidas provinientes de otros mensajeros cósmicos (luz, neutrinos, ...) puede ser crucial para realizar grandes avances.

iGracias por la atención!